

GM 59017

RAPPORT DES TRAVAUX 2000-2001, PROJET FLAVRIAN

Documents complémentaires

Additional Files



Licence

License

Cette première page a été ajoutée
au document et ne fait pas partie du
rapport tel que soumis par les auteurs.

***Énergie et Ressources
naturelles***

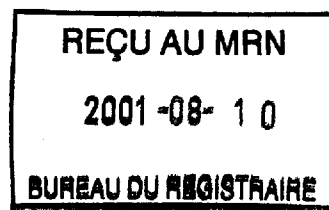
Québec

RAPPORT DES TRAVAUX 2000-2001

PROJET FLAVRIAN

Pour : Exploration Azimut Inc
Cambior Inc
RESSOURCES NATURELLES
SECTEUR MINES
08 AOUT 2001
BUREAU RÉGIONAL VAL-D'OR

Par François Roy
Géologue M.Sc.



Rouyn-Noranda
Mars 2001

MRN-GÉOINFORMATION 2001

01221003

GM 59017

RÉSUMÉ

Une campagne d'exploration a été effectuée par Exploration Azimut entre les mois de septembre 2000 et mars 2001 sur la propriété Flavrian dans le canton Beauchastel à l'ouest de Rouyn-Noranda. Une phase de prospection suivie de décapage mécanique a mis à jour un nouveau linéament aurifère NO-SE, parallèle à d'autres structures hôtes de gisements du camp minier de Noranda tels que Silidor, New Marlon, Powell. Des échantillons choisis sur une longueur de plus d'un kilomètre le long du linéament ont titré entre 600 ppb et 16,0 g/t Au tandis que le rainurage a rapporté une section de 3,0 g/t Au / 5,0 m dans la tranchée FL-00-24 et 10,9 g/t Au / 0,8 m dans la tranchée FL-00-18.

A l'Indice Dawson Copper, notre échantillonnage lithogéochimique a permis de définir une zone de chloritisation imprégnée de stringers de chalcopyrite le long d'un essaim de dykes de QFp d'orientation NNE à l'intérieur des laves felsiques.

1550 mètres de forage BQ ont permis de vérifier trois cibles aurifères; le linéament NO mentionné ci-haut, ainsi que l'extension des zones minéralisées des indices Buffam et Eplett. Bien que les teneurs soient très marginales, ils ont permis de définir deux structures importantes d'orientation NO à pendage faible à modéré vers le SO, soit les linéaments RG et Eplett. Ces structures sont fortement injectées de veines de quartz pyritisées anomaliques en or sur plusieurs mètres d'épaisseur (trou FV01-258 : 200-300 ppb / 20m; 0,8 g/t / 10m). Par ailleurs, les possibilités de définir des zones minéralisées économiques à proximité de l'indice Buffam semblent très minces à la lumière des récents sondages qui ont fermé toute possibilité d'extension selon notre modèle de zones faiblement inclinées.

Nous recommandons de poursuivre la prospection le long de la bordure ouest du pluton de Flavrian au nord de l'indice Buffam et le long de linéaments favorables NO-SE et N060-70° partout sur la propriété. Le potentiel en métaux de base mis en évidence à l'indice Dawson Copper exige d'améliorer la compréhension géologique des volcanites à l'ouest du pluton et d'y effectuer un levé lithogéochimique systématique.

LISTE DES FIGURES ET ANNEXES	III
1 INTRODUCTION	1
2 LOCALISATION ET ACCÈS	1
3 TITRES DE LA PROPRIÉTÉ	1
4 GÉOLOGIE RÉGIONALE.....	5
5 GÉOLOGIE ÉCONOMIQUE RÉGIONALE	6
5.1 INTRODUCTION	6
5.2 FILONS MÉSOTHERMAUX DE QUARTZ-AU.....	6
5.3 SULFURES MASSIFS VOLCANOGÈNES.....	6
6 MINÉRALISATIONS CONNUES DANS LE SECTEUR D'INTÉRÊT.....	6
6.1 INDICE BUFFAM.....	7
6.2 INDICE MACDONALD.....	8
6.3 MINE QUESABE.....	8
6.4 INDICE EPLETT.....	8
7 TRAVAUX ANTÉRIEURS	9
8 TRAVAUX EFFECTUÉS	9
8.1 GÉOLOGIE ET PROSPECTION.....	9
8.1.1 <i>Généralités</i>	9
8.1.2 <i>Prospection et examen de propriété.....</i>	10
8.1.3 <i>Prospection phase 2.....</i>	10
8.1.4 <i>Lithologies</i>	11
8.1.5 <i>Structure</i>	14
8.2 DÉCAPAGE MÉCANIQUE	15
8.2.1 <i>Linéament RG</i>	15
8.2.2 <i>Indice Dawson Copper.....</i>	17
8.2.3 <i>Décapage FL-00-04</i>	17
8.2.4 <i>Décapage FL-00-02</i>	17
8.2.6 <i>Indice McDonald</i>	18
8.3 SONDAGES	28
8.3.1 <i>Linéament RG</i>	28
<i>Interprétation des résultats, linéament RG</i>	30
8.3.2 <i>Secteur Buffam</i>	30
8.3.3 <i>Secteur Buffam ouest</i>	31
<i>Interprétation des résultats, Buffam et Buffam ouest</i>	32
8.3.4 <i>Secteur Eplett</i>	32
<i>Interprétation des résultats, Eplett</i>	33
9 CONCLUSIONS ET RECOMMANDATIONS	34
9.1 <i>Potentiel aurifère</i>	34
9.2 <i>Potentiel métal de base</i>	35
RÉFÉRENCES.....	36

LISTE DES FIGURES

- Figure 1 : Localisation de la propriété
- Figure 1b : Carte géologique régionale
- Figure 2 : Carte de claims
- Figure 3 : Localisation des travaux 2000-2001
- Figure 4 : Diagrammes géochimiques caractérisant les laves
- Figure 5 : Décapage FL-00-20
- Figure 6 : Décapage FL-00-18
- Figure 7 : Décapage FL-00-17
- Figure 8 : Décapage FL-00-24
- Figure 9 : Indice Dawson Copper
- Figure 10 : Décapage FL-00-04
- Figure 11 : Décapage FL-00-02
- Figure 12 : Décapage Eplet

LISTE DES ANNEXES

- Annexe 1 : Travaux antérieurs
- Annexe 2 : Résultats d'analyses et descriptions d'échantillons de la prospection
- Annexe 3 : Résultats d'analyses et descriptions d'échantillons prélevés pour analyses totales en affleurement et en forage
- Annexe 4 : Résultats d'analyses d'échantillons prélevés en rainures sur les décapages
- Annexe 5 : Journaux de sondage
- Annexe 6 : Légende des codes géologiques
- Annexe 7 : Certificats d'analyses

En pochette : Carte de compilation des travaux au 1 : 5,000. Sections de forage au 1 : 250

1 INTRODUCTION

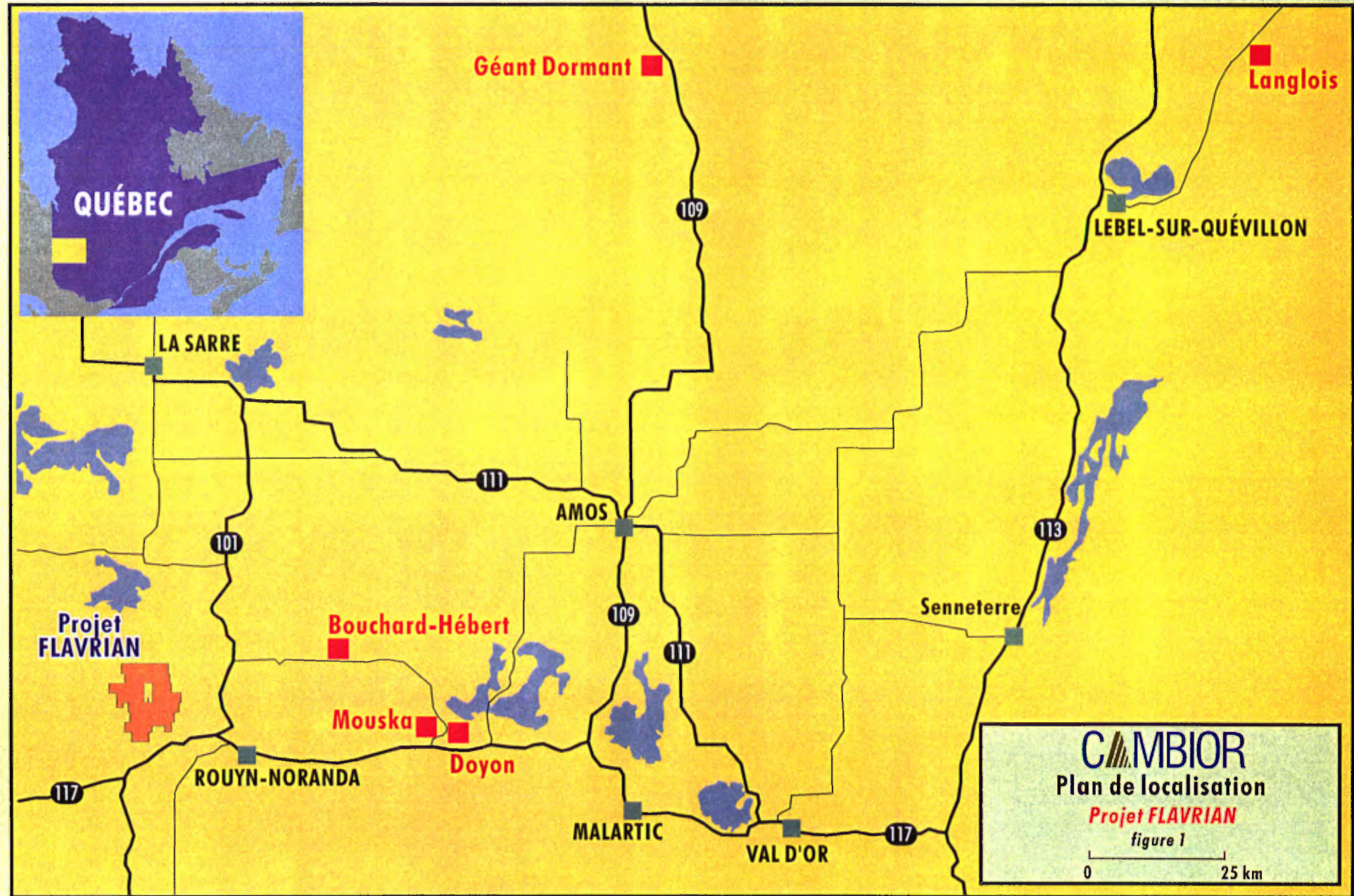
Les travaux d'exploration en cours sur la propriété Flavrian sont le fruit d'une subvention accordée à Exploration Azimut Inc par le MRN. Ils s'insèrent dans une suite logique de campagnes d'exploration exécutées par Cambior les années précédentes, qui avaient fait ressortir le potentiel aurifère de la partie sud-ouest de la propriété, notamment en bordure du platon de Flavrian. Une première phase d'exploration de surface a été exécutée de la fin septembre à la mi-novembre 2000, incluant de la prospection et du décapage mécanique. Une seconde phase totalisant 1550 mètres de forage a été exécutée en février-mars 2001. Les travaux ont été supervisés par François Roy, géologue consultant et auteur du rapport.

2 LOCALISATION ET ACCÈS

La propriété Flavrian est située dans la ceinture géologique de l'Abitibi, plus précisément en bordure du camp minier de Rouyn-Noranda, Québec. Le secteur faisant l'objet du présent rapport couvre la partie SO de la propriété, soit la moitié ouest des rangs VIII, IX et X du canton Beauchastel. Cette portion de la propriété couvre en majorité des terres de la couronne mais inclu également quelques lots privés. L'accès se fait en voiture par le chemin du rang VIII et IX et le chemin du rang X qui mène au Lac Flavrian. Des sentiers forestiers permettent de se rendre en VTT à la majorité des cibles privilégiées lors de la présente campagne. De plus, un grillage coupé en 1997 couvre la majeure partie de la superficie d'intérêt. Toutefois, l'extrême ouest du secteur n'est accessible qu'à 2 heures de marche en pleine végétation.

3 TITRES DE LA PROPRIÉTÉ

Le projet Flavrian couvre une superficie de 101 km² qui chevauche les cantons Beauchastel et Duprat, NTS 32D06. Il regroupe 4 anciennes propriétés adjacentes : (Fourcet (10 claims), Nora (112 claims), Flavrian 126 claims et Quesabe (1 CM convertie en claims) (figure 2). Les droits et les titres miniers de la mine Pierre-Beauchemin en sont exclus. Les claims et concessions minières sont détenus à 100% par Cambior Inc. Exploration Azimut a l'option d'acquérir 50% des intérêts en contrepartie de travaux d'exploration répartis sur 5 ans.



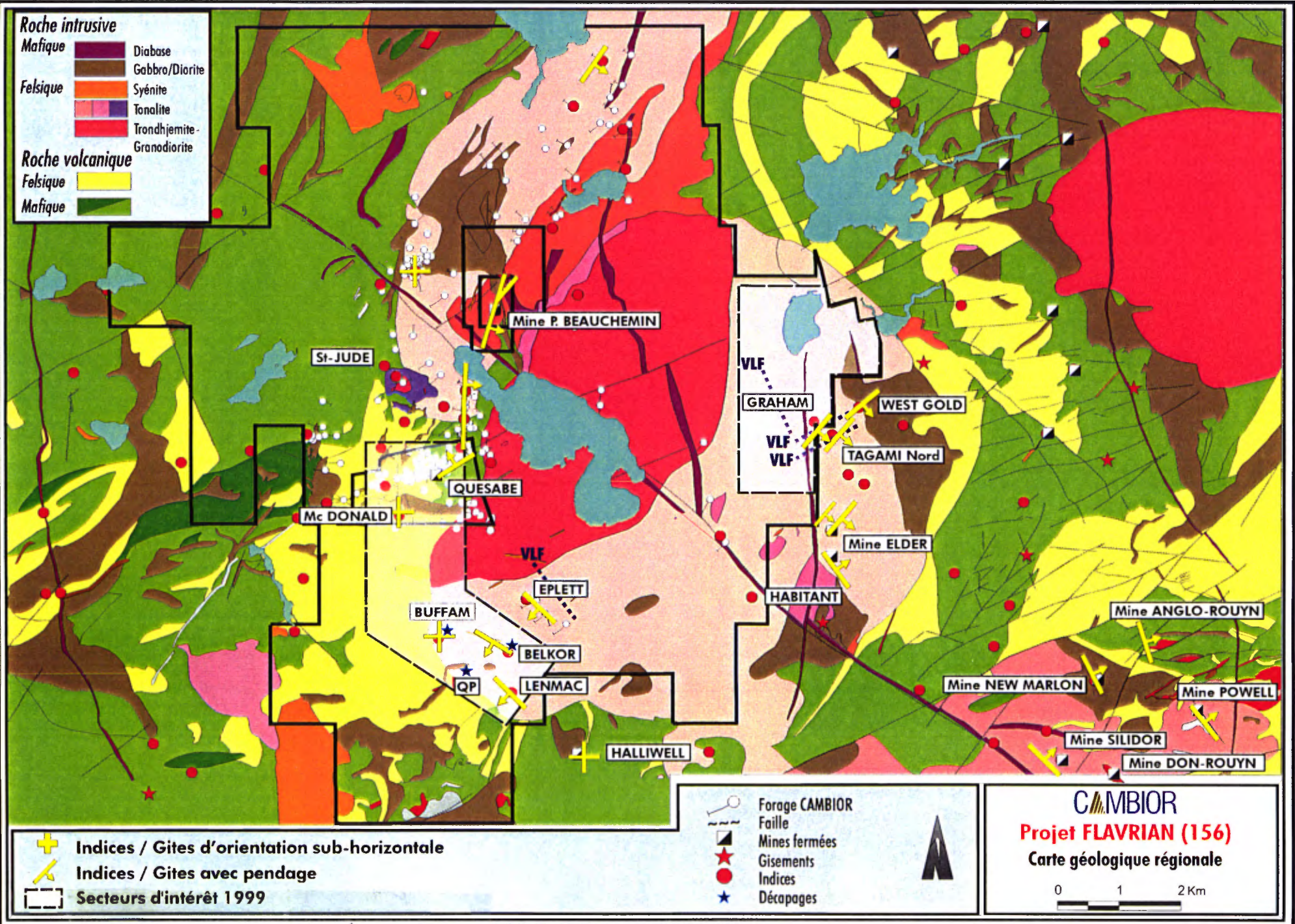


Figure 1b : Carte géologique régionale

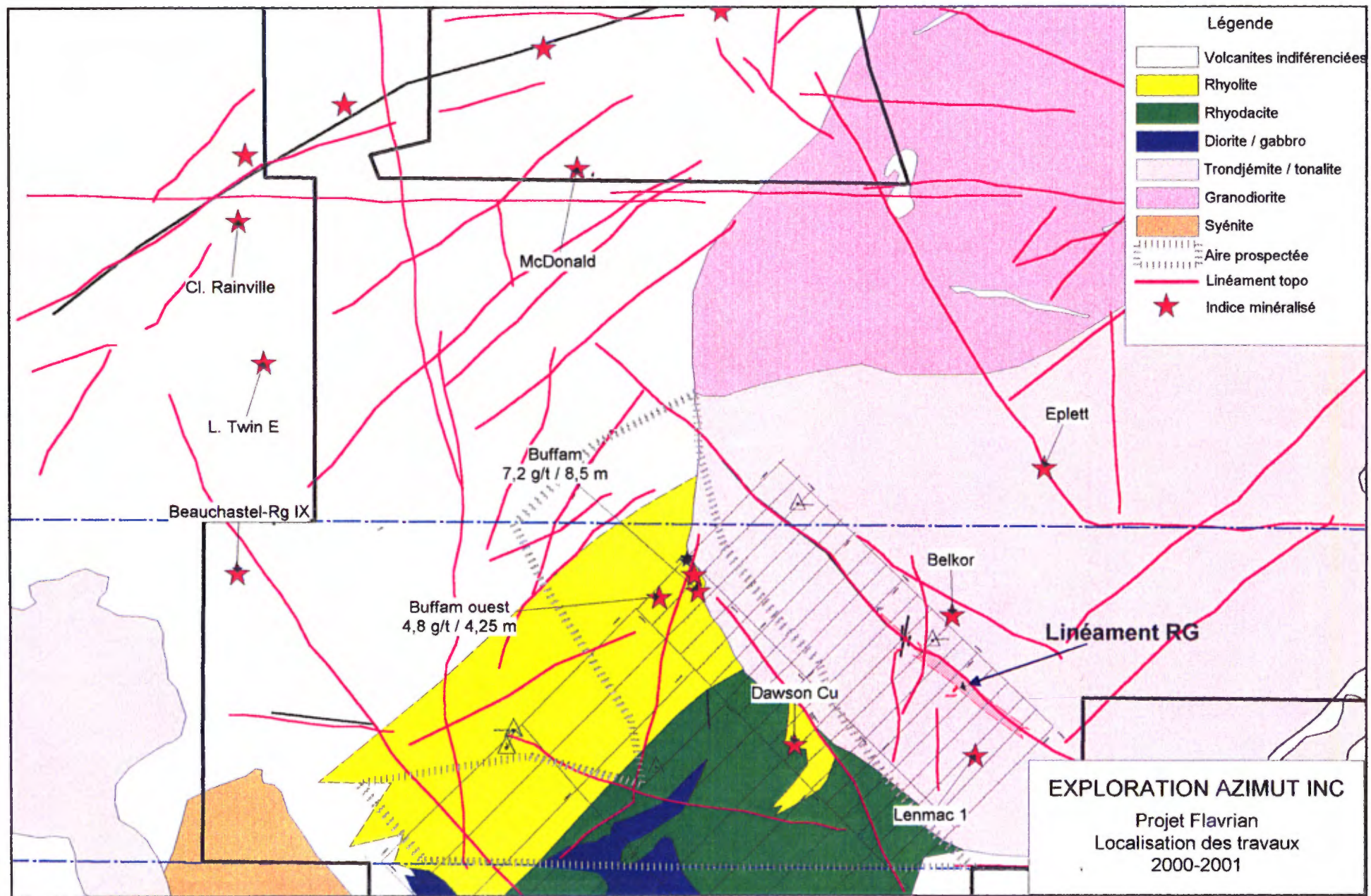


Figure 3 : Localisation des travaux 2000-2001

4 GÉOLOGIE RÉGIONALE

(Tiré de J-F. Couture, rapport synthèse interne, Cambior)

Les 2/3 de la superficie de la propriété sont occupés par le pluton de Flavrian, une intrusion polyphasée, sub-volcanique dont les phases anciennes sont comagmatiques des séries volcaniques sus-jacentes. Ces phases anciennes comprennent une série complexe de tonalites, de diorites et de leucotonalites (âgées d'environ 2700Ma) qui occupent deux masses principales localisées au nord et au sud du pluton. Elles ont une signature aéromagnétique caractéristique en pelure d'oignon qui traduit leur morphologie en filon-couche plus ou moins étagé. Les phases jeunes, essentiellement des leucotonalites et des aplites, n'ont aucun équivalent volcanique connu. Leur signature aéromagnétique est plus uniforme. Elles forment une masse ovoïde localisée au cœur du pluton et une variété de dykes felsiques injectés dans les phases anciennes et les roches volcaniques environnantes. Leur âge demeure inconnue mais serait contemporain de celui de l'intrusion de Lac Dufault, laquelle est nettement tardivolcanique (environ 2690Ma). Le stock de St-Jude, auquel est associé un complexe annuaire de brèches et des veines polymétalliques, appartient à la série des phases jeunes. Contrairement aux phases anciennes qui forment globalement un filon-couche incliné faiblement vers le sud-est, les stocks des phases jeunes sont enracinés, percent la stratigraphie et ont développé des systèmes hydrothermaux propres qui altèrent et minéralisent les roches qu'elles recoupent.

Le pluton de Flavrian s'est mis en place dans les roches volcaniques du Groupe de Blake River. À l'est, Les phases anciennes sont en contact avec la série des mines qui renferme les principaux gisements de sulfures massifs volcanogènes du Camp de Noranda. C'est alors un contact normal de type filon-couche dont le pendage épouse celui des lithologies volcaniques (soit environ 30 à 50° vers l'est). Les phases anciennes étant surmontées d'une alternances de formations volcaniques mafiques et felsique.

Le contact ouest est moins bien connu. Dans la partie sud, les phases anciennes sont présumées en contact de filon-couche avec les séries volcaniques. Dans ce secteur, ces dernières forment une grande complexe volcanique felsique qui s'étend à l'ouest du pluton entre le stock de St-Jude au nord et la syénite d'Aldermac au sud. Cette dernière est une intrusion alcaline tardi-tectonique (environ 2680Ma). La grande étendue des roches volcaniques est apparente car dans cette région les couches sont très faiblement inclinées et même subhorizontales.

Les phases jeunes (stock de St-Jude, et le plagiogranite de Flavrian) forment des intrusions enracinées recoupant à la fois les phases anciennes et les roches volcaniques. Une série d'intrusions aplitiques dont l'expression principale est constituée de dykes ou de masses irrégulières de petites dimensions, sont fréquentes dans toute la région, particulièrement dans l'environnement immédiat de plusieurs anciens gisements (Quesabe, Ansil, Halliwell, Buffam, etc.). Ces aplites ne se distinguent vraiment des coulées rhyolitiques que de par leur nature intrusive.

Les roches de la région sont affectées par deux principaux réseaux de failles. Un réseau NO représenté notamment par les failles Mouilleuse et McDougall, et un réseau orienté NE comme les failles Beauchastel, Quesabe, et Ruisseau Hunter. Cette dernière marque en outre la limite nord du pluton de Flavrian.

5 GÉOLOGIE ÉCONOMIQUE RÉGIONALE

5.1 INTRODUCTION

Le projet Flavrian est caractérisé par un environnement volcano-plutonique propice à des minéralisations en Au, Cu et Mo d'origine volcanique, magmatique ou métamorphique. D'ailleurs tous ces types de minéralisation sont connus dans le secteur.

5.2 FILONS MÉSOTHERMAUX DE QUARTZ-AU

(Tiré de J-F. Couture, rapport synthèse interne, Cambior)

Les phases anciennes du pluton de Flavrian renferment plusieurs gisements et indices d'or filoniers logés dans des zones de cisaillement ductile-fragile inverses et localisées le long de dykes mafiques : Elder (1947-66, 2,1Mt à 5,1 g/t Au); Eldrich (0,7Mt à 4,8 g/t Au); Beauchemin (1986-93, 2,0Mt à 5,1 g/t Au). L'orientation du principal réseau filonien varie selon le patron en pelure d'oignon observé dans les roches hôtes. Ces gisements sont tout à fait identiques à ceux anciennement exploités par les mines Silidor, Powell-Rouyn, Stadacona, New-Marlon et Anglo-Rouyn ailleurs dans le camp minier de Rouyn-Noranda. Globalement, ils représentent tous des minéralisations aurifères de type mésothermal développées assez tardivement durant l'évolution géologique de la région. Ils occupent des zones cisaillées développées préférentiellement le long d'anisotropies préexistantes durant la déformation régionale. Ces zones cisaillées sont caractérisées par des halos d'altération en carbonate de fer et recoupent toutes les lithologies. Elles sont synchrones à la déformation et au métamorphisme régional.

5.3 SULFURES MASSIFS VOLCANOGÈNES

À l'est du pluton de Flavrian, les séries volcaniques sont hôtes des principaux gisements volcanogènes du camp minier de Rouyn-Noranda qui a produit plus de 1M tonnes de cuivre, ½M tonnes de zinc, 300 tonnes d'or et 1000 tonnes d'argent. (Horne, Ansil, Corbet, Millenbach, Vause, Amulet, etc..) Ce sont des amas lenticulaires de sulfures massifs d'origine volcanogène mis en place dans un complexe bi-modal tholeiitique à calco-alcalin, contemporaines aux phases anciennes du pluton de Flavrian daté à (2700Ma).

6 MINÉRALISATIONS CONNUES DANS LE SECTEUR D'INTÉRÊT

(Tiré de J-F. Couture, rapport synthèse interne, Cambior)

Les secteurs ouest et sud-ouest de la propriété Flavrian se caractérisent par de nombreux indices filoniers polymétalliques et des stockwerks à Au-Cu-Mo d'affinité magmatique-hydorthermale (Giant Quartz vein, Sylvie, Brèche de St-Jude, Halliwell, Buffam, McDonald, Martin, etc....). Ces minéralisations se retrouvent à l'intérieur d'un

croissant d'au moins 1km d'épaisseur ceinturant le flanc sud-ouest du pluton et s'étendant depuis le stock de St-Jude, au nord, jusqu'au moins à l'ancienne mine Halliwell au sud du pluton. Cette région est caractérisée par une susceptibilité magnétique élevée causée par de la magnétite disséminée dans la roche ou dans des fractures.

Le complexe de brèche de St-Jude est certainement le système minéralisé le plus important dans cette catégorie. Il s'agit d'un complexe de brèches magmatique et hydrothermale d'environ 800m de diamètre en surface et associée à la mise en place du stock de St-Jude, une petite intrusion quasi circulaire de leucotonalite. Les divers faciès de brèches témoignent d'une mise en place violente du stock de St-Jude. Les faciès hydrothermaux (brèche à matrice de quartz) renferme une minéralisation disséminée en chalcopyrite, molybdénite et est faiblement aurifère.

Cette minéralisation est recoupée de filons de quartz sont fréquemment aurifères de dimensions restreintes. Ils ont fait l'objet de certains travaux d'exploration mais offrent peu de perspectives économiques malgré les fortes teneurs en or obtenues ça et là. Le principal indice d'or est situé au nord du complexe de brèche et fut l'objet de travaux d'exploration lesquels ont surtout visé la veine Sylvie un filon EO très riche en Au-Ag-Cu mais très discontinu.

À environ 6km au sud-sud-est, l'ancienne mine Halliwell a apparemment exploité durant les années 30 un stockwerk riche en cuivre, argent et or développé au sommet d'un stock d'aplite qui n'affleure pas en surface. Les descriptions géologiques disponibles suggèrent qu'il s'agit d'un petit stock enraciné dont le sommet est enfoui à une profondeur d'environ 150m. Des échantillons de l'intrusion prélevés dans les haldes de surface suggèrent en outre que l'intrusion s'apparente aux aplite des phases jeunes. La minéralisation est constituée de veinules de sulfures surtout massifs avec un peu de quartz et selon les informations historiques occupait un réseau de fractures développé dans les roches volcaniques mafiques, au sommet de l'intrusion.

Entre la brèche de St-Jude et la mine Halliwell se trouve une série d'indice d'or, de cuivre et de molybdène qui présentent des caractéristiques géologiques similaires. En particulier, les indices Buffam et Macdonald et une série d'indices recoupés par forage sur la propriété Quesabe. Il s'agit de veines, veinules et fractures remplies de quartz, sulfures et oxydes de fer occupant des réseaux organisés (nous n'avons pas compilé les orientations de manière exhaustive), et auxquelles s'accompagnent des imprégnations aurifères de sulfures et oxydes (magnétite et/ou hématite).

6.1 INDICE BUFFAM

À Buffam, la minéralisation est exposée en surface et fut reconnue d'abord par forage durant les années 40, puis de nouveau en 1997 alors que le sondage FV98-237 avait intersecté une section titrant 7,2 g/t Au / 8,47 m (Pelchat, 1998). En surface, la minéralisation occupe une zone tabulaire de 1 à 2 mètres d'épaisseur et grossièrement subhorizontale. La minéralisation aurifère est essentiellement constituée d'imprégnations de pyrite en disséminations et veinules dont une famille prédominante pentée à 15° vers l'est (observation personnelle, F.Roy 2000). La roche encaissante est une rhyolite rose imprégnée d'hématite et de magnétite, cette dernière étant remplacée par la pyrite dans les zones aurifères. L'indice est situé à proximité du contact avec l'intrusion de Flavrian.

Outre cette minéralisation, les affleurements sont envahis par une série de petits dykes felsiques porphyriques intensément fracturés. Ces fractures occupent des réseaux assez réguliers de veinules de quartz, pyrite, molybdénite, magnétite et hématite.

Une seconde(?) zone intersectée par forage 200 m à l'ouest (Indice Buffam Ouest) montrait également un potentiel économique aurifère avec des cotes atteignant 4,8 g/t Au / 4,25 m (trou FV-98-241). La minéralisation correspond à un réseau de veinules de quartz-pyrite-chlorite dans une felsite fortement silicifiée et hématitisée. Presque toutes les intersections aurifères du secteur Buffam tombent en bordure d'un dyke de lamprophyre faiblement incliné vers le sud. Nous avons supposé que ce dyke avait emprunté la structure principale qui contrôle la distribution de la minéralisation, et qu'il constitue un niveau cible pour la planification des sondages.

6.2 INDICE MACDONALD

1 mile au nord de l'indice Buffam, près de la ligne des cantons Beauchastel et Duprat se trouve l'indice McDonald. Le gros de la minéralisation documentée correspond à une veine de quartz aurifère sub-horizontale qui a fait l'objet de définition par sondage dans le passé. Notre intérêt dans cet indice provient de la présence d'une felsite hématitisée pyritisée hôte de teneurs aurifères atteignant 6 g/t, soit un style similaire à celui de l'indice Buffam (B. Constantin, 1998). Ce style de minéralisation n'avait pas été mentionné dans les travaux antérieurs à ceux de Cambior, et par surcroît, n'avait pas été évalué. Les similitudes avec Buffam ne s'arrêtent pas au style de minéralisation puisque là aussi la minéralisation est spatialement associée à un dyke de lamprophyre sub-horizontal.

6.3 MINE QUESABE

Enfin, un gisement d'or est aussi localisé le long de la faille Quesabe (Quesabe, 1949-52, 0,1Mt 8,6 g/t Au) à 1 km au NNE de McDonald. La faille Quesabe orientée N060-70° est l'extension d'une structure syn-volcanique qui fut réactivée plusieurs fois par la suite. La minéralisation en or demeure méconnue mais était principalement constituée de zones silicifiées enrichies en sulfures et or disséminés. Les chantiers exploités étaient préférentiellement localisés dans le toit de la faille Quesabe, dont le pendage est abrupt vers le nord.

6.4 INDICE EPLETT

Cet indice aurifère a été documenté pour la première fois en 1949 par Eplett Mining qui semble avoir fait la découverte le long de la route qui mène au Lac Flavrian, quelques centaines de mètres au nord du rang IX du canton Beauchastel. Des sondages répartis sur plus de 700 m le long du chemin ont rencontré des veines de quartz pyritisées d'épaisseurs plurimétriques, fortement anomaliées en or et incluant quelques teneurs très fortes sur de minces intervalles erratiques. Néamoins, l'envergure du système en fait une cible, surtout que les sondages d'Eplett ne l'ont pas investiguée à plus de 50 m de profondeur. La réinterprétation en section des forages d'Eplett effectuée récemment

par Cambior suggère une structure modérément pentée vers le SO dont la projection en surface correspondrait à un linéament NO-SE parallèle au chemin.

7 TRAVAUX ANTÉRIEURS

(Modifié de Pelchat, 1997)

La propriété Flavrian a été intensément prospectée depuis le début des années 30 alors qu'on découvrait des indices aurifères associés au pluton de Flavrian. Au delà de la prospection, la grande majorité des travaux furent concentrés autour d'indices de surface. De plus, il n'y a pratiquement aucun sondage en deçà de -150 m dans le périmètre des présents travaux. Les travaux antérieurs effectués sur la propriété sont trop nombreux pour être tous énumérés dans le cadre de ce rapport. Nous nous limiterons aux secteurs couverts lors des travaux de cartographie et aux secteurs liés aux indices minéralisés traités dans ce rapport. Nous résumerons également les travaux effectués par Soquem et par Cambior sur l'ensemble de la propriété (tableau en annexe).

8 TRAVAUX EFFECTUÉS

8.1 GÉOLOGIE ET PROSPECTION

8.1.1 Généralités

La géologie des successions volcaniques à l'ouest du pluton de Flavrian est relativement mal connue et n'a pas fait l'objet d'étude stratigraphique ou volcanogénique. Toutefois, il semble plausible que cette succession soit équivalente à la « Mine Sequence » du camp de Rouyn-Noranda à l'est du pluton. Selon Gibson & Watkinson (1990 CIM Symposium), la limite entre les cycles 1 et 3 de la stratigraphie du camp passerait dans le secteur des travaux. Les travaux de Cambior suggèrent que l'attitude des lithologies soit sub-horizontale, basé sur la monotonie des textures et de la nature des felsites. A ma connaissance, la seule observation directe est un tuf à lamination perpendiculaire à l'axe du sondage FV01-259 incliné à 80° dans le secteur Buffam. L'interprétation grossière de la distribution des lithologies observées cet automne lors de la prospection suggère au moins un contact lithologique important orienté N045° (figure 3).

8.1.2 Compilation

Des corrections ont été apportées sur la compilation informatisée de Cambior en ce qui a trait à la localisation des données. Des vérifications de positions de divers éléments ont été effectuées avec un GPS précis à ± 5 m et un fond photo aérienne soigneusement positionné, dans le périmètre des présents travaux, excluant la partie située à l'ouest de la ligne de base de la grille Buffam. La grille de Buffam et tous les éléments qui s'y rattachent (affleurements, sondages) ont été déplacés d'environ 20 m vers l'ouest. Les fichiers graphiques originaux ont été conservés intacts et le produit modifié a été sauvegardé sous le même nom suivi de « 2 » ou de « _moved ». Quelques sondages du

secteur Eplett ont également été déplacés en fonction des descriptions originales et des coordonnées GPS de repères mentionnés. Il s'agit des séries 1949 et 1959.

8.1.3 Prospection et examen de propriété

Cette phase a été exécutée par l'auteur entre le 27 septembre et le 6 octobre, dans le but de planifier les travaux subséquents. Les indices connus du secteur (Buffam, McDonald, Quesabe, Belkior et Lenmac) ont été visités et des traverses avec échantillonnage ont été effectuées afin de cerner des secteurs à plus haut potentiel. 24 échantillons ont été prélevés pour analyse des métaux et 10 autres pour les éléments majeurs et traces. Dès le début, il s'avéra évident que de nombreux affleurements n'avaient pas été examinés ou échantillonnés depuis belle lurette, incluant plusieurs occurrences minéralisées en pyrite ± chalcopyrite et ce, sur le grillage Buffam. Plusieurs valeurs aurifères intéressantes ont été obtenues de nouveaux indices suite à cette mini campagne de prospection. Notamment, des teneurs de 9 et 13 g/t d'Au ainsi que d'autres teneurs anomaliques ont été obtenues le long d'un linéament NO-SE situé dans le NE du grillage (linéament RG, figure 3). L'attitude de ce linéament est similaire à celle de la structure de l'ancienne mine d'or Silidor au sud est de la propriété. Cette reconnaissance a également permis de constater le potentiel d'indices qui mériteraient d'être investigués d'avantage. Il s'agit des indices McDonald, Buffam, Dawson Copper et d'un système de veines de quartz pyritisées exposées sur la ligne 18S (FL-00-04). Il ressort également que les secteurs à plus haut potentiel aurifère sont par ordre d'importance : les linéaments NO-SE, une ceinture de 1 km de large autour du pluton de Flavrian, les linéaments NNE ou ENE correspondant respectivement aux attitudes structurales des anciennes mines Pierre Beauchemin, Quesabe, et de plusieurs indices. Ces linéaments ont été mis en évidence à l'aide d'une photo-interprétation effectuée par l'auteur et représentée sur les cartes accompagnant le rapport.

Par ailleurs, un potentiel en métaux de base est indiqué par l'indice Dawson Copper, encaissé dans une séquence volcanique felsique apparentée à celle du camp de Noranda. Une altération hydrothermale intense affecte les rhyolites de cet indice et plus d'échantillonnage est requis pour en estimer l'étendue. De plus, plusieurs anomalies en cuivre ont été obtenues dans le secteur, exprimées par des micro-vésicules ou nodules de chalcopyrite disséminées dans les laves.

Finalement, il semble qu'une cartographie appuyée par de la lithogéochimie permettrait d'établir une image géologique du secteur beaucoup plus réaliste que l'actuelle. Au moins deux lithologies principales distinctes pourraient être discernées à l'intérieur de la masse rhyolitique indiquée par les travaux antérieurs et des structures et faciès texturaux primaires pourraient être délimités.

8.1.4 Prospection phase 2

Suite aux résultats encourageants obtenus après cette reconnaissance sommaire, il a été décidé de prospector d'avantage les secteurs d'intérêt. 3 géologues et un technicien de la firme Services Techniques Géonordic ont parcouru et échantillonné partiellement les secteurs cernés par la reconnaissance pendant 6 jours (figure 3). 158 échantillons ont été récoltés et analysés pour Au, Ag, Cu, Zn, Pb, Mo par le laboratoire Chimitec de Val d'Or (annexe 2). La densité d'affleurements et l'abondance d'occurrences

minéralisées n'a pas permis de couvrir la totalité des secteurs visés. L'accent a été mis sur la ceinture de 1 km entourant le pluton et le linéament NO mentionné auparavant et il aurait fallu au moins le double de jours*hommes pour couvrir convenablement un autre linéament NO qui traverse l'extrémité ouest de la propriété et le secteur situé entre les indices Buffam et McDonald.

Les meilleurs résultats proviennent encore du linéament NO de la partie est de la grille Buffam, qui recèle de fortes anomalies en or sur toute sa longueur exposée de 1,3 km, atteignant jusqu'à 16,56 g/t d'or (FL-00-18A). Par ailleurs, une teneur de 2,8 g/t a été obtenue d'un bloc similaire à la minéralisation de l'indice Buffam, 300 m en aval glaciaire de ce dernier, ce qui suggère que l'indice en soit la source. Une autre valeur de 2,5 g/t d'Au et 1,7% de Cu provenant d'un bloc de quartz pyriteux de 1,5 m par 0,4 m à 600 m au NO du même indice devrait faire l'objet de vérification supplémentaire. Des teneurs anomaliées de quelques centaines de ppb ont été obtenues à plusieurs endroits, particulièrement dans le coin ouest de la grille, soit à proximité de l'autre linéament NO. Les descriptions d'échantillons et les résultats d'analyse sont présentés à la fin du rapport tandis que toutes les valeurs d'or et de cuivre sont illustrées sur la carte de compilation.

8.1.4 Lithologies

Les descriptions qui suivent ont été élaborées des observations d'affleurements et de carottes de sondages lors de la présente campagne.

Laves felsiques

Deux types distincts de laves felsiques ont été distinguées lors de la prospection, observation appuyée par des analyses totales.

Les **rhyolites** sont gris clair à moyen, aphanitiques ou porphyriques à quartz et feldspath (QFp). Elles se sont épanchées en coulées visqueuses caractérisées par des textures de « flow banding » abondantes et des portions massives plus ou moins lobées.

Les **rhyodacites** sont gris foncé verdâtre et montrent soit des faciès bréchiques à surfaces rabotteuses, soit des faciès massifs généralement porphyriques à feldspaths et amphiboles. Leur couleur foncée, malgré un aspect très siliceux rend difficile la détermination de leur composition sur le terrain et elles ont été appelées soit andésite silicifiée ou dacite.

Les diagrammes TiO₂/Zr vs SiO₂ et TiO₂/Al₂O₃ vs SiO₂ montrent clairement deux laves felsiques distinctes, la rhyodacite ayant un contenu en TiO₂ deux fois plus élevé que la rhyolite et un contenu en SiO₂ autour de 70% vs 76% pour la rhyolite. La distribution grossière de ces deux lithologies a été établie à l'aide des descriptions sommaires d'échantillons, appuyée de quelques analyses totales. Celle-ci est illustrée sur la figure 3 et sur la carte de compilation en annexe. La rhyolite occupe une bande principale orientée N045 qui inclu l'indice Buffam de même qu'une petite masse en forme de croissant à proximité de l'indice Dasson Copper. La bande rhyolitique la plus importante qui affleure abondamment est souvent dépourvue d'indice d'altération ou de minéralisation volcanogène, sauf au sud de l'indice Buffam où on note la présence de chalcopyrite en amygdules et micro-fissures sur plusieurs affleurements. Par contre, la plus petite masse de rhyolite située au sud-est montre de fortes évidences d'activité

hydrothermale volcanogène et elle demeure mal définie. Entre autre, un essaim de dykes et dômes(?) de QFp de composition rhyolitique s'est injecté dans ces laves selon des attitudes N-S à NNE, et semble associé aux fortes chloritisation dans le secteur de l'indice Dasson Copper.

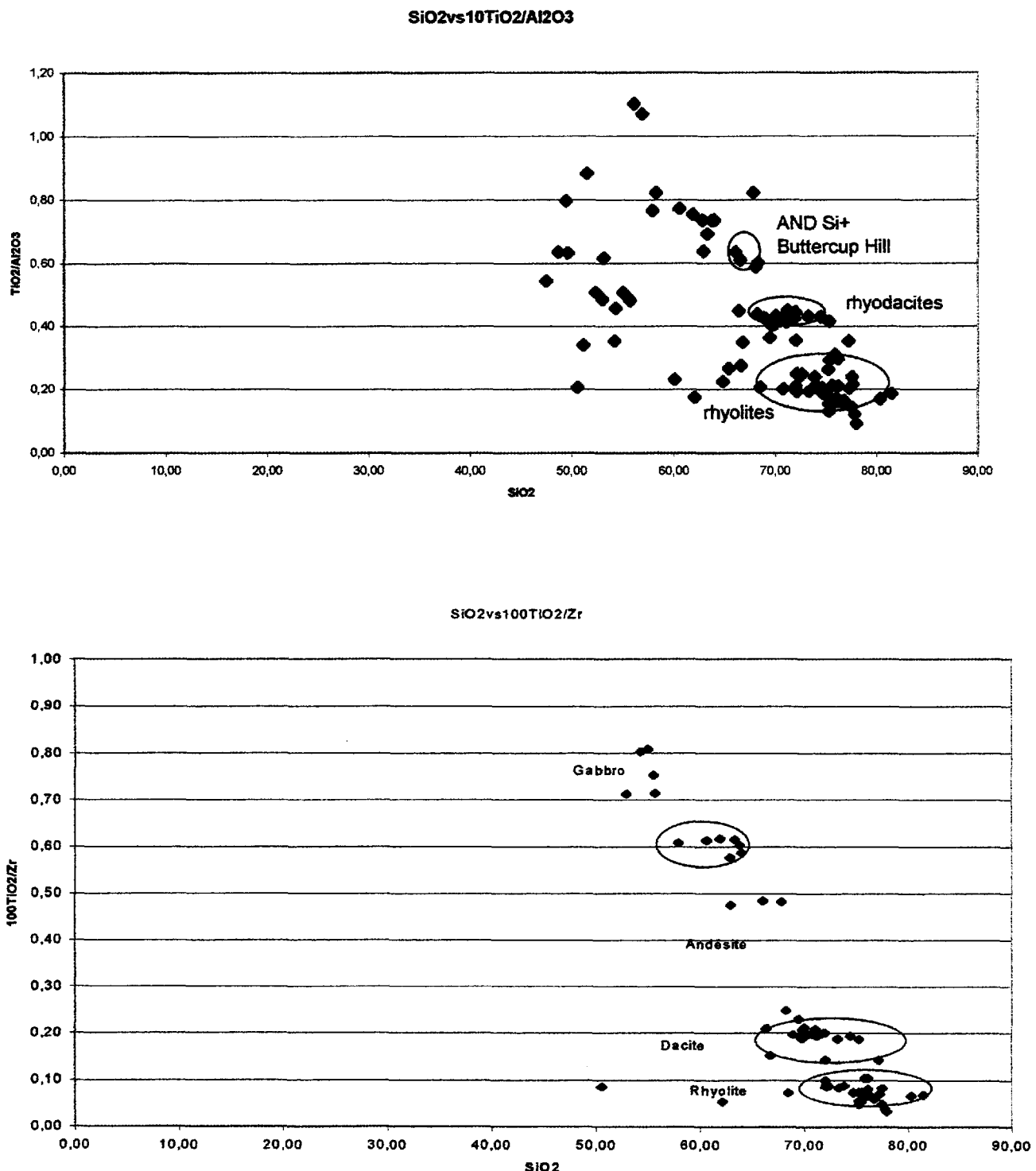


Figure 4 : Diagrammes géochimiques caractérisant les laves

Laves intermédiaires

Les laves de composition intermédiaire décrites lors de la prospection sont possiblement toutes des rhyodacites, sauf peut-être au nord de la bande de rhyolite principale où nous n'avons aucune donnée d'analyse totale. De véritables andésites ont été intersectées dans les forages FV01-261 et 262 dans le secteur Buffam. Elles sont généralement non magnétiques, micro-grenues et de teinte gris moyen verdâtre, massives et silicifiées. Leur teneur en silice dépasse les 63%, ce qui est comparable aux andésites silicifiées documentées à Buttercup Hill dans le camp de Noranda.

Intrusion de Flavrian

Dans le secteur des travaux, l'unité principale qui constitue le pluton de Flavrian est une trondjémite magnétique plus ou moins altérée en chlorite, epidote et spécularite. Elle est d'un aspect tacheté, composée de 40-50% d'amas quartzeux <1cm dans une pâte quartzo-feldspathique intergranulaire comprenant 5-10% de ferro-magnésiens altérés en magnétite chlorite et spécularite.

Une monzonite à quartz magnétique a également été notée sur le décapage d'Epiett et dans le sondage FV01-267. Il s'agit d'un faciès rosé tacheté de noir, composé de 5-10% de cristaux de magnétite, 5-10% de quartz et 10-15% de plages quartzo-feldspathiques floues dans une pâte quartzo-feldspathique très fine.

Un faciès felsique finement grenu, pauvre en quartz, a également été noté dans les sondages FV01-256 et 258 ainsi que dans la tranchée FL-00-24 où il semble avoir constitué l'unité la plus favorable à la minéralisation aurifère.

Le dernier faciès observé dans le pluton de Flavrian (trous 264, 267, 269) est une felsite non magnétique, constituée jusqu'à 85% de sphérolites coalescentes <5mm et de 15% de ferro-magnésiens interstitiels dans une matrice floue \pm chloritisée, ressemblant aux rhyolites sphérolitiques de l'indice Dawson Copper. Ce faciès semble antérieur à la trondjémite puisque cette dernière est de granulométrie plus fine en s'en approchant et que des sphérolites semblent avoir été gobées par la trondjémite.

Dykes

Dykes mafiques

Cette appellation correspond à une famille de dykes plus ou moins foliés, altérés et minéralisés, qui ont été recoupés par forage ou observés en surface le long des linéaments Rg et Epiett. Le fait qu'ils aient emprunté ces structures et qu'ils soient déformés et altérés implique qu'ils soient syn-cisaillement NO-SE. Ils sont micro-grenus à finement grenus, gris foncé verdâtre et magnétiques. Dans les zones de cisaillement, ils sont généralement beaucoup plus foliés que la trondjémite encaissante et plus altérés et minéralisés également.

Lamprophyres

En comparaison avec les précédents, ces dykes montrent une texture cristalline beaucoup mieux définie et préservée de l'altération ou du métamorphisme. Ils sont gris moyen, constitués de 30-40% de petits agrégats ferro-magnésiens (chlorite \pm biotite)

dans une pâte calcitique fine. On note souvent une hématisation des roches encaissantes en bordure de ces dykes et ils semblent montrer une association spatiale avec la minéralisation aurifère à Buffam et à McDonald.

Dykes de gabbro-diorite

La carte de compilation montre une ramifications de dykes importants dans la partie sud de la grille. Nous n'y avons pas prêté attention lors de cette campagne mais il serait intéressant de connaître leur timing par rapport aux altérations volcanogènes puisque les dykes mafiques sont souvent le moteur des systèmes hydrothermaux syn-volcaniques.

Dykes felsiques hématitiques

Ces dykes sont d'importance mineure et ont été recoupés en forage dans le secteur de l'indice Buffam. Ils sont micro-grenus et de couleur rouge brique et semblent sub-horizontaux. Ils sont massifs et dépourvus de minéralisation.

8.1.5 Structure

Le style structural de ce secteur est définitivement cassant, caractérisé par une absence quasi-totale de schistosité, celle-ci n'étant visible que dans les faciès de rhyodacite bréchique chloriteuse. Les failles constituent le seul trait structural important à l'échelle du secteur des travaux. L'interprétation stéréoscopique des photos aériennes fait ressortir plusieurs familles de linéaments (figure 3 et carte de compilation).

Linéaments NO-SE

Les linéaments NO-SE sont un des contrôles structuraux les plus importants de la minéralisation aurifère dans le camp de Rouyn-Noranda, encaissant plusieurs dépôts dont les mines Silidor, Powell, New Marlon. 3 linéaments de cette orientation traversent ce secteur de la propriété et ont été ciblés par les présents travaux. D'après nos forages et décapages, les linéaments RG et Eplett correspondent à des corridors de failles d'envergures kilométriques et d'épaisseurs décamétriques, modérément à faiblement inclinés vers le SO, injectés de veines de quartz et de dykes mafiques plus ou moins pyritisés. Le linéament RG comprend également une faille à pendage abrupte vers le NE dont la relation avec l'autre système est indéfinie (voir carte de compilation annexée). A l'échelle de l'Abitibi, l'interaction des failles NO-SE avec les cisaillements majeurs N070° Cadillac – Larder Lake et Destor-Porcupine semble avoir jouer un rôle important dans l'emplacement des camps miniers aurifères, principalement en Ontario. La même relation semble exister sur la propriété à la rencontre des linéaments Eplett et RG avec le cisaillement Quesabe.

Structures sub-horizontales

Ces structures constituent un métallotecte aurifère important dans ce secteur de la propriété puisque les zones minéralisées des indices Buffam et MacDonald montrent cette attitude, de même que les dykes de lamprophyres et d'aplite hématitique. Nos décapages ont également identifié des structures aurifères très faiblement inclinées à Eplett, FL-00-02 et FL-00-04 où une veine sub-horizontale semble former la base de

l'essaim N-S sub-vertical. Ces structures pourraient correspondre à des systèmes en tension développés entre les failles NO-SE décrites plus haut.

Autres linéaments

Les linéaments NE sont les plus abondants mais nous n'avons pas pu vérifier leur signification sur le terrain. Ils pourraient être l'expression du grain lithologique ou de failles parallèles à la Hunter Creek Fault qui traverse la partie nord de la propriété.

Quelques linéaments N-S bien définis correspondent tant qu'à eux à des failles chloriteuses tardives injectées de veines de quartz stériles (affleurement FL-00-24C et trou FV01-257). Toutefois, plusieurs indices dont la mine P.Beauchemin semblent contrôlés par des linéaments N-S à N020°. Notre décapage FL-00-04 a par ailleurs exposé un système de veinules de quartz aurifères N-S.

Les linéaments N060-070° tels que celui des failles Quesabe ou Beauchastel, hôtes de plusieurs dépôts aurifères, sont plutôt discrets à l'intérieur du périmètre couvert par les présents travaux. Un de ces linéaments traverse le secteur de l'indice Buffam et semble avoir été évité par tous les sondages.

Finalement, quelques linéaments E-O isolés n'ont pas d'explication géologique pour le moment mais l'importance du creux topo associé à celui qui passe à l'extrême sud de la propriété suggère un cisaillement majeur.

8.2 DÉCAPAGE MÉCANIQUE

8.2.1 Linéament RG

6 tranchées ont été effectuées le long du linéament NO aurifère « RG » et quatre d'entre elles ont permis de l'exposer partiellement, soit le long d'un tronçon de 500 m (tranchées FL-00-17, 18, 20 et 24). Cette structure correspond à un corridor d'environ 30 mètres de large d'altération en hématite spéculaire, chlorite \pm carbonates et injecté de veinules de quartz-carbonates-spécularite \pm pyrite. Cette altération est contrôlée par un système de fractures et de failles fragiles dont un clivage à N320/60 parallèle à la direction générale du linéament. L'altération et la déformation affectent la trondjémite du pluton de Flavrian ainsi que des dykes mafiques injectés dans la structure. Lorsque ces dykes sont présents, la pyrite semble surtout imprégner ces derniers. Toutefois, la plus forte concentration de pyrite (5-15%) provient d'un faciès feldspathique du pluton de Flavrian qui semble avoir beaucoup plus réagi aux fluides minéralisateurs que le faciès normal riche en quartz (tranchée FL-00-24). Les six décapages sont décrits ci-bas, quatre d'entre eux étant représentés sur cartes.

FL-00-31b (L14S à 5 E ou 326262 E, 5348330 N)

Ce décapage a exposé seulement la trondjémite faiblement hématisée, signifiant que le corridor d'altération ciblé passe plus au SO.

FL-00-30 (L13 à 5 E ou 326341 E, 5348258 N)

Ce décapage expose la trondjémite hématisée et affectée d'un clivage pénétratif 050/63 et 360/70. Le degré d'altération suggère qu'on soit en bordure NE du corridor ciblé. L'échantillon FL-00-30A a retourné 25 ppb d'Au.

FL-00-20 (L17S à 5 E ou 326477 E, 5348133 N, figure 5)

Ce décapage expose le corridor d'altération ciblé, soit la trondjémite ankéritisée et hématisée, injectée de dyke mafiques E-O à NO-SE. Ces dykes d'épaisseurs métriques sont fortement altérés en carbonates de fer et peuvent contenir jusqu'à 3-5% de pyrite disséminée accompagnée de rubans séricitiques et de veinules de quartz-carbonates. L'échantillon FL-00-20A prélevé dans les haldes d'un vieux pit (avant le décapage) provenait de ce type de minéralisation et avait titré en moyenne 10.0 g/t d'Au. Les teneurs obtenues après décapage sont beaucoup plus faibles, atteignant 2.53 g/t d'un échantillon choisi et 0.81 g/t / 75 cm en rainure. Toutefois, tous les échantillons étaient fortement oxydés et les sulfures ont été partiellement lessivés.

FL-00-18 (L20 S à 5 E ou 326650 E, 5347900 N, figure 6)

Ce décapage expose la bordure NE du corridor ciblé, soit deux faciès du platon de Flavrian fortement altérés en hématite spéculaire ±carbonates et injectés de veinules de spéculaire ou de pyrite. La bordure SO du décapage exposait un faciès d'altération extrême à silice-hématite rose saumon avec perte de texture totale du protolith et 1-3% de pyrite et des traces de chalcopyrite, anomalique en or (200-250 ppb). Une intersection de 10.9 g/t d'Au / 80cm a été obtenue d'une rainure, causée par des veinules de pyrite sub-parallèles à la surface de l'affleurement, dont le pendage est d'environ 30° vers le SO. Un clivage pénétratif N306/72 est probablement l'expression de la structure responsable du linéament topo NO-SE. Ce clivage est également présent sur le décapage FL-00-17.

FL-00-17 (L21S à 5 E ou 326714 E, 5347819 N, figure 7)

Ce décapage expose le corridor d'altération ciblé, soit la trondjémite à quartz hématisée et carbonatisée, injectée de dykes mafiques fortement carbonatisés. Le corridor altéré fait ici au moins 20 m de large, sa limite NE n'ayant pas été atteinte. Le cœur du corridor n'a pu être exposé non plus, étant donné la profondeur du mort-terrain mais les rainures effectuées le plus près de celui-ci montrent encore une perte de texture du protolith fortement altéré en hématite, carbonates et silice et injecté de veinules de quartz. La minéralisation est relativement peu abondante sur ce décapage, atteignant rarement 3% de pyrite. Les meilleures teneurs de 554 ppb /75cm et 595 ppb /90cm proviennent respectivement du faciès le plus altéré et d'une veinule de pyrite sub-horizontale.

FL-00-24 (L22 S à 5 E ou 326770 E, 5347760 N, figure 8)

Ce décapage expose encore le corridor ciblé ainsi qu'une zone minéralisée significative. La structure est passablement complexe dû à l'interaction de failles N-S et la présence de deux phases intrusives. La phase trondjémite à quartz est en contact irrégulier et complexe avec une phase feldspathique sans quartz. Cette phase est chloritisée et fortement injectée de veinules de pyrite aurifères (5-10%) dont une famille prédominante qui pente à 35-45° vers le SO, attitude similaire à la veinule responsable de l'intersection de 10.9 g/t sur le décapage FL-00-18. Les échantillons en rainure ont rapporté entre 2 et 4 g/t d'Au sur 5 m consécutifs de ce faciès minéralisé. La plus forte teneur individuelle de 6.7 g/t /70cm provient du faciès quartzifère. Toutefois, il apparaît évident que le gros de la minéralisation est principalement encaissé dans le faciès intrusif feldspathique mais que la minéralisation déborde légèrement et localement dans le faciès quartzifère. La distribution complexe du faciès minéralisé et l'attitude faiblement pentée des veinules de

pyrite prédominantes ne permettent pas d'estimer l'épaisseur de la minéralisation. Il serait facile d'exposer les zones minéralisées d'avantage dans les deux directions étant donnée la faible épaisseur du mort-terrain.

8.2.2 Indice Dasson Copper

(L21 – 22 S, 2+50 O ou 326250 E, 5347250 N, figure 9)

L'intérêt de ce secteur consiste en une zone de chloritisation accompagnée de stringers et amas de chalcopyrite à l'intérieur d'une rhyolite. La minéralisation était exposée par un enlignement N-S de vieux blasts et avait été testée au moyen de courts sondages effectués par Dawson Copper dans les années 60. Nous avons exposé une superficie de 20m par 50 m afin de mieux exposer les relations géologiques entre la minéralisation et les unités. Deux unités sont présentes, soit une rhyolite sphérolitique fortement fracturée, voire bréchifiée et injectée de veinules de chlorite noire formant un treillis, puis une unité porphyrique à quartz plus massive comprenant deux dykes dont l'attitude générale est N-S. La chloritisation affecte préférentiellement une zone bréchique sub-parallèle aux dykes mais s'épanche également à l'extérieur de cet axe. La chalcopyrite semble surtout présente dans ces brèches chloritiques N-S mais est également présente sous forme de petits amas et disséminations partout dans le secteur. La meilleure valeur obtenue est de 3.6% Cu. Un échantillonnage lithogéochimique effectué sur une superficie de 200 par 400 m autour du décapage révèle l'étendue de l'altération en chlorite (figure) qui semble s'évaser et s'intensifier vers le nord, butant au contact du pluton de Flavrian. Aucun vecteur ne permet pour l'instant d'orienter d'éventuels sondages puisque la statigraphie demeure incomprise, de même que la nature du contact avec le pluton.

8.2.3 Décapage FL-00-04

(L18S à 12 O ou 325615 E, 5347095 N, figure 10)

Ce décapage expose un essaim de veinules de quartz accompagnées de pyritisation aurifère. Une seule unité majeure est exposée, soit une rhyodacite porphyrique massive à feldspaths et agrégats ferro-magnésiens. Le flan sud du décapage correspond à un plan de faille E-O injecté de veines de quartz importantes et de dykes de lamprophyre, pentée à 30° vers le sud. La zone minéralisée correspond plutôt à un essaim de veinules N-S sub-verticales accompagnées de silicification, localement d'hématisation, et de pyrite disséminée atteignant 5-7%. Cette zone fait environ 10 m de largeur et est limitée au sud par la faille tandis qu'au nord, elle demeure ouverte. Il semble que les veinules sub-verticales soient parfois limitées à la base par des veines à faible pendage vers l'ouest (voir coupe verticale sur le croquis du décapage) et le contrôle global de la minéralisation demeure incertain. Les teneurs varient entre 1 et 3.7 g/t d'Au et un échantillonnage en rainure a rapporté une intersection composite de 1350 ppb d'Au / 6.4 m consécutifs.

8.2.4 Décapage FL-00-02

(chemin d'accès à la hauteur de la ligne 17 S ou 325860 E, 5347425 N, figure 11)

Ce petit décapage expose une brèche hématisée et fortement pyritisée qui rappelle par sa minéralogie la minéralisation de l'indice Buffam, soit jusqu'à 10% de pyrite grossière disséminée dans la volcanite felsique hématisée rose saumon. La brèche est constituée de fragments de rhyodacite et est cimentée par du quartz, de la calcite et de la chlorite. Elle comprend une veine de quartz bréchique de plus de 50cm d'épaisseur et fait elle-même au moins 1 m d'épaisseur, sa limite supérieure étant érodée. Sa limite inférieure correspond à un plan de faille N350/20. Cette attitude correspond en gros aux veinules de pyrite prédominantes de l'indice Buffam et la projection de cette faille vers le nord nous y mènerait. Ces coincidences suggèrent fortement qu'une famille de failles de cette attitude contrôle la minéralisation à Buffam et sur le présent décapage.

Malheureusement les similitudes s'arrêtent là puisque la meilleure teneur obtenue ne dépasse pas 534 ppb d'Au et des échantillons contenant 10% de pyrite titrent autour de 50 ppb.

8.2.5 Décapage Eplett

(chemin d'accès au lac Flavrian ou 327425 E, 5348540 N, figure 12)

L'indice Eplett correspond à plusieurs minces intersections aurifères de hautes teneurs obtenues en forage le long d'un linéament NO-SE parallèle au chemin, recoupant le pluton de Flavrian. La compréhension géologique de la ou des zones aurifères demeure nébuleuse et nous avons tenté de la clarifier en exposant la roche sous le chemin et en bordure de celui-ci. Une zone de carbonatisation injectée de veines de quartz contenant des concentrations de pyrite inférieure à 5% affecte la trondjémite sur le côté NE de la route, l'altération se poursuivant le long du ruisseau en contre-bas. Le décapage a permis de réaliser qu'aucune zone minéralisée n'est présente sous la route ou au SO de celle-ci. Dans l'impossibilité de descendre l'excavatrice dans le ruisseau, nous avons dynamité une face sur 5 m de long, ce qui a permis d'exposer une zone fortement minéralisée en pyrite et quartz. Il s'agit d'un cisaillement de 1-2cm orienté N100/10°, bordé d'un halo de 30 cm de séricitisation, ±hématisation et possiblement feldspathisation, accompagnés de 10-15% de pyrite en veinules et stringers. Les meilleures teneurs sont de 2120, 2470 et 2590 ppb d'Au.

8.2.6 Indice McDonald

Nous avons dynamité 3 rangées orientées E-O sur le décapage de cet indice afin de mieux exposer la minéralisation de type Buffam. Celle-ci est composée de tr.-10% de pyrite en stringers et disséminées dans une volcanite felsique altérée en hématite et chlorite. L'attitude sub-horizontale des veinules de pyrite avait été observée et apparaît nettement encore une fois. Une brèche sub-verticale à calcite-chlorite et pyrite de 10 cm complètement oxydée a été mis en évidence à l'extrémité ouest d'un des blasts, ainsi qu'un clivage N360/80, expression possible d'une faille qui longerait la bordure ouest de l'affleurement. J'ai également observé que la minéralisation semble plus abondante à proximité de cette limite ouest et qu'elle s'estompe totalement en-dedans de 5 m vers l'est. Il est donc possible qu'elle soit globalement contrôlée par la structure N-S sub-verticale proposée ci-haut. Les échantillons MC-1 à 6 ont été prélevés des rangées dynamitées dans le but de vérifier un éventuel vecteur sur les teneurs d'or en s'éloignant de cette structure N-S. La meilleure valeur de 12 g/t provient de l'éponge pyritisée et chloritisée de la brèche sub-verticale. La teneur du faciès hématitique pyritisée varie entre 1 et 4 g/t et ne semble pas reliée à la proximité ou non de la structure interprétée. 2 anciens sondages ont visiblement testé l'hypothèse d'une structure minéralisée N-S

verticale à cet endroit. Un effort supplémentaire devrait être investit dans la recherche des données originales de ces sondages.

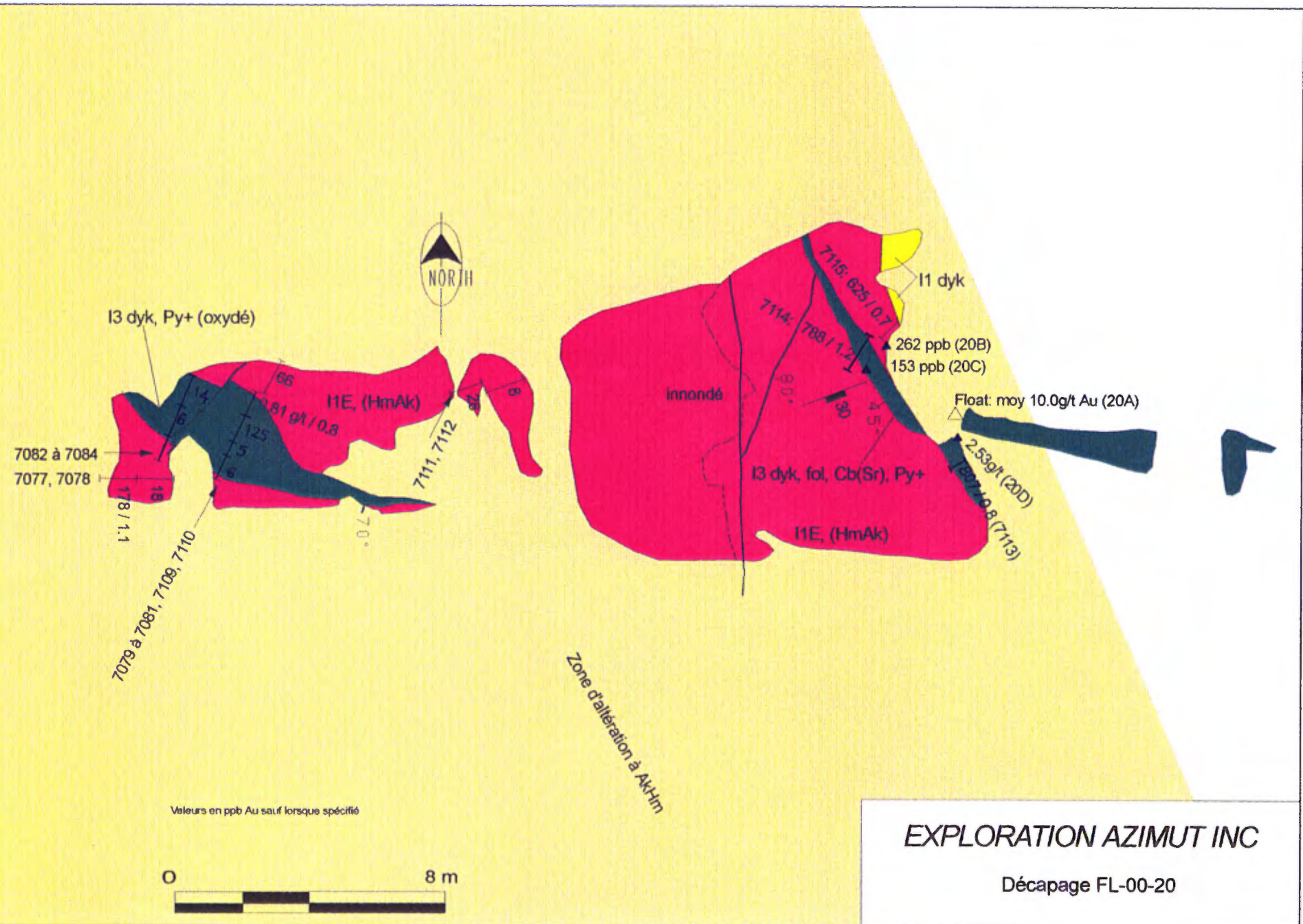


Figure 5 : Décapage FL-00-20

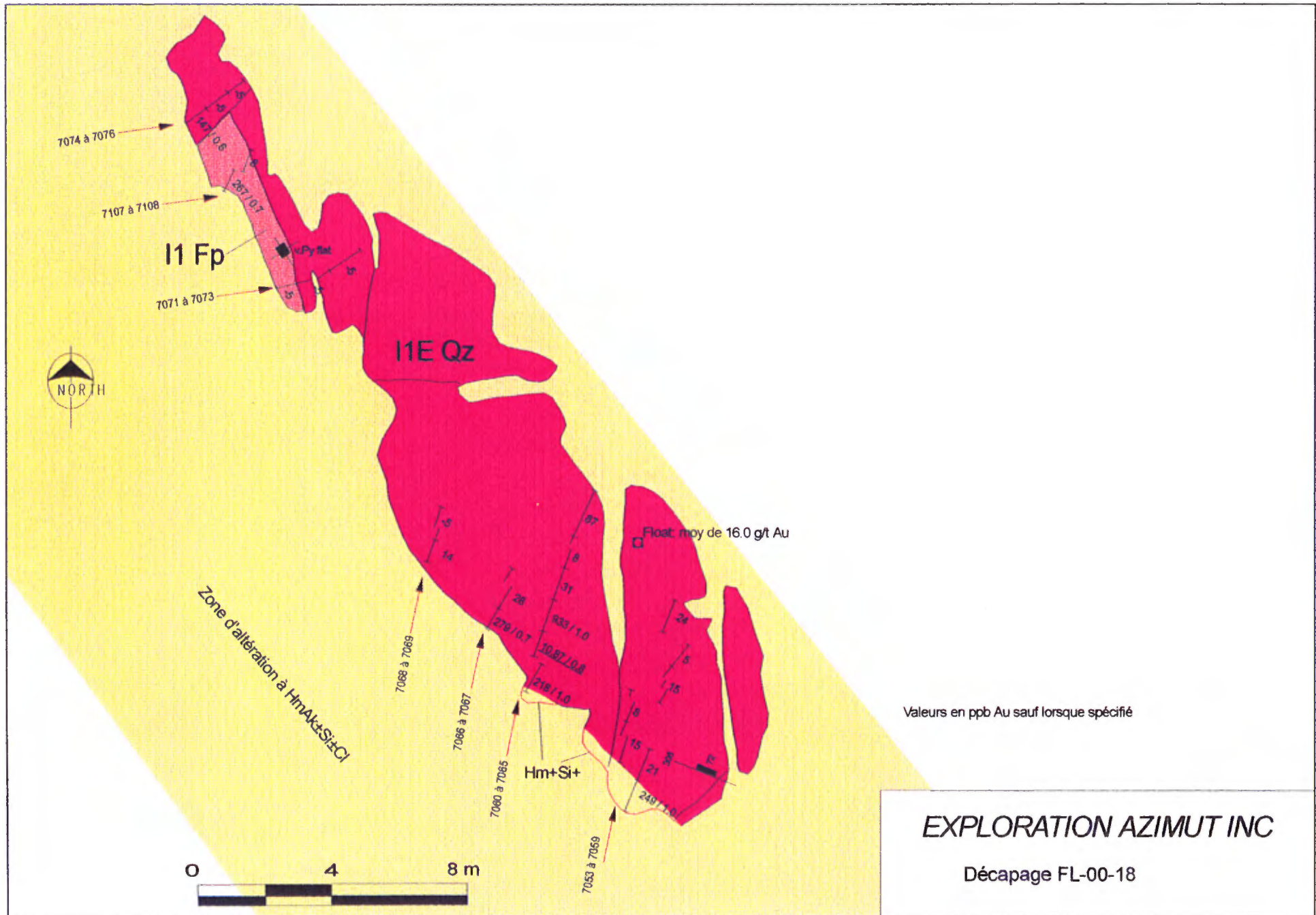
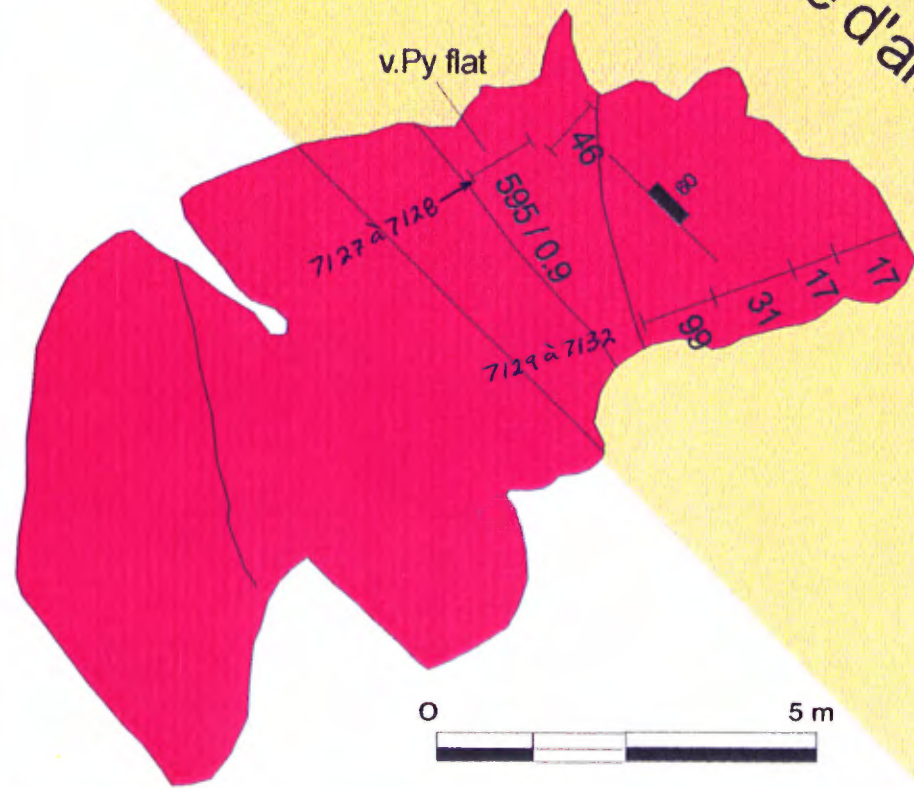


Figure 6 : Décapage FL-00-18

Valeurs en ppb Au sauf lorsque spécifié

N



Zone d'altération à AkHm±Cl

EXPLORATION AZIMUT INC

Décapage FL-00-17

Figure 7 : Décapage FL-00-17

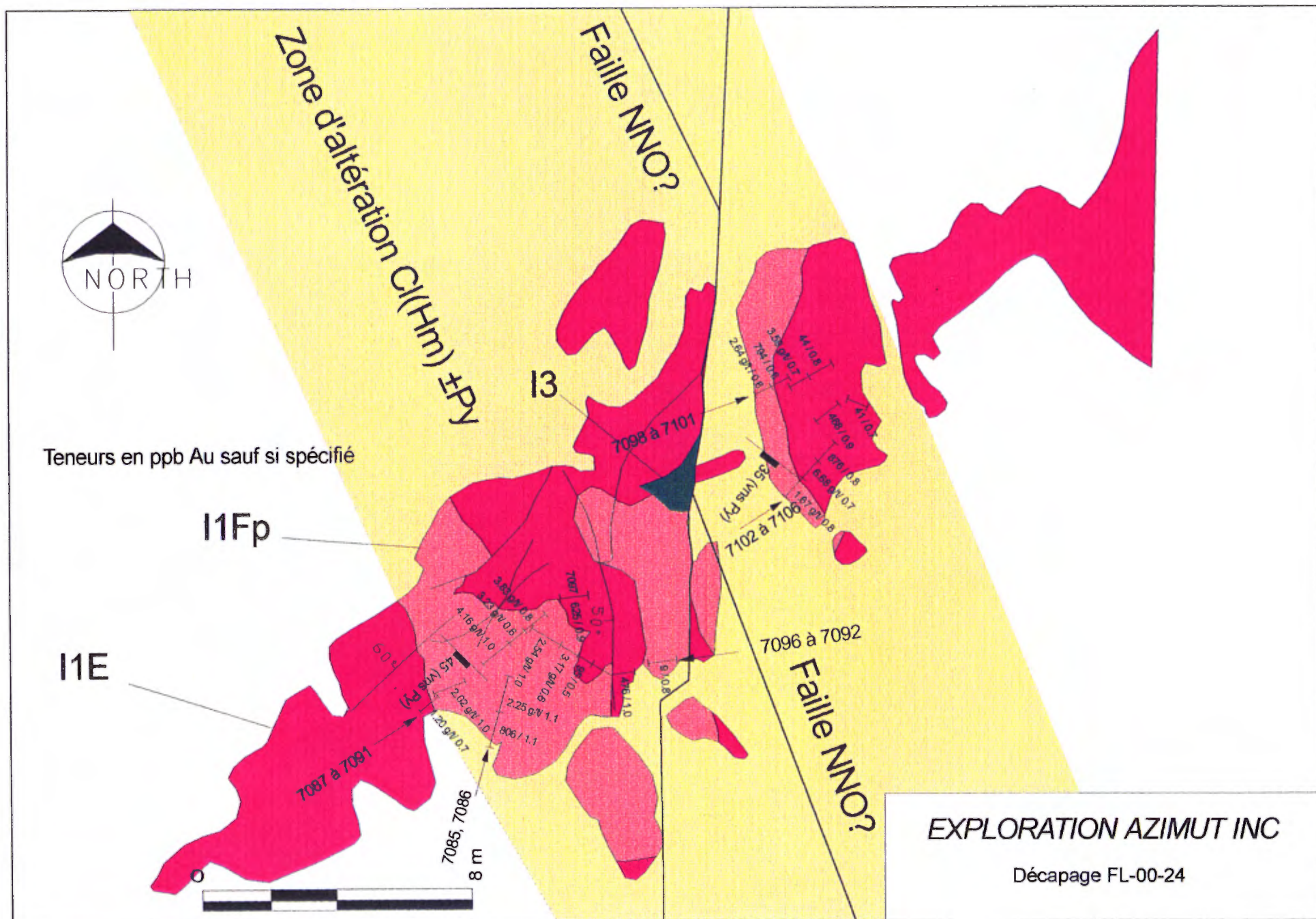


Figure 8 : Décapage FL-00-24

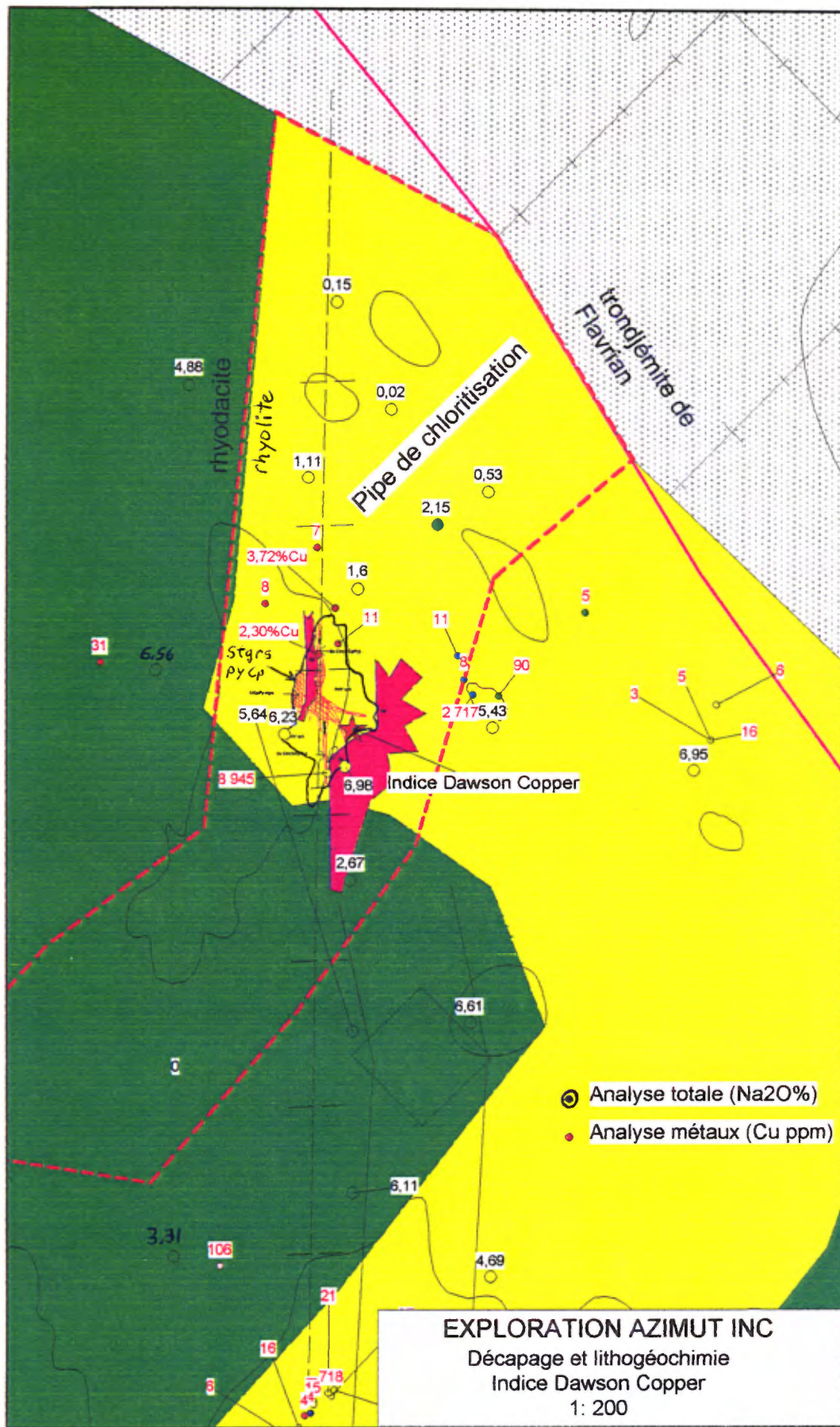


Figure 9 : Indice Dawson Copper

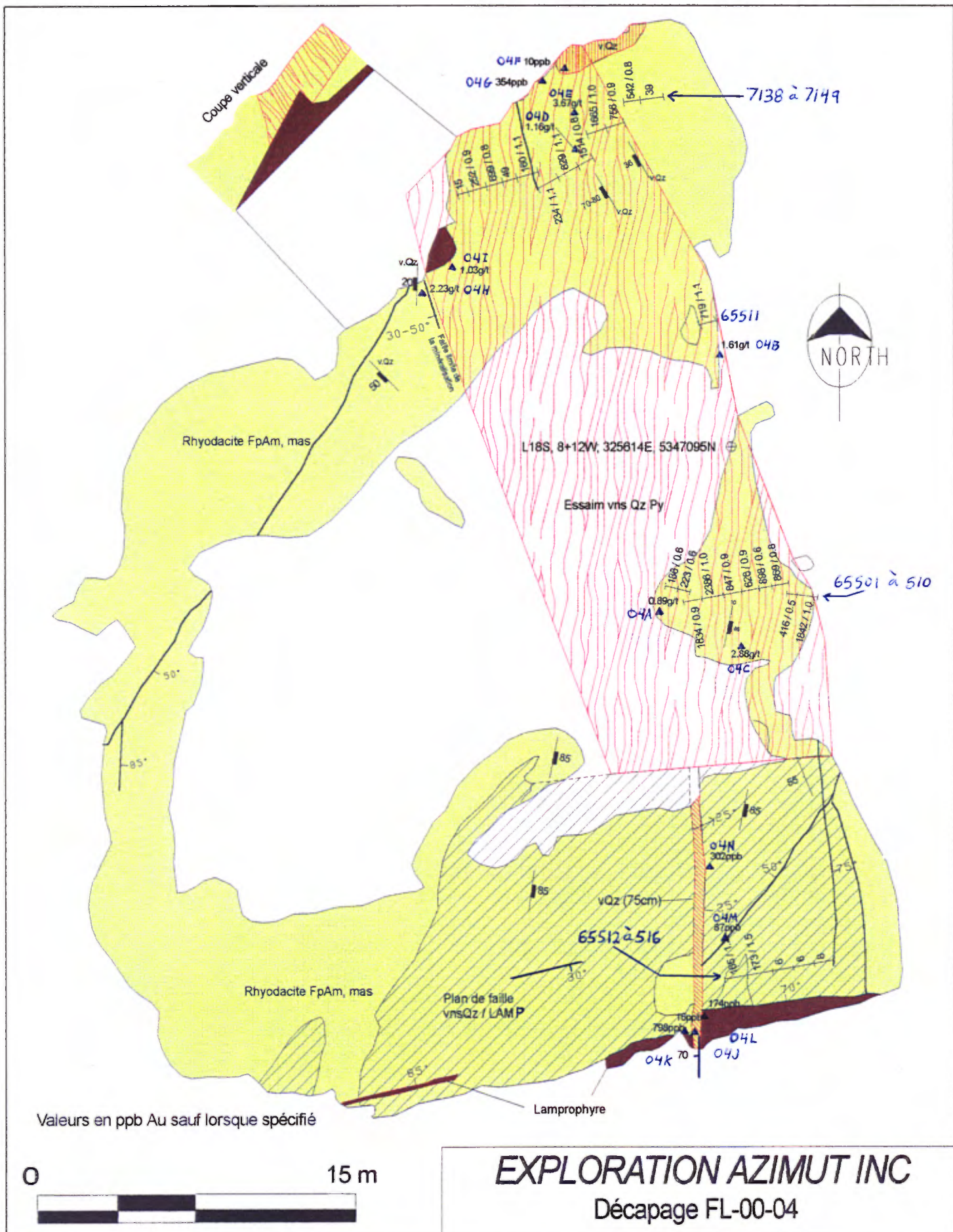


Figure 10 : Décapage FL-00-04

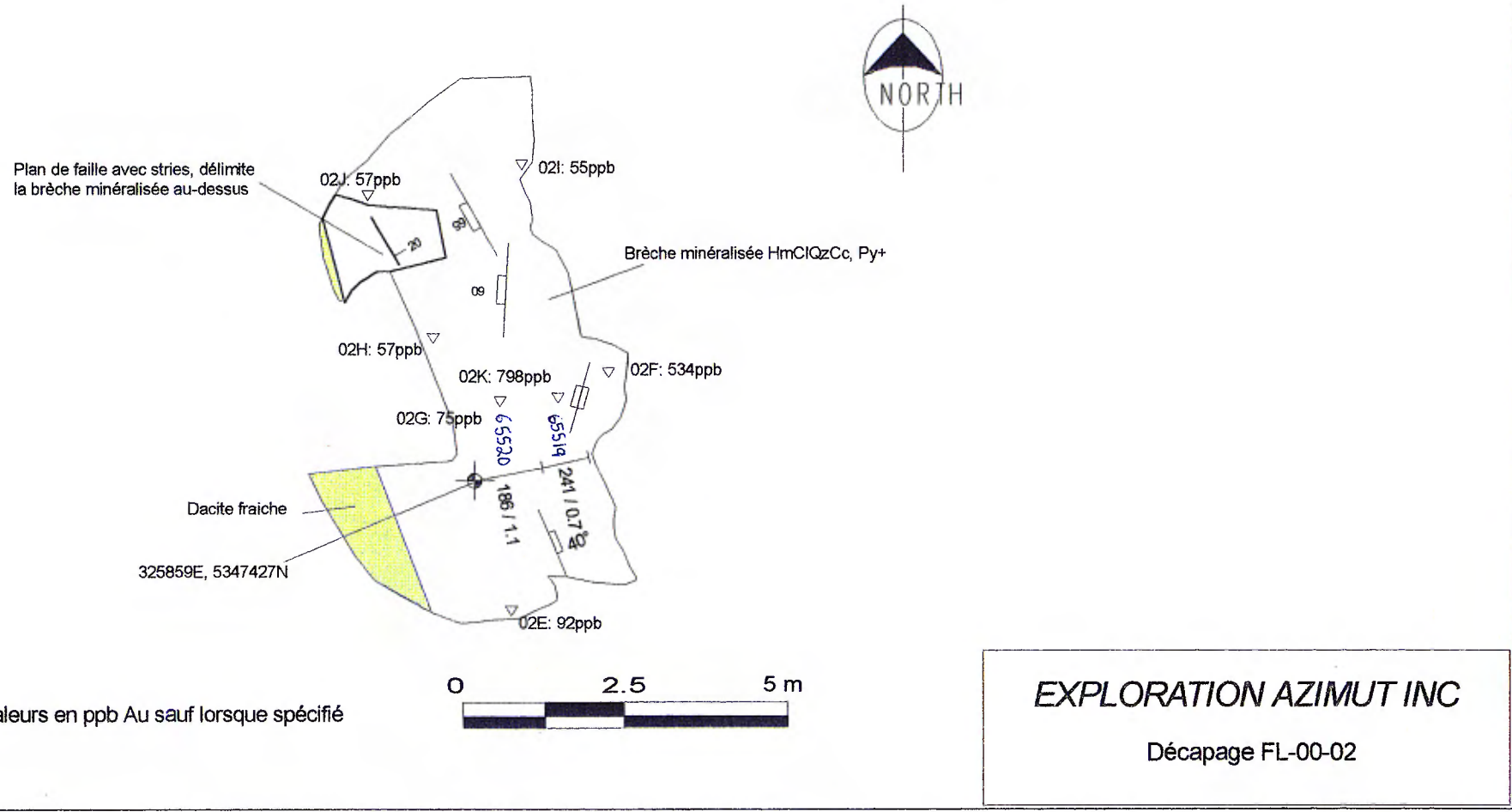


Figure 11 : Décapage FL-00-02

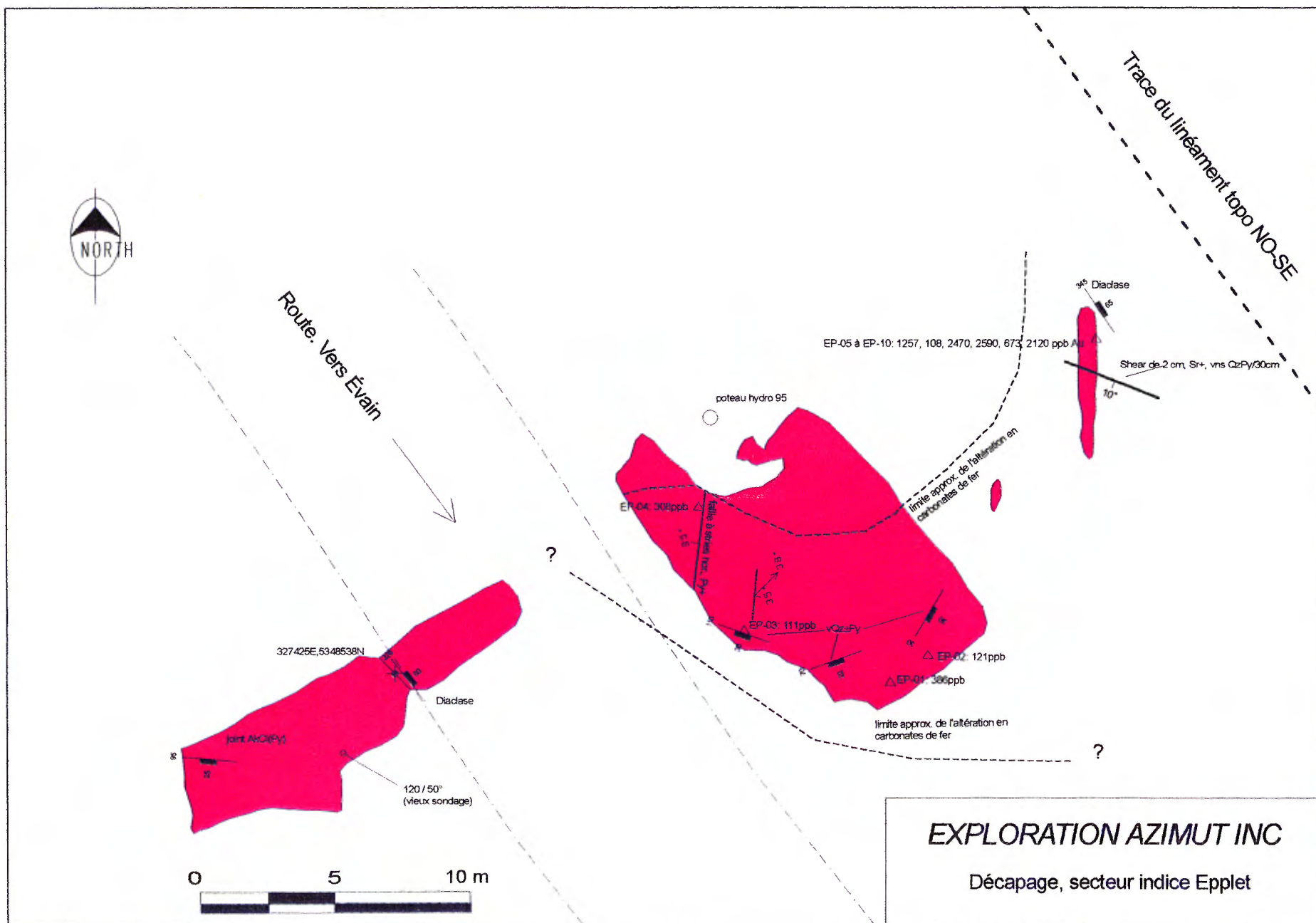


Figure 12 : Décapage Eplett

8.3 SONDAGES

15

Une campagne de 13 sondages BQ totalisant 1550 m a été effectuée entre les 7 février et 9 mars 2001 par Forage Benoit de Val d'Or. Les trois objectifs principaux du programme étaient : 1) investiguer le potentiel économique aurifère du linéament NO-SE « RG » identifié par prospection l'automne dernier; 2) tester les extensions possibles des zones Buffam et Buffam ouest; 3) investiguer le potentiel économique aurifère des minéralisations intersectées par Eplett Mining entre 1949 et 1959. 457 échantillons de carottes fendues ont été analysés chez Chimitec – Bondar Clegg à Val d'Or pour leurs teneurs en or en utilisant la méthode « fire-assay » finition « aa » sur 30 g d'échantillon pulvérisé. Toutes les valeurs supérieures à 1 g/t ont ensuite été revérifiées sur une autre portion de rejet concassé. 8 échantillons ont été analysés pour leurs éléments majeurs.

8.3.1 Linéament RG

Trou FV01-256 : (Az. : 225°, dip : -77°, 81m)

Objectif : Recouper la structure du linéament RG sous le décapage FL-00-17 (L21S) dans le but d'en évaluer le potentiel et de connaître l'attitude réelle de cette structure aurifère. Ce trou est sur la même section que le trou FV98-246, foré en direction opposée et qui ne semble pas avoir rencontré de structure significative. Le sondage 256 débute dans la trondjémite chloritisée et carbonatisée, suivi de passées légèrement hématitisées et pyritisées. Il rencontre une zone de brèche à chlorite-quartz±hématite de 69.5 – 75.3 m qui, projetée avec la position de la faille NO-SE interprétée en surface, lui donnerait un pendage d'environ 80° vers le NE, soit un peu plus abrupte qu'anticipé. Des mesures de carotte orientée révèlent que la fabrique dominante de cette brèche donnent entre 270 et 290° en direction et de 60 à 74° vers le NE comme pendage, donc presque E-O!. Toutefois, un trou penté à -77° peut très bien avoir dévier vers la droite de façon assez importante pour fausser les mesures sur la direction. Les résultats d'analyse ont rapporté deux courts intervalles aurifères :

de 16.50 – 18.00 : 4,63 g/t / 1,50 m provenant de deux cisaillements chloriteux de 5 et 10 cm à 30° contenant un peu de pyrite et des traces de chalcopyrite;

de 70.45 – 71.35 : 5,39 g/t / 90 cm provenant de la brèche ±Hm/Si/Cl, 2-3% Py

La trondjémite légèrement altérée et pyritisée n'est en général que faiblement anomalique (<100ppb).

Trou FV01-257 : (Az. : 51°, dip : -45°, 141m)

Objectif : Tester le linéament RG sous le décapage FL-00-24 qui avait rapporté 3 g/t / 5m d'un faciès intrusif feldspathique recoupé de veinules de chlorite-pyrite ayant un pendage faible à modéré vers le SO. Le sondage débute dans la trondjémite variablement chloritisée puis traverse une zone de faille injectée de dykes mafiques folliés entre 21.4 et 30.3 m, les fabriques étant définitivement sub-perpendiculaires à l'axe de la carotte donc à pendage vers le SO! Le trou recoupe par la suite la trondjémite localement affectée d'une légère hématitisation accompagnée de traces à 3% pyrite, jusqu'à 123.4 m qui marque le début d'une zone de faille qui persiste jusqu'à 130m. Les mesures de carotte orientée dans cette faille lui donnent une attitude N-S et sub-verticale, ce qui corrèle bien avec un linéament topo évident. De cette faille jusqu'à la fin, il s'agit de trondjémite fraîche. Les résultats d'analyse confirment que la trondjémite légèrement minéralisée et hématitisée n'est que faiblement anomalique en

or. Toutefois, de 76.40 – 76.85 : une courte zone à stringers de pyrite à 80° c.a. (10%Py) a rapporté 19,4 g/t / 45cm.

Trou FV01-258 : (Az. : 45°, dip : -49°, 99m)

Objectif : Investiguer le linéament RG sous un grab ayant titré 6.0 g/t Au.

Après 11 m de mort-terrain, ce sondage a débuté dans la trondjémite fortement chloritisée et pyritisée, suivi d'une séquence de dykes mafiques ±cisaillés (à 80°c.a.), puis à nouveau de trondjémite. Jusqu'à 47 m, les unités sont assez fortement altérées, soit un lessivage des ferromagnésiens accompagné d'imprégnations de spécularite, magnétite et pyrite (1-5% en moyenne et jusqu'à 10%) qui se présente souvent en minces rubans à 70-80°c.a. Par la suite, le sondage recoupe la trondjémite peu ou pas altérée et quelques dykes mafiques. Malgré l'aspect relativement encourageant de la zone pyritisée, les analyses révèlent qu'elle n'est qu'anomale (moyenne de 200-300 ppb/ 20 m, pics à 1.15 g/t).

Trou FV01-264 : (Az. : 44°, dip : -45°, 134m)

Objectif : Tester une anomalie PP coincidente avec le linéament RG sur la ligne 28S.

Le trou débute dans la trondjémite fraîche qui affleure sur le versant SO du creux topo correspondant au linéament. De 33.0 – 46.1 m, le sondage recoupe une zone de faille injectée de plusieurs veines de quartz centimétriques à décimétriques à 80°c.a. contenant de 2-4% de pyrite disséminée ou en rubans. La trondjémite est injectée de nombreuses veinules de quartz et contient également 2-4% de pyrite. Cet intervalle est localement fortement oxydé et lessivé et on rapporte un intervalle non récupéré de 1 m. De 46.1 à 79.5, le trou recoupe plusieurs cisaillements isolés décimétriques à métriques, injectés de quartz et pyritisés, toujours sub-perpendiculaires à l'axe de la carotte donc indiquant une structure NO-SE pentée de 35 à 55 vers le SO. De 79.5 à 134 m, la trondjémite est relativement massive et fraîche. Fait intéressant, on recoupe un dyke mafique à contacts cisaillés de 97.1 à 104.4 m, suivi de rhyolite? fortement chloritisée de 104.4 à 106.5 m, suivi d'une unité felsique sphérolitique qui est définitivement antérieure à la trondjémite, jusqu'à 115.6 m. Les résultats d'analyse des zones minéralisées se révèlent fort décevants, soit entre 300 et 600 ppb d'Au.

Trou FV01-265 : (Az. : 45°, dip : -45°, 61m)

Objectif : Traverser complètement la structure RG sur la même section que le trou FV01-258 qui avait débuté dans les dykes mafiques alors que le FV01-264 indique que la zone d'injection de quartz pyritisée se trouve au SO de ces dykes.

Le sondage a rencontré la trondjémite ±chloritisée et injectée de dykes mafiques. Un intervalle de 1 m fortement silicifié et contenant 10% de pyrite n'a retourné que 340 ppb Au. Il semble donc que la zone d'altération et de minéralisation la plus significative soit plus au NE sur cette section, soit la zone recoupée par le sondage FV01-258. Les dykes mafiques ne constituent donc pas un niveau repère fiable le long du linéament RG. Les résultats ne justifient pas de tester la zone anomale du trou FV01-258 en profondeur, le trou a été arrêté à 61m.

Trou FV01-266 : (Az. : 42°, dip : -45°, 162m)

Objectif : Tester le linéament RG à la rencontre d'un linéament N020° qui relie l'indice Buffam à l'indice FL-00-04.

Du collet à 26.75 m, le sondage a recoupé des volcanites felsiques fortement fracturées, suivies par la trondjémite de Flavrian, localement cisaillée et injectée de dykes mafiques

très cisaillés. Un premier cisaillement entre 33 et 42 m montre une fabrique à 35-40° tandis que de 68 à 76 m, la fabrique associée au cisaillement affectant le dyke est plutôt à 70-80°. Encore une évidence d'au moins deux systèmes de cisaillements importants le long du linéament RG. Les altérations notées sont surtout la chloritisation, tandis que la minéralisation n'est présente que sous forme de traces à 1% pyrite ± chalcopyrite. Aucune teneur anomale n'a été obtenue dans ce sondage.

Interprétation des résultats, linéament RG

Le linéament NO-SE a été testé par forage sur une distance de près de 2 km. Vers le SE (trous FV01-257, 258, 264 et 265), le linéament correspond à une structure inclinée à 35-55° vers le SO, injectée de veines de quartz pyriteuses et de dykes mafiques sur une largeur d'au moins 40 m. Les altérations qui lui sont associées sont principalement le remplacement des ferromagnésiens par la spéculaire ou la chlorite, accompagnées de veinules et disséminations de pyrite en concentrations inférieures à 5%. Les teneurs aurifères de cette zone atteignent occasionnellement 1 g/t, à l'exception d'un court intervalle de 45 cm qui a rapporté 19,4 g/t dans le FV01-257.

Vers le NE, les forages (FV01-256 et 266) et les décapages effectués à l'automne montrent l'influence de deux systèmes de failles. Le système incliné vers le SO et un autre plus abrupte à 80° vers le NE qui sort en surface sur le décapage FL-00-17. Ce second système semble contenir les intersections de 4,63 g/t / 1,50 m et 5,39 g/t / 90 cm du trou FV01-256. Les veinules pyriteuses riches en or exposées aux décapages FL-00-18 et 24 de même que le dyke pyritisé aurifère du décapage FL-00-20 semblent plutôt reliées au système incliné vers le SO.

8.3.2 Secteur Buffam

Trou FV01-259 : (Az. : 290°, dip : -80°, 75m)

Objectif : Tester le prolongement vers le nord de la zone minéralisée du décapage Buffam nord selon l'hypothèse de l'attitude sub-horizontale ou faiblement inclinée vers le nord.

Les 10 m de mort-terrain étaient probablement suffisants pour écarter toute chance de succès technique. Néamoins, nous voulions également tester l'hypothèse d'autres zones en profondeur. De 10 à 42.8 m, le trou a recoupé la trondjémite du pluton de Flavrian, localement faiblement altérée et pyritisée dans des zones de fracturation. De 42.8 à 75 m, il s'agit de rhyolite rubannée bréchique affectée par un métamorphisme de contact qui lui donne des teintes spectaculaires rose saumon à vert pistache, le tout dépourvu de la moindre trace de minéralisation. Fait intéressant, nous avons recoupé un tuf lité de 54.9 à 56.0 m dont les lames très régulières sont à 80° de l'axe de la carotte, indiquant que la stratigraphie est sub-horizontale. Les analyses ne révèlent aucune anomalie aurifère pour ce trou.

Trou FV01-263 : (Az. : 290°, dip : -45°, 59m)

Objectif : Tester le prolongement vers l'ouest de la zone minéralisée du décapage Buffam nord selon l'hypothèse de l'attitude sub-horizontale et la possibilité d'autres zones sous-jacentes.

Le trou a recoupé la séquence de rhyolites massives à bréchiques. Une zone faiblement hématitisé gris mauvâtre et contenant des traces de pyrite a été traversée de 27 à 47 m, suivi du dyke de lamprophyre repère qui avait également été recoupé dans la plupart des sondages antérieurs (sections 10000 et 10060 E). De 53 à 59 m, il s'agit à nouveau de rhyolite mais très peu altérée. Les analyses ne révèlent aucune anomalie aurifère pour ce trou.

8.3.3 Secteur Buffam ouest

Trou FV01-260 : (Az. : 110°, dip : -80°, 104,5m)

Objectif : Tester le prolongement vers l'est de l'intersection du FV98-241 (3.6g/t Au / 6.8 m) selon l'hypothèse de zones faiblement inclinées. De 0 – 46.3 m, le trou traverse une séquence dominée par les rhyolites massives avec des passées bréchiques et quelques niveaux d'andésite mineurs. Par la suite, il traverse une andésite massive jusqu'à 75.5 m, laquelle a subit une altération à magnétite-calcite-épidote-chlorite±hématite, injectée de veinules de quartz-calcite-hématite-chlorite-pyrite (<3%Py) qui s'étend de 66.0 à 75.5 m. De 75.5 à 98.3 m, le trou traverse une brèche rhyolitique faiblement altérée en épidote ±hématite, suivie d'une rhyolite massive jusqu'à 104.5 m. Bien qu'une zone d'altération faiblement pyritisée ait été recoupée, il n'est pas certain qu'elle constitue le prolongement de l'intersection de FV98-241. De plus, le dyke de lamprophyre repère n'a pas été rencontré, indiquant peut-être des déplacements causés par une éventuelle structure qui passerait entre les deux trous (faille N010°?). Les analyses n'ont retourné aucune teneur anomale pour ce sondage (<5ppb).

Trou FV01-261 : (Az. : 270° (planifié à 290° mais la foreuse s'est affaissée sur le côté, entraînant une déviation), dip : -81°, 80.4m)

Objectif : Tester le prolongement vers l'ouest de l'intersection du FV98-241 (3.6g/t Au / 6.8 m) selon l'hypothèse de zones faiblement inclinées, localisées au-dessus du dyke de lamprophyre repère.

De 5.4 à 64.9 m, le trou a recoupé une andésite massive silicifiée. De 6.7 à 16,3 m, l'andésite est altérée en silice-magnétite-hématite (teinte gris mauve) et injectées de veinules de quartz-calcite-chlorite±pyrite, incluant 50 cm à 40% de quartz et 3-4% Py tr.Cp. Les analyses ont retourné une cote de 5.27g/t Au / 1,25 m entre 15,10 et 16,35m et de 6,04g/t Au / 0,40m entre 38,35 et 38,75m. De 68.7 à 80.4 m, le trou traverse une brèche rhyolitique chloritisée contenant de traces à 3% de pyrite-pyrrhotite.

La zone d'altération faiblement minéralisée située entre 6.7 et 16.3 m s'alligne bien avec l'intersection du FV98-241 et la zone d'altération du FV01-260, donnant un pendage apparent de 25° vers l'est, compatible avec le pendage des veinules pyritisées sur le décapage Buffam nord et une zone de brèche à hématite-pyrite décapée cet automne au sud de Buffam (mon degré de confiance sur cette interprétation est de 80%).

300

Trou FV01-262 : (Az. : 290°, dip : -60°, 144m)

Objectif : Tester le potentiel de zones de minéralisation sub-horizontales au sud de Buffam.

De 2.3 à 28.5m, le trou recoupe des laves felsiques magnétiques, massives à bréchiques. De 28.5 à 37.1 : un dyke de lamprophyre. De 37.1 à 50.6, il s'agit d'une alternance de laves felsiques à intermédiaires et de cisaillements relativement intenses

(schistes à chlorite) d'attitude inconnue. Par la suite, le trou traverse une rhyolite massive jusqu'à 59.3 m, suivie d'andésite massive jusqu'à 77.3 m, suivie de rhyolite généralement bréchique jusqu'à 144 m. Une zone hématitisée rouge brique contenant de 1-3% de pyrite a été recoupée de 82.1 – 83.2, tandis qu'une zone d'altération \pm cisailée à hématite-silice-épidote-magnétite injectée de veinules de calcite-épidote-pyrite (tr.-1%) affecte la rhyolite de 98.1 à 117.5 m. Aucune teneur aurifère significative n'a été obtenue pour ce trou.

Interprétation des résultats, Buffam et Buffam ouest

Les résultats de forage autour de l'indice Buffam sont très décevants et semblent éliminer tout potentiel de volume à teneur économique dans les zones minéralisées connues. Pour Buffam Ouest, il est tentant de relier l'intersection de 5,27 g/t Au / 1,25m du trou FV01-261 avec celle de 3,6 g/t / 5,8 m du FV98-241, démontrant ainsi une certaine continuité géologique pour la zone. Malheureusement, celle-ci est fermée dans toutes les directions puisqu'elle atteint la surface près du collet du FV01-261 et qu'elle ne porte aucune teneur significative dans les trous FV01-260, FV98-243, B-8 et B-11. Cette interprétation de pendage apparent vers l'est semble correspondre à l'interprétation la plus plausible pour la zone Buffam, tel qu'illustrée sur les sections et compatible avec les veinules de pyrite mesurées sur le décapage Buffam Nord. Les zones Buffam et Buffam Ouest pourraient donc faire partie d'une série de zones en échelon sub-parallèles, à moins que l'une soit la contrepartie de l'autre, déplacée par une faille non identifiée

D'autres informations géologiques utiles ont été observées lors de ces forages; soit la présence d'un tuf laminaire à stratification sub-horizontale dans le trou FV01-259 et la présence d'andésites silicifiées dans les trous FV01-260, 261 et 262.

8.3.4 Secteur Eplett

Trou FV01-267 : (Az. : 059°, dip : -50°, 66m)

Objectif : Recouper la structure minéralisée hôte des veines aurifères rapportées dans les travaux de Eplett Mining entre 1949 et 59 tout en testant un linéament NO-SE et l'extension de l'indice de surface dynamité cet automne (2g/t Au).

Le sondage a recoupé deux faciès intrusifs, soit la trondjémite typique et une monzonite quartzifère qui affleure en surface. Une zone contenant 50% d'injections de veines de quartz gris bleuté (MoS2?) ou blanc, minéralisées en pyrite et chalcopyrite (1-3%) a été rencontrée entre 27,0 et 41,15 m, correspondant probablement à la structure ciblée. Les veines sont généralement massives et \pm saccharoidales, peuvent atteindre des largeurs supérieures à 1 m, et leurs bordures sont généralement fortement pyritisées. Elles font des angles variant entre 55 et 80° c.a. La roche encaissante des veines est altérée en hématite, séricite et silice. Entre 41 et 66 m, la trondjémite est relativement saine et dépourvue d'injections ou de minéralisations. Les résultats d'analyse ont retourné des teneurs fortement anomales en or, soit 0,8 g/t / 10 m entre 27 et 37 m, incluant 2,7 g/t / 25 cm provenant d'une veine de quartz contenant 2-3% Cp et 4.4 g/t / 65cm entre

35,95 et 36,55m provenant d'une inclusion mafique complètement pyritisée à l'intérieur d'une veine.

Une tentative de corrélation avec les veines rencontrées dans le trou 1949-5 situé au OSO sur la même section donnerait un pendage apparent de 10° vers l'OSO.

Trou FV01-268 : (Az. : 060°, dip : -65°, 140.5m)

Objectif : Tester la même structure que le trou FV01-267 sur une section 160 m au NNO du trou précédent où Eplett Mining avait obtenu ses meilleurs résultats (1950-2 : 19,5 g/t / 15cm; 1959-2 : 15,4 g/t? / 1,2m)

Le sondage a recoupé une zone minéralisée et injectée de dykes mafiques et de veines de quartz entre 89,3 et 108,3 m. Les dykes mafiques sont fortement altérés en magnétite-hématite-séricite-silice ±fucshite et contiennent de 1-15% de pyrite. Un intervalle particulièrement prometteur montre une veine de quartz bréchique d'un mètre contenant une forte proportion de fragments mafiques séricités complètement pyritisés (10-15% pyrite globalement). Le reste des veines est constitué de quartz blanc massif contenant des amas isolés de pyrite grossière. La trondjémite encaissante est surtout séricitée et silicifiée, injectée de 10-15% de veinules de quartz ±pyrite.

Les résultats d'analyse ont été fort décevants, n'atteignant que 1,7 g/t / 45cm.

Des mesures d'orientation de carottes ont permis de déterminer que la plupart des veines ont une attitude N110/35°. Sur la section, une telle attitude donnerait un pendage apparent de 26° vers le OSO, ce qui corrèle très bien avec les résultats des anciens trous.

Trou FV01-269 : (Az. : 063°, dip : -64°, 202m)

Objectif : Tester la même structure que le trou FV01-268 à 150 m au OSO sur la même section.

Le sondage a rencontré deux zones minéralisées qui tombent de part et d'autre de la projection anticipée de la zone rencontrée dans le trou 268. De 118,1 à 126,5m, la trondjémite est hématitisée et injectée de 10-15% de veinules de quartz et contient jusqu'à 3-7% de pyrite sur 1 m. Cette zone est d'apparence marginale comparativement aux zones rencontrées dans les trous 267 et 268. Une autre zone est située entre 176,8 et 180,8 m, constituée d'un dyke mafique cisaillé et pyritisé, suivi d'une roche métasomatique à silice-hématite contenant 10-15% de gros amas de pyrite rappelant la minéralisation de l'indice Buffam. Les analyses furent encore une fois très décevantes, la meilleure cote atteignant 380 ppb / 1m.

Interprétation des résultats, Eplett

Les sondages 267 et 268 ont recoupé une zone d'injections de veines de quartz et de dykes mafiques minéralisés importante, probablement la même que celle qui avait été découverte par Eplett Mining. En projetant les veines vers la surface selon le pendage apparent déduit de la section du FV01-268, soit 26° SO, on débouche environ sur le creux topographique NO-SE, et ce, sur les deux sections forées. Toutefois, les mesures obtenues sur les veines de quartz dans le trou 268 donnent l'attitude 110/35°, similaire à une des veines exposées sur le décapage de bord de route nettoyé cet automne. En acceptant des variations d'inclinaison entre 10° et 30° pour le système de veines, il est possible de relier les intersections des trous 267 et 268 selon cette orientation de 110°. Toutefois, la première hypothèse d'une zone de veines parallèles au linéament NO-SE me semble plus plausible et compatible avec notre interprétation du

linéament RG. En profondeur, il est possible que cette zone se divise en deux branches, ce qui expliquerait les deux zones minéralisées au lieu d'une seule dans le trou 269.

9 CONCLUSIONS ET RECOMMANDATIONS

La prospection a démontré une grande efficacité à générer des cibles aurifères et de métaux de base. Cela est dû à la forte densité d'affleurements, combiné avec une patine de surface qui masque la texture de la roche et qui nécessite de casser des surfaces fraîches. Les meilleurs résultats sont l'identification du linéament aurifère RG et la mise en évidence d'une zone de chloritisation avec stringers de chalcopyrite à l'indice Dawson Copper. Il serait donc primordial de poursuivre les objectifs de la campagne de prospection, soit de vérifier le potentiel du linéament NO-SE qui traverse l'extrémité ouest de la propriété et de la bordure de volcanites qui ceinturent le pluton de Flavrian au nord de la portion couverte.

9.1 Potentiel aurifère

Le décapage mécanique a révélé la présence de zones aurifères significatives le long du linéament RG, bien que le cœur de la structure n'ait pas été exposé dans plusieurs cas. Le meilleur résultat provient de la tranchée FL-00-24 où l'on a obtenu une section de 3,0 g/t / 5m d'un intrusif feldspathique chloritisé recoupé de veinules de pyrite. Les forages subséquents ont démontré que le linéament RG s'avère être une structure fragile NO-SE inclinée vers le SO (35-55°) comprenant des cisaillements injectés de quartz pyritisé et des imprégnations de pyrite sur environ 40 à 50 m d'épaisseur. Cette minéralisation est généralement anomale en or dans les centaines de ppb mais retourne parfois des teneurs riches atteignant 19,44 g/t / 45cm dans le trou 257. La structure pentée à 80° vers le NE telle qu'interprétée en combinant l'information du trou 256 avec celle de la tranchée FL-00-17 existe également et pourrait expliquer pourquoi le trou FV98-246 de Cambior n'aurait pas recoupé l'autre structure plus importante. Cette seconde structure est également minéralisée, hôte d'une intersection de 5,4 g/t / 0,9 m obtenue dans le trou 256.

La structure Eplett semble également être une structure fragile NO-SE inclinée vers le SO (20-30°) et les styles de minéralisation sont assez similaires, quoique plus restreintes aux veines de quartz. Les zones de cisaillements y sont également beaucoup plus restreintes et il semble que ce système soit plus en tension, à l'exception de la seconde zone minéralisée du trou 269. Du point de vue économique, les teneurs sont très marginales autant dans les forages de Eplett Mining que les nôtres et ne suggèrent pas la présence de gisements économiques à proximité. Toutefois, l'amplitude et le style de minéralisation de la zone sont très intéressants et n'excluent pas la possibilité d'un enrichissement plus loin le long de la même structure qui demeure ouverte aux deux extrémités et vers le SO.

Les résultats de forage dans le secteur de l'indice Buffam ont presque fermé toute possibilité de dépôt économique à proximité des zones connues. Le linéament 060-70° qui le traverse demeure intrigant et semble avoir été évité par tous les forages. Cette orientation semble favorable ailleurs sur la propriété et le long des corridors aurifères en Ontario. Il devrait à tout le moins être prospecté.

En résumé, l'absence de teneurs significatives ailleurs qu'à l'indice Buffam me font suggérer d'orienter l'exploration aurifère vers d'autres secteurs de la propriété. Je crois qu'il faut continuer de cibler les linéaments historiquement payant, soit les NO-SE et les N060-70° en priorisant les sites potentiels de dilatation et de contrastes de compétence. Une prospection ciblée vers les linéaments favorables combinée avec des forages de mort-terrain me semble être la meilleure approche.

9.2 Potentiel métaux de base

La portion SO de la propriété est occupée par des volcanites felsiques équivalentes aux successions hôtes des sulfures massifs du camp de Noranda à l'est du platon de Flavrian (Gibson & al., 1990). La compilation démontre qu'aucun effort sérieux n'a été tenté pour vérifier son potentiel en métaux de base. En effet, l'attitude des lithologies demeure indéterminée et on constate l'absence de couverture lithogéochimique systématique. Nos travaux autour de l'indice Dawson Copper ont permis de réaliser que des systèmes hydrothermaux volcanogènes cuprifères existent sur cette portion de la propriété, caractérisés par un essaim de dykes de QFp N-S à NNE concordant avec une zone de chloritisation intense et de stringers de pyrite-chalcopyrite, ainsi que par des amygdules et micro-fractures remplies de chalcopyrite un peu partout dans les volcanites du secteur. Il est primordial de raffiner l'image géologique de ces volcanites et de compléter un levé lithogéochimique systématique. A la lumière des résultats, des levés géophysiques pourront être effectués.



François Roy

Géologue M.Sc. Ing.

RÉFÉRENCES

- Constantin, B., 1998. Levé géologique Projet Flavrian (156). Été 1998.
- Couture, J.F., 2000. Projet Flavrian (156). Observations, réflexions et recommandations des travaux. Rapport interne de Cambior.
- Gibson, H. & Al., 1990 Volcanogenic massive sulphide deposits of the Noranda cauldron and shield volcano, Québec.
- Pelchat, C., 1998. Travaux de cartographie, décapage et compilation – automne/hiver 1997. Projet Flavrian (156).
- Pelchat, C., 1998. Rapport de la campagne de forage. Propriété Flavrian (156).
- Plante, L., 1996. Levé de polarisation provoquée. Propriété Flavrian (156 – Buffam), Canton Beauchastel.

TABLEAU 1 - DESCRIPTION DES TRAVAUX ANTÉRIEURS

Année	# GM	COMPAGNIE	DESCRIPTION	LOCALISATION
1939		Howey Gold Mines Ltd	8 sondages (H-20 à H-28) pour 2 033' (619.7 m)	Lots 22-23, rg I, Duprat
1942	6119 A-B	Noranda Mines	Tranchées et 12 sondages (B-1 à B-12) pour 1 687.4' (514.3 m) sur Indice Buffam	Lot 24, rg IX, Beauchastel
1945	5887	Governor Gold Mines Ltd	3 sondages (G-1 à G-3) pour 2 773' (845.2 m).	Lots 40-41, rg X, Beauchastel
	6031	Abenakis Mines Ltd	34 sondages (A-101 à A-134)	Lots 25-28, rg VIII, Beauchastel
	6181 A-B-C	Phelphs Gold Mines Ltd	37 sondages (P-1 à P-37) pour 12 055.3' (3 674.5 m) sur Indice Graham	Lots 48-49, rg II, Duprat
		Beau Pete Gold Mines Ltd	Réseau de lignes et levé géologique	Lots 25 à 32, rg IX, Beauchastel
1946	6510	Rico Rouyn Mines Ltd	8 sondages (RR-1A, RR-1 à RR-3, RR-B1, RR-2A, RR-1S, RR-2S) pour 3 032.4' (924.3 m)	Lots 34-35 et 37, rg IX, Beauchastel
	708-B	Emory Gold Mines	1 sondage de 990' (301.8 m)	Lot 40, rg II, Duprat
	6114 A-B	Beau Rand Gold Mines Ltd	4 sondages (BG-1 à BG-4) = 969' (295.4 m)	Lot 24, rg IX, Beauchastel
	1166	Eplett Mining & Development Co. Ltd	13 sondages sur Indice Eplett et les environs	Lots 29, 32 à 34, rg X, Beauchastel
1948	6114-B	Beau Rand Gold Mines Ltd	3 sondages (BG-5 à BG-7) pour 1 549' (472.1 m)	Lots 24-25, rg VIII, Beauchastel
1949	620 & 681A-B	Belkor Mines Ltd	Travaux d'exploration, tranchées et 4 sondages (BML-1 à BML-4) pour 1 093' (333.2 m) sur Indice Belkor	Lot 29, rg X, Beauchastel
	1166	Eplett Mining & Development Co. Ltd	5 sondages (1949-1 à 1949-5) pour 846' (257.9 m) Indice Eplett	Lot 31, rg X, Beauchastel
1950	6138	Eplett Mining & Development Co. Ltd	4 sondages (1950-2 à 1950-5) pour 1 322' (402.9 m) Indice Eplett	Lot 30, rg X, Beauchastel
	782	Gamble & Co.	6 sondages (CP-14 à CP-18 et DL-11895, DL-11896) pour 537' (163.7 m) sur la propriété Cécile Pretty	Lots 37 à 39, rg I, Duprat
	661	Habitant Gold Mines Ltd	19 sondages (HG-1 à HG-19) pour 12 236.1' (3 729.6 m)	Lots 43 à 45, rg X, Beauchastel
1951	1670-B	Knobhill Gold Mines Ltd	12 sondages (5-51 à 16-51)	Lots 37-38, rg I; lots 46-47, rg II; lots 32-33-36-37-40-41-42, rg III, Duprat
1955	3430	Belfast Mines Ltd	1 sondage pour 228' (69.5 m)	Lot 37, rg I, Duprat
1956	4211	Elvue Mines Ltd	2 sondages (EM-1, EM-2) pour 1 006' (306.6 m)	Lots 46-47, rg I, Duprat
1959	9390	Eplett Mining & Development Co. Ltd	11 sondages (1959-1 à 1959-11) pour 2121.8' (646.7 m) sur l'indice Eplett	Lots 29 à 31, rg X, Beauchastel
1962	12148	Lee-Poirier Claims	Travaux de cartographie (indice Buffam).	Lots 22 à 25, rg IX (1/2N) – rg X (1/2S), Beauchastel
1963	13293	Eplett Mining & Development Co. Ltd	3 sondages (E-1 à E-3) pour 1070' (326.1 m) sur Indice Eplett	Lots 31-32, rg X, Beauchastel
	13439	Lenmac Mines Ltd	Tranchées et 10 sondages (L-1 à L-10) pour 1 008.5' (307.4 m) effectués sur Indice Lenmac	Lots 29-30, rg IX, Beauchastel
			2 sondages (L11-L12) pour 502' (153 m) forés plus à l'ouest	Lot 27, rg IX, Beauchastel
1964	14771	Newrich Exploration Ltd	Travaux de géologie et 3 sondages	Lots 40 à 43, rg IX, Beauchastel
1965	17064	Noranda Mines	3 sondages (W-1 à W-3) pour 1 667' (508.1 m) sur la propriété John Wichtacz Claim	Lots 15 et 18, rg IX, Beauchastel

TABLEAU 1 - DESCRIPTION DES TRAVAUX ANTRIEURS

Année	#GM	COMPAGNIE	DESCRIPTION	LOCALISATION
1966	20090 19581	Dasson Copper Corporation Ltd	Option de l'indice Wichtacz et tranchées	Lot 26, rg IX, Beauchastel
	18069	Cicci Claim	Décapage sur l'indice Buffam	Lot 24, rg IX, Beauchastel
1967	20920	Dasson Copper Corporation Ltd	5 sondages (D-1 à D-5) pour 725.5' (221.1 m) sur Indice Wichtacz	Lot 26, rg IX, Beauchastel
	20656	Noranda Exploration Company Ltd	Coupe de lignes, prospection & tranchées – Option Wichtacz	Lots 21 à 26, rg VIII, Beauchastel
	20979	Dasson Copper Corporation Ltd	Tranchées (dynamitage) sur l'indice Wichtacz	Lot 26, rg IX, Beauchastel
1968	22289	Noranda Exploration Company Ltd	3 sondages (W-68-1 à W-68-3) pour 1 181' (360 m) sur Option Wichtacz	Lots 21 à 29, rg VIII, Beauchastel
1969	24788 27216	East Bay Gold Ltd	Décapage au sud de l'indice Buffam	Lots 23-24, rg IX, Beauchastel
	25515	Madsen Red Lake Gold Mines	1 sondage (MRL-6) totalisant 122 pieds (37.2 m).	Lot 21, rg IX, Beauchastel
1974	30055	Falconbridge Copper Ltd, Division Lac Dufault	5 sondages (EF-1 à EF-4 et EF-3A) pour 2 098' (639.5 m)	Lots 47-48, rg I, Duprat
1978	SOQUEM		Levés géophysiques aéroportés: Mag., E.M.H., T.B.F. (1: 10 000) par Relevés Géophysique Inc.	Sur toute la propriété
			Levés géophysiques terrestres: Mag., E.M.H., T.B.F. (1: 2 400) effectués par Géophysique R.M. Lee	Bloc A 25 à 28, V, Duprat; Bloc B 37 à 40, II, Duprat; Bloc C 30-31, III, Duprat; Bloc D 40 à 44, X, Beauchastel
			Levés géophysiques terrestres: Mag., E.M.H. (1: 2 400)	Bloc E: 23 à 26, IX, Beauchastel
1979	SOQUEM		Levé géologique de reconnaissance, prospection et lithogéochimie (1: 10 000)	sur toute la propriété
1980	SOQUEM		Levés géologiques de détail (1: 2 500) et levés géophysiques terrestres : Mag, T.B.F., P.P. (1 : 2 500)	Bloc 3C 29 à 32 (1/2 N) III, Duprat Bloc 4F/5F 48, I & 48-49, II, Duprat Bloc 5A 17 à 19, I, Duprat Bloc 4B/5B 20 à 25, II, Duprat Bloc 8B/8C 25 à 29, VIII, Beauchastel
			Test géophysique P.P. (1: 2 500) - Géophysique R.M. Lee.	Bloc 4B/5B: 20 à 25, II, Duprat
			Étude altération du granite de Flavrian – L. Kennedy (1980 à 1982)	
			Étude spéciale de la mine Win-Eldrich par P. Trudel	
			17 sondages (80-1 à 80-17) pour 2 750 m au nord-est de la mine Win-Eldrich	Bloc 3C: 29 à 30, III, Duprat

TABLEAU 1 - DESCRIPTION DES TRAVAUX ANTÉRIEURS

Année	#GM	COMPAGNIE	DESCRIPTION	LOCALISATION
1981		SOQUEM	Levés géologiques détail (1: 2 500) et levés géophysiques terrestres P.P., Mag, T.B.F. (1: 2 500)	Bloc 2C/2D nord mine Win-Eldrich Bloc 3C/4C sud Win-Eldrich Bloc 5A 17 à 19, (1/2S), I, Duprat Bloc 5C 26 à 28, (1/4N), I, Duprat Bloc 5E/5F 46 à 48, I, et 46-49, II Duprat. Bloc 6E 42 à 45, X, Beauchastel. Bloc 7B/7C 23 à 31, IX, Beauchastel
			Levés P.P. (1: 2 500) par Géophysique R.M. Lee.	Bloc 4B/5B: 20 à 25, II, Duprat Bloc 3C/4C sud Win-Eldrich Bloc 2C/2D nord Win-Eldrich
			Travaux d'exploration	Blocs 4B, 2C/2D, 4A/4B, 5A, 5C et 7B/7C.
			13 sondages (81-18 à 81-29, 81-3A) pour 2301.5 m 11 des sondages sont localisés le long de l'extension nord de la structure aurifère de Win-Eldrich. Les 2 autres trous visaient à expliquer des anomalies géophysiques	Lots 29-30, rg: III, Duprat Lots 29-24, rg III-IX Duprat- Beauchastel
1982		SOQUEM	Levés P.P.	Blocs St-Jude, Quésabé et lac Méritens.
			2 sondages (82-30-82-31) pour 398.5 m. L'objectif était de vérifier l'extension sud de la structure aurifère Win-Eldrich	Lot 28, rg: II, Duprat.
			Travaux de prospection axés sur la brèche de St-Jude et Échantillonnage de l'humus prélevé dans différents secteurs de la propriété pour l'or et l'arsenic	
			Étude spéciale du secteur de la mine Eldrich, bref résumé de la géologie du pluton de Flavrian et évaluation du potentiel des minéralisations de type porphyrique à molybdène par Lawrence Kennedy	
1983		SOQUEM	31 sondages (83-32 à 83-59) pour 5916.7 m. 20 sondages ont été effectués dans le secteur de la mine Eldrich et les 11 autres, forés au sud de la mine Eldrich	Lots 27-28, rg II, Duprat
			Cartographie et évaluation de l'indice West Gold et des propriétés adjacentes Tagami et Elder par T. Setterfield.	
1984		SOQUEM	Travaux de prospection, de géologie et 11 sondages (84-60 à 84-70) pour 1 919 m	Lots 26-27, rg II, Duprat Lots 23-25, rg III, Duprat
			Cartographie détaillée (1: 500) des affleurements situés à l'ouest de la mine Eldrich et dans le secteur de la brèche St-Jude	

TABLEAU 1 - DESCRIPTION DES TRAVAUX ANTERIEURS

Année	# GM	COMPAGNIE	DESCRIPTION	LOCALISATION
1985		SOQUEM	Travaux de prospection et 8 sondages (85-71 à 85-78) pour un total de 1 905 m	Lot 27, rg II, Duprat Lot 32, rg III, Duprat Lots 31 à 33, rg IV, Duprat
1986		SOQUEM	Synthèse travaux d'exploration sur la propriété Flavrian Projet de fin d'étude: Étude de la distribution de l'or dans le batholite de Flavrian, Louis Sabourin	
1987		Mines Sullivan Inc. Cambior	Travaux de cartographie Levé héliporté combiné: magnétique, électromagnétique et T.B.F. par Aerodat Ltd Compilation (1: 5 000 et 1: 20 000) 33 sondages (FV87-79 à 111) pour 7701.39 m, prospection de linéaments géophysiques et photogéologique	Propriété Eldrich Propriété Flavrian Zone 1 sud mine Eldrich Zone 2 N-E mine Quésabé Zone 3 ouest mine Quésabé Zone 4 ouest mine Eldrich. Zone 5 indices Eplett, Lenmac et Belkor
1988		Cambior	Étude structurale de la mine Eldrich: hypothèses et modèle. Cartographie (1: 5 000) 36 sondages (FV88-112 à 147) pour 7 984.3 m	Nord-est de la propriété Secteurs de l'indice #100, NE de la Mine Quésabé, et secteur nord du lac Méritens
1989		Cambior	36 sondages (FV89-148 à 181, 89-1-89-2) pour 7518.79 m Travaux de décapage. Cartographie (1: 5 000).	Secteurs des indices #100, #114 et #89. Secteur SE du lac Nora. Secteur du lac Méritens. Secteur NW de la propriété. Faille Mouilleuse. Extension nord de la mine Pierre-Beauchemin Indices Nora Nord de la propriété
			Levé magnétométrique, cartographie (1:100) avec lithogéochimie et échantillonnage de l'humus sur indices minéralisés.	Sud-est du lac Nora
1990		Cambior	2 sondages (FV90-182 et 183) pour 618.44 m	Faille Mouilleuse et Mine Pierre-Beauchemin
1991		Cambior	Levé P.P. effectué par Géola Conseil en Exploration Cartographie, décapage mécanique indice Sylvie, levé P.P. et 10 sondages (FV91-184 à 193) pour 1 084.93 m	Lots 22-23, rg I-II, Duprat Secteur de la brèche de St-Jude
1992		Cambior	Activité de synthèse le porphyre à Au-Mo de St-Jude, A. Carrier	

TABLEAU 1 - DESCRIPTION DES TRAVAUX ANTERIEURS

Année	#GM	COMPAGNIE	DESCRIPTION	LOCALISATION
1992		Cambior	16 sondages (FV92-194 à 209) pour 3 015.22 m Cartographie (1: 5 000) et échantillonnage systématique de la brèche de St-Jude. Cartographie des intrusions situées dans ou en bordure du pluton de Flavrian dans le but de vérifier l'hypothèse de minéralisations de type porphyrique	Indices Sylvie et #114, brèche de St-Jude Unité de Méritens, diorite d'Eldrich, intrusions au sud du lac Lebrun et près de la mine Elder
1993		Cambior	36.5 km de levé EM T.B.F. par Val-d'Or Géophysique 17 sondages (FV93-210 à 226) pour 7 737.29 m Échantillonnage sur la zone d'altération de l'indice Buffam	Lots 9 à 16, rg IV, Duprat Mine Quésabé, Zone 114-200, structure NW, structure NS, zone Nora, zone McDougall
		Exploration Cambiex	Rapport de qualification propriété Flavrian par Géologica	
		Cambior	Réinterprétation levé magnétique héliporté (Aerodat, 1987) par Lambert Géosciences Ltée	
1994		Cambior	5 sondages (FV94-227 à 232) pour 2 397.95 m Activité de synthèse : Descriptions des indices aurifères 114/200 en marge du pluton de Flavrian dans la sous-province de l'Abitibi, propriété Flavrian, Denis Vaillancourt Levés magnétiques et électromagnétiques de type T.B.F. au sol par Val-d'Or Géophysique	Lots 26, 41-42, rg 1, lot 35, rg V, Duprat et mine Quésabé Sur une grande portion de la propriété Flavrian
1995		Cambior	Cartographie et échantillonnage	Indice Buffam
1996		Cambior	3 sondages (FV96-233 à 235) pour 1 054.91 m 2 décapages mécaniques, cartographie détaillée et échantillonnage	Lot 35, rg II, Duprat Indice Buffam
1996		Cambior	Coupe de lignes portion nord de la grille Buffam (24.4 km), de la grille lac Lebrun (13.9 km) et de la grille SE du lac Flavrian (41.7 km). 3 levés P.P. effectués sur la grille Buffam (17 km), la grille lac Lebrun (13 km) et la grille SE du lac Flavrian (36 km) par Géola Conseil en Exploration	
1997		Cambior	Coupe de lignes portion sud de la grille Buffam (20.6 km) et levé P.P. portion sud de la grille Buffam (17 km) par Bélanger Géophysique. L'interprétation du levé P.P. de la grille Buffam a été faite par Lambert Géosciences Ltée	

métaux2000

ÉCH	ESTANT	NORDANT	GEOCODE	AU_PPB	AU_MOY	AU_GPT1	AU_GPT2	CU	CU_PCT	PB	ZN	MO	AG
6851	325644	5347042	AND, Cb, 1%Cp	7	0,00	0,00	0,00	695	0,00	2	56	1	1,1
6852	325616	5347112	DAC, Hm, 1-2%PyCp	169	0,00	0,00	0,00	0	0,00	0	0	0	0,0
6853	325640	5347163	Qz, 1-2%PyCpGn	740	0,74	0,69	0,79	0	0,00	0	0	0	0,0
6854	325587	5347438	DAC, Hm, tr.Py	5	0,00	0,00	0,00	7	0,00	4	42	2	0,2
6855	325728	5347628	RHY,hm, tr.PyCp	39	0,00	0,00	0,00	0	0,00	0	0	0	0,0
6856	325669	5347682	DAC,v.QzHm, tr-Py	5	0,00	0,00	0,00	10	0,00	3	11	1	0,2
6857	325457	5347880	DAC, tr-1%Py	5	0,00	0,00	0,00	36	0,00	2	86	2	0,2
6858	325270	5348250	DAC, Py stgrs/diss	5	0,00	0,00	0,00	32	0,00	4	14	2	0,2
6859	324892	5347978	DAC, tr-PyCp	5	0,00	0,00	0,00	56	0,00	12	103	4	0,2
6860	324892	5347978	DAC, tr-PyCp	5	0,00	0,00	0,00	31	0,00	11	144	1	0,2
6861	324884	5348039	DAC, tr-Py	5	0,00	0,00	0,00	6	0,00	4	47	2	0,2
6862	324972	5348061	DAC, tr-Py	5	0,00	0,00	0,00	47	0,00	3	46	2	0,2
6863	325222	5348123	DAC, tr-PyCp	15	0,00	0,00	0,00	163	0,00	3	18	1	0,2
6864	325222	5348123	DAC, Ep, tr-Py	5	0,00	0,00	0,00	39	0,00	4	64	2	0,2
6865	325425	5348188	tuf lap, Si, tr-PyCp	5	0,00	0,00	0,00	45	0,00	7	101	2	0,2
6866	325251	5348397	DAC-RHY, tr-Cp	5	0,00	0,00	0,00	195	0,00	24	64	3	0,9
6867	325255	5348829	RHY, 5-10%Py, 2%Cp	292	0,00	0,00	0,00	10000	1,66	10	876	21	34,3
6868	325770	5347658	DAC, Si, tr-1%Py	24	0,00	0,00	0,00	632	0,00	5	3609	2	1,4
6869	325716	5347683	RHY, (hm), tr-Py	12	0,00	0,00	0,00	363	0,00	2	52	1	0,2
6870	325716	5347683	RHY, (hm), tr-Py	5	0,00	0,00	0,00	489	0,00	2	52	2	0,2
6871	325775	5347728	RHY, (hm), tr-Py	5	0,00	0,00	0,00	7	0,00	3	72	1	0,2
6872	325812	5347666	RHY, Hm, 20%Py	5	0,00	0,00	0,00	548	0,00	4	25	15	0,2
6873	325752	5347695	RHY, Hm+, tr-PyCp	5	0,00	0,00	0,00	44	0,00	4	14	1	0,2
6874	324756	5347885	DAC, 5-10%Py	5	0,00	0,00	0,00	30	0,00	2	49	9	0,2
6875	324758	5347868	RHY, Hm+, 2%Py	133	0,00	0,00	0,00	10	0,00	4	41	3	0,2
6876	324926	5347264	RHY, (hm), tr-Py	5	0,00	0,00	0,00	20	0,00	6	42	1	0,2
6877	324907	5347057	DAC-RHY, (Si), tr.Py	5	0,00	0,00	0,00	20	0,00	2	34	1	0,2
6901	326104	5347706	TRON, Hm+, 1%Py	27	0,00	0,00	0,00	9	0,00	4	9	1	0,2
6902	326093	5347871	TRON, Cl+, 1%Py	5	0,00	0,00	0,00	36	0,00	5	18	1	0,2
6903	326077	5348001	TRON, Cl+, 5%Py vns	32	0,00	0,00	0,00	0	0,00	0	0	0	0,0
6904	326390	5347234	DAC, tr-2%Py	259	0,00	0,00	0,00	16	0,00	4	35	2	0,2
6905	326390	5347234	DAC, Qz++Cl++, tr-2%Py	11	0,00	0,00	0,00	5	0,00	4	49	4	0,2
6906	326390	5347234	DAC, Qz++Cl++, tr-1%Py	39	0,00	0,00	0,00	3	0,00	4	75	1	0,2
6907	326392	5347246	DAC, Cl++Hm+, 1-2%Py	5	0,00	0,00	0,00	6	0,00	2	17	2	0,2
6908	326319	5347247	DAC, Cl++ox., 1%Py	5	0,00	0,00	0,00	90	0,00	4	112	11	0,2
6909	326319	5347247	DIO Qz, Cl++ox.1%Py1%Cp	99	0,00	0,00	0,00	2717	0,00	6	64	4	1,7
6910	326318	5347252	DIO Qz, Cl++, 2%Py	5	0,00	0,00	0,00	8	0,00	3	38	2	0,2
6911	326314	5347260	DIO Qz, Cl++, 2-3%Py	5	0,00	0,00	0,00	11	0,00	4	36	1	0,2
6912	326366	5346972	DAC, 1-2%Py	5	0,00	0,00	0,00	7	0,00	2	26	2	0,2
6913	326377	5347018	RHY bx, Cl+Hm+, 1-5%Py(Cp)	5	0,00	0,00	0,00	103	0,00	28	60	58	0,2
6914	324935	5346665	RHY bx, Cl++Hm++, 3-10%Py	5	0,00	0,00	0,00	75	0,00	4	78	16	0,2
6951	325661	5347012	DAC, Cb, tr.Py	5	0,00	0,00	0,00	7	0,00	3	31	1	0,2

métaux2000

ECH	ESTANT	NORDANT	GEOCODE	AU_PPB	AU_MOY	AU_GPT1	AU_GPT2	CU	CU_PCT	PB	ZN	MO	AG
6952	325411	5347196	RHY, tr-Py vns	5	0,00	0,00	0,00	4	0,00	6	60	2	0,2
6953	325418	5347314	RHY, tr-0,5%Py	5	0,00	0,00	0,00	6	0,00	3	66	1	0,2
6954	325492	5347373	RHY, tr-Py	5	0,00	0,00	0,00	3	0,00	3	63	4	0,2
6955	325422	5347563	RHY, tr-Py	14	0,00	0,00	0,00	11	0,00	3	43	1	0,2
6956	325531	5347728	RHY, tr-Py	5	0,00	0,00	0,00	26	0,00	7	447	1	0,2
6957	325826	5347539	RHY, Ak, 1%Py	2	0,00	0,00	0,00	0	0,00	0	0	0	0,0
6958	325726	5347623	RHY, ox., 5%Py	2800	2,80	2,81	2,78	0	0,00	0	0	0	0,0
6959	325669	5347682	RHY, 2%Cp, 1%spU.	34	0,00	0,00	0,00	0	0,00	0	0	0	0,0
6960	325591	5347748	RHY, tr-Py	4	0,00	0,00	0,00	0	0,00	0	0	0	0,0
6961	325584	5347763	DIO, tr-CpPy	5	0,00	0,00	0,00	50	0,00	2	63	1	0,2
6962	325460	5347848	QzAk, 2%Cp2%spU.	4	0,00	0,00	0,00	0	0,00	0	0	0	0,0
6963	325460	5347848	DAC, 1%Py	5	0,00	0,00	0,00	13	0,00	6	57	1	0,2
6964	325177	5348022	QzFp, tr-Py	5	0,00	0,00	0,00	16	0,00	5	41	1	0,2
6965	325161	5348082	DAC, tr-Py	5	0,00	0,00	0,00	45	0,00	4	85	3	0,2
6966	325161	5348082	2%Py	5	0,00	0,00	0,00	16	0,00	4	70	3	0,2
6967	325195	5348118	DAC, Hm, tr-PySpU.	5	0,00	0,00	0,00	65	0,00	5	76	1	0,2
6968	325263	5348130	RHY, Py	5	0,00	0,00	0,00	8	0,00	7	63	2	0,2
6969	325315	5348168	Qz, tr-Py	2706	2,33	2,56	2,11	4	0,00	7	14	102	7,4
6970	325312	5348159	Qz, 8%spU.tr-Py	61	0,00	0,00	0,00	7	0,00	7	26	2	0,2
6971	325591	5347767	DAC	6	0,00	0,00	0,00	258	0,00	4	67	1	0,2
6972	325049	5347626	Qz	27	0,00	0,00	0,00	5	0,00	3	2	2	0,3
6973	325049	5347626	RHY, tr-Py	5	0,00	0,00	0,00	22	0,00	3	46	3	0,2
6974	325049	5347626	RHY, tr-Py	5	0,00	0,00	0,00	20	0,00	7	23	2	0,2
6975	324912	5347755	tr-Mo?	5	0,00	0,00	0,00	14	0,00	1024	10	2	11,8
6976	324937	5347746	RHY, tr-Py	5	0,00	0,00	0,00	32	0,00	196	64	1	1,4
6977	324880	5347759	RHY, Si, tr-Py	5	0,00	0,00	0,00	3	0,00	8	94	1	0,2
6978	324882	5347759	RHY, 1%Py	8	0,00	0,00	0,00	43	0,00	10	83	1	0,2
6979	324886	5347759	RHY, Sr, 2-3%Py	18	0,00	0,00	0,00	22	0,00	19	82	2	0,2
6980	325262	5347998	DAC, Si, 4%Py	5	0,00	0,00	0,00	47	0,00	5	83	1	0,2
6981	326245	5348256	TRO, tr-Py	5	0,00	0,00	0,00	4	0,00	3	6	1	0,2
6982	325059	5348011	DAC, 3%Py	5	0,00	0,00	0,00	24	0,00	2	78	2	0,2
6983	325064	5348020	DAC, tr-Py	5	0,00	0,00	0,00	17	0,00	5	79	3	0,2
6984	325312	5348275	GAB, tr-Py	5	0,00	0,00	0,00	97	0,00	4	41	1	0,2
6985	325371	5348300	GAB	5	0,00	0,00	0,00	85	0,00	2	45	9	0,2
6986	325570	5348398	FEL, 3%Py	378	0,00	0,00	0,00	6	0,00	6	9	8	0,2
6987	325570	5348398	FEL	486	0,00	0,00	0,00	6	0,00	4	9	4	0,3
6988	325726	5347623	FEL, 1-2%Py, tr-Cp	43	0,00	0,00	0,00	952	0,00	4	39	1	0,4
6989	325720	5347666	FEL, 3%Py	5	0,00	0,00	0,00	15	0,00	2	34	1	0,2
6990	325720	5347666	FEL, 3%Py	5	0,00	0,00	0,00	8	0,00	2	25	2	0,2
6991	325738	5347679	RHY, 0,5%Cp	5	0,00	0,00	0,00	102	0,00	2	22	4	0,2
6992	325690	5347693	RHY, Hm++, tr-Py	35	0,00	0,00	0,00	260	0,00	2	36	3	0,2
6993	325677	5347693	RHY, HmAk, 2%Py	23	0,00	0,00	0,00	38	0,00	3	40	3	0,2

métaux2000

ÉCH	ESTANT	NORDANT	GEOCODE	AU_PPB	AU_MOY	AU_GPT1	AU_GPT2	CU	CU_PCT	PB	ZN	MO	AG
6994	325685	5347706	RHY, tr-PyCp	5	0,00	0,00	0,00	432	0,00	2	73	4	0,2
6995	325699	5347699		5	0,00	0,00	0,00	70	0,00	2	58	2	0,2
6996	324758	5347888	DAC, 1%Py	5	0,00	0,00	0,00	12	0,00	49	138	12	0,2
6997	324911	5347270	2%Py	5	0,00	0,00	0,00	11	0,00	3	66	1	0,2
6998	324768	5346999	RHY, 1-2%Py	5	0,00	0,00	0,00	42	0,00	6	17	4	0,2
6999	324762	5346997	RHY	5	0,00	0,00	0,00	30	0,00	10	34	1	0,2
7000	324745	5347011	Qz, tr-Py	5	0,00	0,00	0,00	381	0,00	3	17	2	0,2
7001	326101	5347642	TRON, Hm+ox., tr-1%Py	5	0,00	0,00	0,00	17	0,00	4	26	1	0,2
7002	326079	5347673	TRON, AkOx., 1-2%Py	8	0,00	0,00	0,00	0	0,00	0	0	0	0,0
7003	326069	5347787	TRON, tr-1%Py	6	0,00	0,00	0,00	87	0,00	4	27	2	0,2
7004	325808	5347901	RHY/DAC, Qz++, tr-1%Py	5	0,00	0,00	0,00	9	0,00	3	14	2	0,2
7005	326968	5346733	RHY, Qz++Cl, tr-1%Py	5	0,00	0,00	0,00	8	0,00	7	29	3	0,2
7006	326968	5346733	v, Qz, Hm++, tr-3%Py(Mo)	5	0,00	0,00	0,00	0	0,00	0	0	0	0,0
7007	326968	5346733	RHY/DAC, Hm++, tr-2%Py	5	0,00	0,00	0,00	0	0,00	0	0	0	0,0
7008	326924	5346924	TRON, Hm+, 2-3%PySpU.	52	0,00	0,00	0,00	0	0,00	0	0	0	0,0
7009	326912	5346911	TRON, Hm+, 2-3%Py	212	0,00	0,00	0,00	0	0,00	0	0	0	0,0
7010	326881	5346953	TRON, Hm+, 1-3%Py	-1	0,00	0,00	0,00	0	0,00	0	0	0	0,0
7011	326506	5347073	DAC FpAm, 1%Py	8	0,00	0,00	0,00	0	0,00	0	0	0	0,0
7012	326348	5347276	DAC FpAm, Qz++Hm+, tr-2%Py	5	0,00	0,00	0,00	6	0,00	2	13	2	0,2
7013	326348	5347276	DAC FpAm, Qz++Hm+, 1-3%Py	5	0,00	0,00	0,00	5	0,00	2	29	1	0,2
7014	326186	5347255	DAC7, Cl++, tr-2%Py(Cp)	5	0,00	0,00	0,00	31	0,00	4	46	1	0,2
7015	326241	5347276	v, Qz, Cl+, 2-3%Py	5	0,00	0,00	0,00	8	0,00	23	39	3	0,2
7016	326274	5347263	RHY/DAC, Cl+, 1-2%Py	5	0,00	0,00	0,00	11	0,00	2	28	2	0,2
7017	326273	5347275	DAC/RHY bx, Cl+Ox., 5-25%Py(Cp)	567	0,00	0,00	0,00	10000	3,72	19	149	5	10,6
7018	326267	5347295	DAC/RHY bx, 2%Py vns	18	0,00	0,00	0,00	7	0,00	3	65	2	0,2
7019	326268	5346909	DAC, Cl+Ox., tr-2%Py	5	0,00	0,00	0,00	5	0,00	3	49	1	0,2
7020	326256	5347008	RHY bx, ClOx., 1-3%Py	5	0,00	0,00	0,00	53	0,00	2	32	4	0,2
7021	326256	5347008	RHY bx, ClOx., 1-2%Py	5	0,00	0,00	0,00	7	0,00	2	33	2	0,2
7022	326256	5347007	RHY bx, Qz++, tr-2%Py	5	0,00	0,00	0,00	15	0,00	2	31	2	0,2
7023	326262	5347011	v, Qz, HmAkOx., 1-2%PyCp	220	0,00	0,00	0,00	718	0,00	13	14	5	1,4
7024	326262	5347010	RHY bx, Cl+Ox., 4-5%Py	5	0,00	0,00	0,00	37	0,00	3	27	4	0,2
7025	326263	5347012	RHY bx, ClOx., 2-3%Py	5	0,00	0,00	0,00	546	0,00	7	41	7	0,2
7026	326261	5347011	RHY bx, Cl+, 3-5%Py	5	0,00	0,00	0,00	21	0,00	7	31	35	0,2
7027	326255	5347004	MAF dyk, Cl+Ox., 2-5%Py	19	0,00	0,00	0,00	4	0,00	9	104	121	0,2
7028	326253	5347003	RHY bx/DAC, Qz+Cl, tr-2%Py	5	0,00	0,00	0,00	4	0,00	3	31	2	0,2
7029	326251	5346999	RHY bx, Qz++Cl, 3-4%Py	21	0,00	0,00	0,00	16	0,00	7	59	3	0,2
7030	326251	5346994	RHY bx, Ox., 2-4%Py	16	0,00	0,00	0,00	6	0,00	2	36	1	0,2
7031	326225	5347053	TRON, Ox., 2-15%SpU.	36	0,00	0,00	0,00	106	0,00	2	30	2	0,2
7032	326312	5346989	RHY bx, Ox., tr-2%Py	5	0,00	0,00	0,00	15	0,00	3	42	2	0,2
7033	324478	5346810	BAS, 2-3%Py	5	0,00	0,00	0,00	112	0,00	2	63	5	0,2
7034	324464	5346809	v, Qz, Hm+Ox., tr-2%PyCp	5	0,00	0,00	0,00	190	0,00	3	81	1	0,2
7035	324508	5346811	RHY bx, Qz++Hm, 1-2%Py	52	0,00	0,00	0,00	7	0,00	3	65	1	0,2

métaux2000

ÉCH	ESTANT	NORDANT	GEOCODE	AU	PPB	AU	MOY	AU	GPT1	AU	GPT2	CU	CU	PCT	PB	ZN	MO	AG
7036	324508	5346811	RHY bx, Hm+Cl, 1-3%Py	250	0,00	0,00	0,00	73	0,00	2	62	1	0,2					
7037	324509	5346814	RHY bx, Hm+Cl, tr-2%Py	8	0,00	0,00	0,00	13	0,00	3	69	1	0,2					
7038	324593	5346807	v, Qz, tr-Py	5	0,00	0,00	0,00	4	0,00	2	15	1	0,2					
7039	324594	5346808	RHY bx, Hm+Cl, 2-4%Py	36	0,00	0,00	0,00	21	0,00	2	31	1	0,2					
7040	324590	5346808	v, Qz, tr-CpPy	14	0,00	0,00	0,00	344	0,00	6	12	1	0,2					
7041	324589	5346805	RHY/DAC, Cl+Hm+Qz, 3-5%Py	854	0,00	0,00	0,00	3	0,00	2	74	2	0,2					
7042	324568	5346797	v, Qz, Cl, 1-2%Py SpU.	154	0,00	0,00	0,00	62	0,00	8	16	3	0,4					
7043	324559	5346795	RHY, Qz+Hm+, 2-4%Py 1%Cp	5	0,00	0,00	0,00	62	0,00	2	56	2	0,2					
7044	324556	5346805	RHY, HmCl, 1-3%Py	27	0,00	0,00	0,00	11	0,00	2	27	1	0,2					
7045	325025	5347095	RHY, HmOx., 2-5%Py	5	0,00	0,00	0,00	8	0,00	2	91	1	0,2					
7046	325022	5347098	RHY, ClSr, 1-2%Py	5	0,00	0,00	0,00	7	0,00	2	124	1	0,2					
7047	324965	5346989	v, Qz	5	0,00	0,00	0,00	12	0,00	5	3	2	2,3					
7048	324960	5347010	v, Qz	5	0,00	0,00	0,00	6	0,00	3	8	1	0,2					
7049	324929	5346666	RHY bx, Cl+Hm, 5-7%Py	11	0,00	0,00	0,00	48	0,00	4	86	49	0,2					
7050	324933	5346664	RHY bx, Cl+Hm, 5-10%Py	5	0,00	0,00	0,00	26	0,00	3	63	6	0,2					
EP-01	327443	5348538	v, QzPy	386	0,00	0,00	0,00	0	0,00	0	0	0	0,0					
EP-02	327445	5348539	v, QzPy	121	0,00	0,00	0,00	0	0,00	0	0	0	0,0					
EP-03	327437	5348539	v, QzPy	111	0,00	0,00	0,00	0	0,00	0	0	0	0,0					
EP-04	327436	5348544	TRON, fit, Py+	308	0,00	0,00	0,00	0	0,00	0	0	0	0,0					
EP-05	327451	5348550	TRON, cis, Sr, Py+	1257	1,16	1,16	0,00	0	0,00	0	0	0	0,0					
EP-06	327451	5348550	TRON, Cb□Hm, 1-2%Py ds vns CISrQz	108	0,00	0,00	0,00	17	0,00	11	29	13	0,3					
EP-07	327451	5348550	TRON, □HmAb?FpK?, 10-15%Py stgrs	2470	2,02	2,02	0,00	30	0,00	20	69	7	1,6					
EP-08	327451	5348550	TRON, SIAbFpK?□Hm, 6-8%Py stgrs	2590	2,46	2,46	0,00	16	0,00	8	41	3	0,9					
EP-09	327451	5348550	TRON, SrHm?ou FpK?, 2-3%Py	673	0,00	0,00	0,00	11	0,00	6	38	3	0,2					
EP-10	327451	5348550	TRON, Ab?FpK?(Hm), 7-8%Py stgrs	2120	2,03	2,03	0,00	20	0,00	17	46	6	1,4					
FL-00-01	325809	5347622	AND Si, Py+	5	0,00	0,00	0,00	1086	0,00	7	89	6	1,0					
FL-00-02A	325855	5347454	AND HmSi, 1-5%Py	11	0,00	0,00	0,00	9	0,00	13	17	3	1,0					
FL-00-02B	325855	5347434	v, Qz(Cl), 2-3%Py	410	0,00	0,00	0,00	167	0,00	10	21	4	1,0					
FL-00-02C	325855	5347425	AND Si, 4-5%Py	116	0,00	0,00	0,00	28	0,00	8	39	27	0,0					
FL-00-02D	325855	5347414	bx Hm, 20%Qz, 5-6%Py	49	0,00	0,00	0,00	13	0,00	25	46	4	0,0					
FL-00-02E	325855	5347425	DAC bx □HmCl, 3-5%Py	92	0,00	0,00	0,00	4	0,00	7	37	2	0,2					
FL-00-02F	325856	5347429	DAC Hm+, 10%Py	534	0,00	0,00	0,00	6	0,00	10	52	3	0,7					
FL-00-02G	325855	5347429	bx ClQz, 20%DAC Hm+Py+	75	0,00	0,00	0,00	6	0,00	10	52	3	0,4					
FL-00-02H	325854	5347430	DAC □fra, Hm+, 5%Py	57	0,00	0,00	0,00	6	0,00	10	6	2	0,3					
FL-00-02I	325855	5347432	DAC Hm+, 10%Py	55	0,00	0,00	0,00	7	0,00	6	12	2	0,2					
FL-00-02J	325853	5347432	DAC Hm, fra Cl, 5%Py	57	0,00	0,00	0,00	5	0,00	11	11	2	-0,2					
FL-00-02K	325855	5347429	v, Qz bx, ClHm, tr-Py	5	0,00	0,00	0,00	10	0,00	-2	6	2	-0,2					
FL-00-04A	325611	5347087	AND □SiHm, 3-5%Py	1304	1,10	0,00	0,80	7	0,00	12	15	132	1,0					
FL-00-04B	325613	5347099	AND Si+Hm, vns Qz, 7-10%Py	1361	1,50	0,00	1,60	9	0,00	13	12	21	1,0					
FL-00-04C	325615	5347086	AND Si+, 5-7%Py	2912	3,11	0,00	2,80	8	0,00	7	23	107	1,0					
FL-00-04D	325607	5347109	DAC Py+	1073	1,16	1,16	0,00	0	0,00	0	0	0	0,0					
FL-00-04E	325607	5347111	DAC Py+	3008	3,67	3,67	0,00	0	0,00	0	0	0	0,0					

métaux2000

ÉCH	ESTANT	NORDANT	GEOCODE	AU_PPB	AU_MOY	AU_GPT1	AU_GPT2	CU	CU_PCT	PB	ZN	MO	AG
FL-00-04F	325606	5347113	v.QzPy	10	0,00	0,00	0,00	0	0,00	0	0	0	0,0
FL-00-04G	325605	5347112	DAC Py+	354	0,00	0,00	0,00	0	0,00	0	0	0	0,0
FL-00-04H	325599	5347102	v.QzPy	1986	2,23	2,23	0,00	0	0,00	0	0	0	0,0
FL-00-04I	325601	5347104	DAC Py+	1002	1,03	1,03	0,00	0	0,00	0	0	0	0,0
FL-00-04J	325612	5347067	v.QzPy	16	0,00	0,00	0,00	0	0,00	0	0	0	0,0
FL-00-04K	325612	5347067	DAC Py+	798	0,00	0,00	0,00	0	0,00	0	0	0	0,0
FL-00-04L	325613	5347068	DAC Py+	174	0,00	0,00	0,00	0	0,00	0	0	0	0,0
FL-00-04M	325614	5347072	DAC Py+	87	0,00	0,00	0,00	0	0,00	0	0	0	0,0
FL-00-04N	325613	5347075	DAC Py+	302	0,00	0,00	0,00	0	0,00	0	0	0	0,0
FL-00-05A	326225	5346902	FEL bx Fp, 5% amy Py(Cp)	-5	0,00	0,00	0,00	3293	0,00	4	34	0	0,8
FL-00-06A	326299	5346697	AND bx, (fol)	-5	0,00	0,00	0,00	14	0,00	4	47	0	-0,1
FL-00-07A	326971	5346737	AND, Py+	6	0,00	0,00	0,00	8	0,00	18	217	7	0,1
FL-00-07B	326971	5346737	v.QzPy / AND Si, (Py)	5	0,00	0,00	0,00	54	0,00	198	17	4	1,0
FL-00-07C	326971	5346737	v.QzPyCpGn	29	0,00	0,00	0,00	1188	0,00	3327	44	175	44,0
FL-00-09A	325916	5346780	AND bx, vns QzPy sub-h.	11	0,00	0,00	0,00	35	0,00	24	51	107	0,6
FL-00-10A	325742	5346774	QFp mas	-5	0,00	0,00	0,00	5	0,00	5	28	0	-0,1
FL-00-11A	325658	5346787	AND Fp bx	-5	0,00	0,00	0,00	57	0,00	6	54	0	0,2
FL-00-12A	325561	5346715	RHY? Fp, mas, amy Cp	-5	0,00	0,00	0,00	139	0,00	3	50	0	0,1
FL-00-13A	325181	5346751	vol, Hm+Si, vns Hm, tr-3%Py	5	0,00	0,00	0,00	188	0,00	8	36	4	0,0
FL-00-14A	324903	5346723	RHY rose	-5	0,00	0,00	0,00	9	0,00	6	77	0	-0,1
FL-00-15A	325684	5347474	RHY mas/fb	-5	0,00	0,00	0,00	4	0,00	3	17	0	-0,1
FL-00-16A	326259	5347259	CIQzPyCp	181	0,00	0,00	0,00	20000	2,30	10	102	3	6,0
FL-00-16B	326262	5347220	RHY Cl, Py+Cp	135	0,00	0,00	0,00	8945	0,00	10	147	4	4,0
FL-00-17A	326709	5347820	TRON, Ak+, vns QzAkPy, 3-5%Py	33	0,00	0,00	0,00	37	0,00	4	81	8	0,0
FL-00-17B	326709	5347820	TRON, Ak+Cl+, 1-2%Py	5	0,00	0,00	0,00	15	0,00	3	46	6	0,0
FL-00-17C	326709	5347820	MAFdyk, Ak+(HmSr), vns Py	91	0,00	0,00	0,00	4	0,00	6	81	7	0,2
FL-00-18A	326645	5347902	TRON, Ak, 10%Py, 5%Hm	15346	16,56 0,00	13,50 18,63 0,00	0,00	33	0,00	10	15	5	2,0
FL-00-18B	326604	5347917	TRON, Ak, 5%Py	138	0,00	0,00	0,00	9	0,00	5	22	2	0,0
FL-00-18C	326635	5347913	TRON, AkSi, 10-15%vns Qz, Py++	229	0,00	0,00	0,00	11	0,00	12	15	1	0,5
FL-00-19A	326529	5348047	I1gf, HmAk, 5-7%Py	5	0,00	0,00	0,00	29	0,00	4	11	3	0,1
FL-00-20A	326477	5348133	MAFdyk, Ak++Si+, vns Qz□Hm, 5%Py	10329	10,00 0,00	9,80 10,18 0,00	592	0,00	28	65	5	9,0	
FL-00-20B	326477	5348133	MAFdyk, 2-4%Py	262	0,00	0,00	0,00	417	0,00	4	107	1	0,0
FL-00-20C	326477	5348133	MAFdyk, Sr+, 10%Py (vns mas 1cm)	153	0,00	0,00	0,00	13	0,00	6	8	2	0,2
FL-00-20D	326477	5348133	TRON ou FEL dyk, 5-7%Py	2441	2,50 0,00	2,50	0,00	29	0,00	9	18	2	1,0
FL-00-22A	326516	5348061	TRON Ak, vns Hm□Py, ox.	20	0,00	0,00	0,00	2	0,00	2	12	1	0,2
FL-00-23A	326770	5347392	TRON, Cl, vns Py	11	0,00	0,00	0,00	141	0,00	4	14	13	0,2
FL-00-24A	326770	5347757	TRON, Ak, 10%Py vns/amás, ox.	3480	3,48 0,00	3,36	3,60	0	0,00	0	0	0	0,0
FL-00-24C	326816	5347729	v.Qz/TRON	5	0,00	0,00	0,00	28	0,00	2	14	2	0,2
FL-00-25A	326784	5347690	vns Qz, Cl	5	0,00	0,00	0,00	11	0,00	2	5	1	0,2
FL-00-26A	326921	5347714	TRON, cl, Cl, 1%Py	10	0,00	0,00	0,00	342	0,00	6	398	11	0,2
FL-00-26B	326921	5347714	TRON, tr-0.5%Py	44	0,00	0,00	0,00	7	0,00	3	16	1	0,2
FL-00-26C	326950	5347662	TRON, 1-5%Py	5767	6,00 0,00	6,00	0,00	1278	0,00	23	82	3	6,0

métaux2000

ÉCH	ESTANT	NORDANT	GEOCODE	AU_PPB	AU_MOY	AU_GPT1	AU_GPT2	CU	CU_PCT	PB	ZN	MO	AG
FL-00-27A	327054	5347607	vns QzPy	785	0,00	0,75	0,82	0	0,00	0	0	0	0,0
FL-00-27C	327073	5347565	v.Qz, 10%Py□Cp	307	0,00	0,00	0,00	0	0,00	0	0	0	0,0
FL-00-30A	326341	5348258	TRON, fra, SpU+	25	0,00	0,00	0,00	63	0,00	2	10	2	0,2
FL-00-32A	326077	5348431	TRON, AkHm, 2-4%Py	7	0,00	0,00	0,00	10	0,00	5	14	7	0,2
FL-00-32B	326066	5348438	TRON cis, vns Hm, 1-3%Py	6	0,00	0,00	0,00	43	0,00	2	5	5	0,2
FL-00-32C	326055	5348445	bloc TRON, □Hm, 5%Py	605	0,00	0,00	0,00	6	0,00	2	27	1	0,0
FL-00-33A	325941	5347569	RHY Qz, nod PyCp	19	0,00	0,00	0,00	998	0,00	0	61	0	0,5
FL-00-34A	326010	5347376	bx SiHm, vns Qz, 1-2%Py	-5	0,00	0,00	0,00	9	0,00	6	5	5	0,2
FL-00-34B	326010	5347376	vol ox., amas Py+	38	0,00	0,00	0,00	7	0,00	5	36	1	-0,2
FL-00-35A	326625	5347629	TRON, Cl, 5-8% Py diss/stgrs	1953	1,86	1,86	0,00	55	0,00	7	59	-1	1,1
FL-00-35B	326625	5347629	v.Qz, 3-5%Py stgrs	891	0,00	0,00	0,00	26	0,00	14	9	2	2,0
FL-00-36A	325790	5347300	bloc AND FpAm, SiHm, Py vns/diss	9	0,00	0,00	0,00	7	0,00	-2	18	3	-0,2
MC-1	325300	5349931	vol fra+ Hm/Cl, 5%Py stgrs	4425	0,00	4,07	0,00	0	0,00	0	0	0	0,0
MC-2	325301	5349931	Cl+, 7-10%Py	11954	0,00	12,06	0,00	0	0,00	0	0	0	0,0
MC-3	325301	5349943	vol fra+, Hm/Cl, 5-8%Py dis/vns	1570	0,00	1,64	0,00	0	0,00	0	0	0	0,0
MC-4	325302	5349943	vol Hm+(Cl), 5%Py diss	873	0,00	0,00	0,00	0	0,00	0	0	0	0,0
MC-5	325303	5349943	vol Si(Hm), 3-5%Py diss	1265	0,00	1,23	0,00	0	0,00	0	0	0	0,0
MC-6	325305	5349943	vol Hm, fra Cl+, 3-5%Py vns	1277	0,00	1,19	0,00	0	0,00	0	0	0	0,0

Analyses totales terrain 2000

ÉCH	AZI	ESTANT	NORDANT	GÉOCODE	AFFLEUREMENT	AU30	AUGPT	CU	PB	ZN	AG	SIO2	TIO2	AL203
65528		326209,5	5347056	AND	Dawson Cu	-5		11		50	0,0	70,02	0,56	12,94
65529		326213,0	5347153	AND	Dawson Cu	-5		8		57	0,0	66,39	0,60	13,32
65530		326203,1	5347253	AND	Dawson Cu	-5		13		30	0,0	74,46	0,55	12,75
65531		326213,9	5347349	RHY?Cl	Dawson Cu	-5		24		113	0,0	71,07	0,52	11,86
65532		326262,7	5347378	RHY Cl+	Dawson Cu	-5		7		37	0,0	76,15	0,23	10,92
65533		326253,6	5347319	Qp mas	Dawson Cu	-5		8		46	0,0	75,27	0,15	11,35
65534		326270,3	5347282	RHY Cl++	Dawson Cu	-5		8		79	0,0	72,01	0,20	9,48
65535		326246,1	5347233	RHY	Dawson Cu	-5		17		51	0,0	73,34	0,23	11,81
65536		326266,3	5347222	Qp mas	Dawson Cu	-5		36		48	0,0	77,83	0,14	11,45
65537		326268,1	5347184	RHY?Cl	Dawson Cu	6		118		86	0,0	71,21	0,42	9,30
65538		326269,1	5347133	AND	Dawson Cu	-5		9		50	0,0	69,84	0,54	12,69
65539		326269,1	5347079	AND	Dawson Cu	5		10		46	0,0	71,09	0,54	13,06
65540		326315,2	5347051	RHY	Dawson Cu	-5		19		29	0,0	76,75	0,19	11,59
65541		326308,2	5347137	RHY?Cl	Dawson Cu	-5		12		39	0,0	71,98	0,59	13,24
65542		326315,5	5347236	RHY bx Cl+	Dawson Cu	-5		32		89	0,0	50,57	0,34	16,44
65543		326382,7	5347223	RHY	Dawson Cu	-5		17		30	0,0	75,50	0,25	11,77
65544		326313,7	5347316	RHY Cl+	Dawson Cu	-5		25		49	0,0	72,13	0,23	11,92
FL-00-04D		325616,8	5347100	POR FpAm	FL-00-04D	6		60	5	59	0,0	69,57	0,53	13,10
FL-00-05A		326225,8	5346903	FEL Bx	FL-00-05A	-5		3293	4	34	0,0	71,85	0,50	11,76
FL-00-06A		326301,8	5346697	INT Bx	FL-00-06A	-5		14	4	47	0,0	68,93	0,51	11,99
FL-00-10A		325745,7	5346776	POR QzFp	FL-00-10A	-5		5	5	28	0,0	76,37	0,19	11,73
FL-00-11A		325662,2	5346770	INT Bx Fp	FL-00-11A	-5		57	6	54	0,0	70,41	0,52	12,46
FL-00-12A		325565,6	5346719	FEL Fp	FL-00-12A	-5		139	3	50	0,0	71,16	0,53	12,19
FL-00-14A		324907,8	5346728	RHY Hm	FL-00-14A	-5		9	6	77	0,0	76,01	0,18	10,44
FL-00-15A		325683,5	5347478	RHY fb/mas	FL-00-15A	-5		4	3	17	0,0	80,35	0,18	10,58
FL-00-16C		326281,1	5347343	RHY Cl+	FL-00-16C	-5		12	6	76	0,0	68,47	0,24	11,57
FL-00-33A		325938,7	5347571	V1 Qz, nodPyCp	FL-00-33A	19		998		61	0,0	75,25	0,20	11,34
PROSP A		325969,6	5347271	POR FpAm	PROSP A	-5		6	4	54	0,0	71,25	0,54	12,53
65801				AND mas	01-260; 49m							69,43	0,46	12,63
65802				RHY?DAC?mas	01-260; 22,4m							76,15	0,31	10,41
65803				AND Si+	01-261; 30 m							75,83	0,31	9,98
65804				RHY? Cl+	01-261; 78m							67,83	0,86	10,46
65805				RHY?mas mag	01-262; 24,5m							74,73	0,22	11,65
65806				AND mas	01-262; 75m							63,3	0,96	13,86
65807				RHY mas Cl+	01-264; 106m							62,08	0,21	11,99

Analyses totales terrain 2000

ÉCH AZI	FE2O3	MNO	MGO	CAO	NA2O	K2O	P2O5	LOI	TOTAL	CR2O3	ZR	100TiO2/Zr	10TiO2/Al2O3
65528	7,23	0,12	2,13	0,43	3,31	1,20	0,12	2,19	100,26	-0,01	264	0,21	0,43
65529	8,91	0,13	3,36	0,34	2,15	1,57	0,13	3,12	100,03	-0,01	285	0,21	0,45
65530	3,47	0,06	1,27	0,38	6,56	0,21	0,12	1,08	100,96	0,02	284	0,19	0,43
65531	6,35	0,16	2,54	0,42	4,88	0,22	0,11	1,96	100,11	0,01	249	0,21	0,44
65532	5,84	0,07	2,20	0,07	0,15	2,26	0,04	2,47	100,43	-0,01	286	0,08	0,21
65533	4,07	0,07	2,49	0,03	1,11	2,56	0,03	2,42	99,59	0,01	310	0,05	0,13
65534	9,91	0,17	3,16	0,08	1,60	0,60	0,02	2,36	99,64	0,02	201	0,10	0,21
65535	4,94	0,06	1,83	0,39	6,23	0,71	0,04	0,60	100,24	0,03	277	0,08	0,19
65536	2,11	0,04	0,60	0,34	6,98	0,17	0,02	0,49	100,23	0,03	367	0,04	0,12
65537	11,34	0,21	2,24	0,46	2,67	0,28	0,11	1,73	100,00	0,02	217	0,19	0,45
65538	7,20	0,13	2,06	0,27	5,64	0,09	0,12	1,71	100,32	0,01	261	0,21	0,43
65539	6,18	0,09	1,47	0,40	6,11	0,18	0,12	1,25	100,53	0,02	267	0,20	0,41
65540	3,80	0,05	1,39	0,22	4,69	0,69	0,04	1,31	100,78	0,02	320	0,06	0,16
65541	3,82	0,06	2,23	0,26	6,61	0,14	0,12	1,34	100,43	0,01	294	0,20	0,45
65542	15,16	0,15	6,72	0,30	5,43	0,94	0,05	3,63	99,78	-0,01	399	0,09	0,21
65543	2,08	0,03	1,06	0,26	6,95	0,50	0,02	0,48	98,96	0,02	346	0,07	0,21
65544	5,97	0,07	2,94	0,09	0,53	2,65	0,04	2,77	99,36	-0,01	251	0,09	0,19
FL-00-04D	5,02	0,05	1,30	1,52	6,09	0,99	0,12	1,58	99,89	0,02	274	0,19	0,40
FL-00-05A	6,20	0,09	0,93	1,12	4,95	0,17	0,12	1,34	99,07	0,03	250	0,20	0,43
FL-00-06A	9,20	0,08	1,98	0,16	0,94	2,42	0,12	2,71	99,07	0,01	259	0,20	0,43
FL-00-10A	2,88	0,04	0,82	0,39	4,77	1,30	0,04	0,94	99,49	0,02	285	0,07	0,16
FL-00-11A	4,89	0,06	2,61	0,44	4,89	0,51	0,12	1,84	98,78	0,01	264	0,20	0,42
FL-00-12A	4,26	0,08	0,62	2,72	5,83	0,39	0,12	1,33	99,25	0,03	273	0,19	0,43
FL-00-14A	3,55	0,11	0,90	0,42	4,45	1,30	0,04	1,02	98,44	0,02	274	0,07	0,17
FL-00-15A	2,34	0,02	0,75	0,25	5,10	0,53	0,05	0,57	100,75	0,03	273	0,07	0,17
FL-00-16C	9,95	0,08	3,26	0,03	0,02	2,17	0,04	3,28	99,13	0,01	329	0,07	0,21
FL-00-33A	4,47	0,05	1,12	0,67	4,89	0,36	0,03	1,04	99,47	0,03	273	0,07	0,18
PROSP A	5,99	0,07	1,00	0,81	5,24	0,93	0,12	1,10	99,61	0,02	279	0,19	0,43
65801	6,51	0,09	2,22	0,79	4,33	0,78	0,13	1,68	99,08	0,02	200	0,23	0,36
65802	4,77	0,04	0,57	0,64	4,82	0,57	0,07	0,6	99,02	0,04	297	0,10	0,30
65803	5,72	0,07	1,44	0,23	2,86	0,99	0,06	1,32	98,87	0,02	297	0,10	0,31
65804	7,1	0,1	4,84	1,63	2,69	1,93	0,3	1,52	99,29	0,02	178	0,48	0,82
65805	5,79	0,03	0,54	0,63	4,91	0,64	0,05	0,85	100,1	0,04	300	0,07	0,19
65806	8,64	0,17	1,62	2,7	6,92	0,52	0,33	0,37	99,44	0,02	156	0,62	0,69
65807	4,52	0,12	10,19	2,09	1,96	0,03	0,03	5,95	99,22	0,02	388	0,05	0,18

Echantillonnage en rainures 2000

Ech.	Affleurement	Au30 (ppb)	Au moy(g/t)	Au1(g/t)	Au2(g/t)
7052	?	21			
7053	FL-00-18	249			
7054	FL-00-18	21			
7055	FL-00-18	15			
7056	FL-00-18	8			
7057	FL-00-18	15			
7058	FL-00-18	5			
7059	FL-00-18	24			
7060	FL-00-18	218			
7061	FL-00-18	10936	10,87	10,87	
7062	FL-00-18	933			
7063	FL-00-18	31			
7064	FL-00-18	8			
7065	FL-00-18	87			
7066	FL-00-18	279			
7067	FL-00-18	28			
7068	FL-00-18	14			
7069	FL-00-18	5			
7070	?	40			
7071	FL-00-18	-5			
7072	FL-00-18	-5			
7073	FL-00-18	-5			
7074	FL-00-18	147			
7075	FL-00-18	-5			
7076	FL-00-18	-5			
7077	FL-00-20	178			
7078	FL-00-20	18			
7079	FL-00-20	6			
7080	FL-00-20	5			
7081	FL-00-20	125			
7082	FL-00-20	7			
7083	FL-00-20	6			
7084	FL-00-20	14			
7085	FL-00-24	806	0,81		0,81
7086	FL-00-24	2302	2,25	2,25	2,25
7087	FL-00-24	1133	1,20	1,33	1,06
7088	FL-00-24	1787	2,02	2,09	1,95
7089	FL-00-24	4191	4,16	4,04	4,28
7090	FL-00-24	3111	3,23	3,39	3,06
7091	FL-00-24	3629	3,83	3,57	4,09
7092	FL-00-24	2579	2,54	2,61	2,47
7093	FL-00-24	2845	3,17	3,15	3,18
7094	FL-00-24	95			
7095	FL-00-24	476			
7096	FL-00-24	9			
7097	FL-00-24	625	0,34		0,34
7098	FL-00-24	2475	2,64	2,60	2,67
7099	FL-00-24	794	0,93		0,93
7100	FL-00-24	3228	3,59	3,69	3,49
7101	FL-00-24	44			
7102	FL-00-24	1442	1,67	1,42	1,91
7103	FL-00-24	6149	6,68	6,17	7,19
7104	FL-00-24	876	0,67		0,67
7105	FL-00-24	468			
7106	FL-00-24	41			
7107	FL-00-18	267			

Echantillonnage en rainures 2000

Ech.	Affleurement	Au30 (ppb)	Au moy(g/t)	Au1(g/t)	Au2(g/t)
7108	FL-00-18	8			
7109	FL-00-20	1054	0,81	0,81	
7110	FL-00-20	66			
7111	FL-00-20	28			
7112	FL-00-20	8			
7113	FL-00-20	807			
7114	FL-00-20	788			
7115	FL-00-20	625			
7116	FL-00-17	144			
7117	FL-00-17	141			
7118	FL-00-17	34			
7119	FL-00-17	33			
7120	FL-00-17	-5			
7121	FL-00-17	90			
7122	FL-00-17	46			
7123	FL-00-17	25			
7124	FL-00-17	58			
7125	FL-00-17	554			
7126	FL-00-17	120			
7127	FL-00-17	595			
7128	FL-00-17	46			
7129	FL-00-17	99			
7130	FL-00-17	31			
7131	FL-00-17	17			
7132	FL-00-17	17			
7138	FL-00-04	39			
7139	FL-00-04	542			
7140	FL-00-04	756			
7141	FL-00-04	1665	1,41	1,41	
7142	FL-00-04	1514	0,90	0,90	
7143	FL-00-04	829			
7144	FL-00-04	234			
7145	FL-00-04	160			
7146	FL-00-04	49			
7147	FL-00-04	699			
7148	FL-00-04	252			
7149	FL-00-04	15			
65501	FL-00-04	1842	1,83	1,83	
65502	FL-00-04	416			
65503	FL-00-04	869			
65504	FL-00-04	898			
65505	FL-00-04	626			
65506	FL-00-04	847			
65507	FL-00-04	2386	2,41	2,41	
65508	FL-00-04	1834	1,62	1,62	
65509	FL-00-04	223			
65510	FL-00-04	186			
65511	FL-00-04	719			
65512	FL-00-04	165			
65513	FL-00-04	173			
65514	FL-00-04	6			
65515	FL-00-04	6			
65516	FL-00-04	8			
65519	FL-00-02	241			
65520	FL-00-02	186			

EXPLORATION AZIMUT
JOURNAL DE SONDAGE

Nom de projet : FLAVRIAN
Numéro de trou : FV01-256

EXPLORATION AZIMUT
JOURNAL DE SONDAGE

NUMERO DU TROU FV01-256

DE (M)	A (M)	DESCRIPTION	Echant	DE (M)	A (M)	Long. (M)	Au gr/t	Ag gr/t	Cu ppm	Zn ppm	Mo ppm	Pb ppm	
0.00	1.20	MT											
1.20	10.15	I1E mag, ±Cl/Hm Cb TRONDJÉMITE MAGNÉTIQUE VARIABLEMENT ALTÉRÉE EN CHLORITE, HÉMATITE (Spéc.) ET CARBONATES DE FER, TRACES n 1% DE PYRITE. Roche intrusive massive, grenue (0.5-1mm) à texture intergranulaire, composée de 50-60% de plages quartzofeldspathiques serties d'aggrégats ferromagnésiens chloritisés (vert) ou hématitisés (gris). Aspect général tacheté gris moyen ± verdâtre. Fracturation localement abondante, remplie de veinules de quartz ou de carbonates de fer oxydés. Les carbonates sont également en petits cristaux disséminés. Les altérations en chlorite ou en hématite forment deux faciès distincts. On observe également de tr.-1% de pyrite en petits (<1mm) amas disséminés. 2.70 - 3.70 (65001): tr.Py 6.00 - 7.50 (65002): tr.-0.5%Py, vnsQzCb oxydées/50cm	65926 65001 65927 65928 65002 65929 65930	1.70 2.70 3.70 5.05 6.00 7.50 9.00	2.70 3.70 5.05 6.00 7.50 9.00 10.15	1.00 1.00 1.35 0.95 1.50 1.50 1.15	0.02 0.03 -0.01 0.01 0.09 -0.01 0.01						
10.15	14.65	I1 gf INTRUSIF FELSIQUE MICROGRENU. Roche felsique, massive et microgrenue, très dure (non rayable), gris moyen. Localement 10-20% de petits aggrégats verdâtres chloriteux, accompagnés d'un réseau de fissuration chloritisé, alors qu'ailleurs la roche est plutôt grise et magnétique, ce qui suggère qu'elle a subit les mêmes altérations que la trondjémite. On observe localement des traces de pyrite. 10.15 - 11.60 (65003): tr.Py	65003 65931 65932 65933	10.15 11.60 12.95 14.25	11.60 12.95 14.25 15.10	1.45 1.35 1.30 0.85	0.05 0.01 -0.01						
14.65	52.60	I1E mag, mas, ±Cl/Hm TRONDJÉMITE MAGNÉTIQUE MASSIVE VARIABLEMENT CHLORITISÉE OU HÉMATISÉE (Spéc.) Même unité que le premier intervalle, toutefois, le faciès chloritisé domine nettement et il n'y a pas de carbonatisation notable et la roche est généralement très peu fracturée. Les sulfures sont généralement inexistantes. 15.10 - 15.32 (65004): veine de pyrite massive de 1 cm à 45° c.a. accompagnée de disséminations dans un faciès gris clair hématitisé 16.50 - 18.00 (65005): Pyrite en rubans et diss	65004 65934 65005 65935 65936 65006 65007 65008	15.10 15.32 16.50 18.00 19.50 28.50 34.05 41.25	15.32 16.50 18.00 19.50 20.70 29.80 35.65 42.70	0.22 1.18 1.50 1.50 1.20 1.30 1.60 1.45	0.76 0.01 5.17 -0.01 0.01 0.03 0.01 -0.01						

EXPLORATION AZIMUT
JOURNAL DE SONDAGE

NUMERO DU TROU FV01-256

DE (M)	A (M)	DESCRIPTION	Echant	DE (M)	A (M)	Long. (M)	Au gr/t	Ag gr/t	Cu ppm	Zn ppm	Mo ppm	Pb ppm	
		avec tr.chalcopyrite, associées à 2 cisaillements chloriteux de 5 à 10cm, 30°c.a. 28.50 - 29.80 (65006): Idem le long d'un micro-cis de 2 cm. 34.05 - 35.65: tr.Py ass. à plans Cl+ 41.25 - 42.70 (65008): tr.Py											
		50.65 52.60 Hm FACIÈS HÉMATITISÉ. Dominance du faciès hématitisé, aspect gris clair avec plages irrégulières foncées magnétiques, apparition d'un réseau de fissures foncées à 50-80°c.a. qui pourrait correspondre au joint NO-SE observé en tranchée. 50.65 - 52.15 (65009): Nuages de MtHm, tr.Py	65009	50.65	52.15	1.50	0.01						
52.60	59.90	LAMP DYKE MAFIQUE CALCITIQUE Dyke mafique calcitique tardif, massif, gris moyen moucheté. Composé de 30-40% de petits agrégats micacés mafiques (chlorite-biotite) dans une pâte gris clair calcitique. Contact sup. à 75°, folié; inf. à 45° c.a.											
59.90	69.50	I1E mag, Hm, tr-3%Py TRONDJÉMITE MAGNÉTIQUE HÉMATITISÉE (Spéc.iTer.), TR.-3% PYRITE Similaire aux faciès hématitisés décrits plus haut à l'exception d'une teinte rosée subtile reliée à l'apparition d'hématite terreuse, devenant moins abondante en s'éloignant du dyke de lamprophyre. Traces à 3% de pyrite en agrégats de 1 mm à 1 cm, généralement associée à un réseau de fissuration chloriteux, souvent à 70° c.a. Comme pour l'hématite, elle est surtout abondante dans l'intervalle suivant immédiatement le lamprophyre. 59.10 - 61.50 (65010): 2-3%Py en amas diss ou en chapelets le long de fissures chloriteuses. 61.50 - 63.00 (65011): tr.-1%Py 63.00 - 64.50 (65012): tr.-1%Py 65.85 - 67.35 (65013): tr.-1%Py	65010 65011 65012 65937 65013 65938 65939 65940	59.90 61.50 63.00 64.50 64.50 65.85 67.35 68.25 69.40	61.50 63.00 64.50 65.85 67.35 68.25 69.40 70.45	1.60 1.50 1.50 1.35 1.50 1.50 1.15 1.05	1.23 0.01 0.02 0.01 0.06 -0.01 0.01 0.62						

EXPLORATION AZIMUT
JOURNAL DE SONDAGE

NUMERO DU TROU FV01-256

DE (M)	A (M)	DESCRIPTION	Echant	DE (M)	A (M)	Long. (M)	Au gr/t	Ag gr/t	Cu ppm	Zn ppm	Mo ppm	Pb ppm	
69.50	75.30	<p>bx QzCl₁Hm, tr-3%Py</p> <p>ZONE DE BLOCHE TECTONIQUE // QUARTZ, CHLORITE, tHÉMATITE, TR.-3%PYRITE</p> <p>Trondjémite fortement bréchifiée dans la zone de faille correspondant au linéament NO-SE investigué. Alternance de faciès; soit un faciès dominant composé d'amas quartzeux sub-arrondis baignant dans une matrice verte chloriteuse, non minéralisé, découpé par des plans de faille striés; un faciès variablement hématisé rose saumon t silicifié et parcouru de fractures chloriteuses alléatoires. Ce faciès hématitique comprend également une faible minéralisation en pyrite sous forme d'aggrégats disséminés ou en rubans.</p> <p>Mesures avec carotte orientée:</p> <p>70.45m: 270/76: ruban pyriteux 2-3mm et front d'altération</p> <p>72.00m: 268/72: Plan Chloriteux strié. Les stries sub-hor. et les coches indiquent un mouvement dextre.</p> <p>72.10m: 276/70 et 278/60 (même fabrique qu'à 72.00m)</p> <p>72.30m: 270/74 idem</p> <p>72.32m: 290/70 Plan plus uniforme</p> <p>70.45 - 71.35 (65014): tHm/Si/Cl, 2-3%Py</p> <p>71.35 - 72.30 (65015): Bx, tSi/Cl/Hm, tr.-1%Py</p> <p>72.30 - 73.25 (65016): Bx Cl</p> <p>73.25 - 74.85 (65017): fra, tH, tr.Py</p>	65014 65015 65016 65017	70.45 71.35 72.30 73.25	71.35 72.30 73.25 74.85	0.90 0.95 0.95 1.60	5.74 0.06 0.01 0.01						
75.30	81.00	<p>I1E mag, (Cl/Hm)</p> <p>TRONDJÉMITE MAGNÉTIQUE FAIBLEMENT CHLORITISÉE OU HÉMATITISÉE (Spéc. tTer). Unité similaire aux précédentes. Aucun sulfure.</p> <p>77.30 - 78.10 (65018): Faciès rose hématitisé avec taches noires de magnétite, carbonatisé.</p> <p>81.00: Fin du trou. La structure cible a été recoupée et nous avons stratigraphiquement atteint la fin du trou FV98-246.</p> <p>78.10 80.15</p> <p>MAF dyk, fol, Cc</p> <p>DYKE MAFIQUE CALCITIQUE, FOLLIÉ.</p> <p>Dyke similaire au précédent, bien que</p>	65018	77.30	78.10	0.80	0.02						

EXPLORATION AZIMUT
JOURNAL DE SONDAGE

NUMERO DU TROU FV01-256

DE (M)	A (M)	DESCRIPTION	Echant	DE (M)	A (M)	Long. (M)	Au gr/t	Ag gr/t	Cu ppm	Zn ppm	Mo ppm	Pb ppm	
		plus follié et de texture plus flou. Contact inf. à 55-60° ca.											
81.00		FIN DU TROU Nombre total d'échantillons : 33 Longueur totale échantillonée : 40.60											

EXPLORATION AZIMUT
JOURNAL DE SONDAGE

Nom de projet : FLAVRIAN
Numéro de trou : FV01-257

LOCALISATION: GRILLE : LIGNE : 21+73S STATION : 4+25E ELEVATION: 0.00				REDIGE LE : / / DECRIPT PAR : FRANCOIS ROY	PROPRIETE : FLAVRIAN NO DU PROJET:156
				DIM. DU TROU : BQ TUBAGE : LAISSE	
COORDONNEES: GRILLE : LATITUDE : 5347736.00 N LONGITUDE: 326743.00 E ELEVATION: 0.00 AZIMUT : 51° 1 " PLONGEE : -45° 1 "				DEBUTE LE : / / TERMINE LE : 10/03/1901 ENTREPRENEUR: BENOIT ENTREPOSAGE :	CLAIM : 3718461 LOT : 28 RANG : 9 CANTON : BEAUCHASTEL S.N.R.C. :
PROFONDEUR TOTALE: 141.00 M				ARPENTE : non LEVE MULTISHOT: non MESURE RQD : non LEVE PULSE EM : non	

REMARQUES :

TEST DE DEVIATION:

EXPLORATION AZIMUT
JOURNAL DE SONDAGE

NUMERO DU TROU FV01-257

DE (M)	A (M)	DESCRIPTION	Echant	DE (M)	A (M)	Long. (M)	Au gr/t	Ag gr/t	Cu ppm	Zn ppm	Mo ppm	Pb ppm
0.00	1.00	MT										
1.00	21.40	I1E, Cl TRONDJÉMITE CHLORITISÉE. Roche intrusive grenue (0.5-1cm) à texture intergranulaire composée de 50-60% de plages quartzo-feldspathiques (40% Qz, 10% Fp) serties d'aggrégats ferro-magnésiens chloritisés (verts), parfois magnétitises (gris). Légère fracturation. 13.05 - 13.35 MAF dyk, Cl DYKE MAFIQUE CHLORITEUX Contact sup. à 30°c.a.										
		14.55 - 15.30 MAF dyk, Cl DYKE MAFIQUE CHLORITEUX Contact sup. à 20° c.a.										
21.40	30.25	I1E, bx, Hm / MAF dyk, fol ALTERNANCE DE TRONDJÉMITE BRÉCHIFIÉE HÉMATITISÉE ET DE DYKES MAFIQUES FOLLIÉS Probable zone de faille fragile, marquée par une micro-bréchification intense de la trondjémite hématitisée, rose saumon à brunâtre dû à l'oxydation, et par une foliation pénétrative des dykes mafiques calcitisés. Fabrique dominante dans le dyke sup. à 70-90°c.a. tandis qu'elle devient à 50° par la suite. Traces à 0.5% de pyrite disséminée, surtout dans la trondjémite hématitisée. 21.40 23.40 MAF dyk, fol, Cc DYKE MAFIQUE FOLLIÉ ET CALCITISÉ Foliation pénétrative à débit sub-mm, à 70-90°c.a. Contact inf. à 80°c.a. 21.40-23.40 (65019)	65019	21.40	23.40	2.00	-0.01					
		23.40 26.15 I1E, bx, Hm TRONDJÉMITE MICROBRÉCHIFIÉE HÉMATITISÉE Roche moyennement grenue (2-3mm) rose saumon à brunâtre localement parcourue de ramifications noirâtres de magnétite.	65020	23.40	24.95	1.55	-0.01					
			65021	24.95	26.15	1.20	-0.01					

EXPLORATION AZIMUT
JOURNAL DE SONDAGE

NUMERO DU TROU FV01-257

DE (M)	A (M)	DESCRIPTION	Echant	DE (M)	A (M)	Long. (M)	Au gr/t	Ag gr/t	Cu ppm	Zn ppm	Mo ppm	Pb ppm	
		Oxydation et lessivage intense, probable carbonatation. Traces de pyrite. 23.40-24.95 (65020): tr.Py 80% réc. 24.95-26.15 (65021): Idem, qq.inj.Qz											
		26.15 30.25 MAF dyk / I1E ALTÉRATION DE DYKES MAFIQUES ET DE TRONDJÉMITE. 26.15-27.10 (65022): MAF dyk 35cm suivi de TRON bx/cis. 27.10-28.00 (65023): TRON bx HmMtSi, 0.5%Py diss. clivage de faille? à 50° 28.00-28.40 (65024): MAF dyk CcCb, 0.5%Py cont.sup.à 55°c.a. 28.40-28.85 (65025): TRON microBx,cis?,Mt tr.Py 28.85-30.25 (65026): MAF dyk, fol, ±Cb(Hm), 1%Py grossière.	65022	26.15	27.10	0.95	-0.01						
			65023	27.10	28.00	0.90	-0.01						
			65024	28.00	28.40	0.40	0.02						
			65025	28.40	28.85	0.45	-0.01						
			65026	28.85	30.25	1.40	0.02						
30.25	55.80	I1E mag, ±ClEpHm TRONDJÉMITE MAGNÉTIQUE VARIABLEMENT ALTÉRÉE EN CHLORITE, ÉPIDOTE, HÉMATITE (Spéc.) Faciès grossier typique de la trondjémite tel que décrit précédemment. On observe deux assemblages d'altération ±distincts: le faciès à épidote-chlorite plutôt verdâtre et non minéralisé et le faciès à hématite (spéc. ±ter.) ±pyrite, de couleur grisâtre ±rosé. Cette dernière altération semble contrôlée par la densité de clivage à 70-80°c.a. et la présence de zones microbréchifiées. La fabrique 70-80° est nettement la structure dominante dans cette section du trou.											
		30.25 33.65 Hm, tr-Py ALTÉRATION ± HÉMATITE (Spéc. ±ter.), TR.PY 30.25-31.70 (65027): (Hm) 31.70-33.65 (65028): Hm, tr.Py	65027	30.25	31.70	1.45	-0.01						
			65028	31.70	33.65	1.95	-0.01						
		33.65 37.70 Ep(Cl) ALTÉRATION ± ÉPIDOTE- (CHLORITE) 33.65-34.45 (65029): inclu shear 10cm à	65029	33.65	34.45	0.80	0.78						

EXPLORATION AZIMUT
JOURNAL DE SONDAGE

NUMERO DU TROU FV01-257

DE (M)	A (M)	DESCRIPTION	Echant	DE (M)	A (M)	Long. (M)	Au gr/t	Ag gr/t	Cu ppm	Zn ppm	Mo ppm	Pb ppm
		10%Py, 80°c.a.										
		37.70 40.80 Hm, tr-1%Py ALTÉRATION η HÉMATITE (Spéc.+ter.), TR.-1%PYRITE 37.25-39.50 (65030): Hm, 1%Py	65030	38.25	39.50	1.25	0.01					
		39.50 - 40.80 bx Hm, 2-5%Py MICROBRÉCHE HÉMATITISÉE, 2-5% PYRITE 39.50-40.80 (65031)	65031	39.50	40.80	1.30	0.07					
		40.80 47.90 ClEp ALTÉRATION η CHLORITE-ÉPIDOTE Roche très massive dépourvue de fracturation. 40.80-42.30 (65032): tr.-1%Py	65032	40.80	42.30	1.50	0.01					
		47.90 51.00 HmEp, tr-3%Py ALTÉRATION η HÉMATITE (Spéc.+Ter.) -ÉPIDOTE, TR.-3% PYRITE. A nouveau le clivage à 80°c.a., surtout représenté par des veinules d'hématite +pyrite. 47.90-48.75 (65033): 1-2%Py vns/(diss) 48.75-50.00 (65034): 1-3%Py diss/(vns) 50.00-51.00 (65035): tr.Py	65033	47.90	48.75	0.85	0.01					
			65034	48.75	50.00	1.25	0.01					
			65035	50.00	51.00	1.00	-0.01					
		51.00 55.80 fra/bx, Cl+Hm FRACTURÉE η MICROBRÉCHIFIÉ, ALTÉRATION η CHLORITE +HÉMATITE Intervalle fortement fracturé, injecté de veinules chloriteuses. Disparition de la magnétite. De 53.40 à 54.75, on observe une zone de microbréchification et de clivage de faille à 80°c.a., accompagné d'une légère hématitisation rosée. 53.40-54.75 (65036): 5% vns Qz, tr.Py	65036	53.40	54.75	1.35	0.04					
55.80	61.60	LAMP DYKE MAFIQUE CALCITIQUE MASSIF (LAMPROPHYRE)										

EXPLORATION AZIMUT
JOURNAL DE SONDAGE

NUMERO DU TROU FV01-257

DE (M)	A (M)	DESCRIPTION	Echant	DE (M)	A (M)	Long. (M)	Au gr/t	Ag gr/t	Cu ppm	Zn ppm	Mo ppm	Pb ppm
		Dyke mafique magnétique, très frais, non déformé. Roche homogène gris moyen verdâtre composée de 10% de phénocristaux (1-2mm) vert foncé dans une matrice finement grenue réagissant fortement au HCl. Cont.sup.net à 45°.										
61.60	76.85	I1E mag, mas, \pm HmClEp TRONDJÉMITE MAGNÉTIQUE MASSIVE, VARIABLEMENT ALTÉRÉE EN HÉMATITE (spec. \pm ter.) -CHLORITE -ÉPIDOTE. Unité similaire aux précédentes, grossièrement grenue et à texture intergranulaire. Intervalle relativement peu fracturé, le faciès chloriteux domine.										
		61.60 65.80 (Hm), tr-1%Py ALTÉRATION FAIBLE \pm HÉMATITE (Spéc.) TR.-1% PYRITE 61.60-62.60 (65037): alt.rosâtre, fracturé, 20%vns Qz à 60°, tr.Py(5%/10cm ass.Qz) (Cp) 62.60-64.20 (65038): (Hm), 0.5%Py 64.20-65.80 (65039): (Hm), tr.-0.5%Py	65037 65038 65039	61.60 62.60 64.20	62.60 64.20 65.80	1.00 1.60 1.60	0.17 0.01 0.01					
		65.80 72.45 ClEp ALTÉRATION \pm CHLORITE \pm ÉPIDOTE										
		72.45 76.85 Hm \pm Cl \pm Ep, tr.-3%Py ALTÉRATION \pm HÉMATITE (Spéc.) \pm CHLORITE \pm ÉPIDOTE, TR.-3% PYRITE. 72.45-73.50 (65040): 1-3% Py diss. 73.50-75.00 (65041): tr.-2% Py diss. 75.00-76.40 (65042): tr.-2% Py diss. 76.40-76.85 (65043): Hm rose, 10% Py vns à 70-80° /diss.	65040 65041 65042 65043	72.45 73.50 75.00 76.40	73.50 75.00 76.40 76.85	1.05 1.50 1.40 0.45	0.02 0.01 0.05 19.44					
76.85	79.90	I1 fg mag DYKE FELSIQUE MAGNÉTIQUE Roche intrusive massive, magnétique, finement grenue, très dure. Couleur gris moyen mauvâtre, probablement due à de fines disséminations de spécularite. Contacts irréguliers ou diffus. Traces à 1% pyrite.	65044 65963 65046 65964	76.85 77.75 78.65 79.15	77.75 79.15 79.55 80.65	0.90 1.40 0.90 1.50	0.02 0.01 0.02 -0.01					

EXPLORATION AZIMUT
JOURNAL DE SONDAGE

NUMERO DU TROU FV01-257

DE (M)	A (M)	DESCRIPTION	Echant	DE (M)	A (M)	Long. (M)	Au gr/t	Ag gr/t	Cu ppm	Zn ppm	Mo ppm	Pb ppm	
		76.85-77.75 (65044): Hm, 0.5%Py diss. 77.75-79.15 (65963): 0.5%Py ass.vns ClCb 79.15-80.65 (65964): I1/TRON, tr.Py											
79.90	123.40	I1E mag, fra, +HmClEp TRONDJÉMITE MAGNÉTIQUE, FRACTURÉE, VARIABLEMENT ALTÉRÉE EN HÉMATITE (Spéc.) -CHLORITE -ÉPIDOTE Similaire aux intervalles précédents mais apparition d'un clivage de faille et de brèches mineures d'orientation consistante à N010-020°/80° après orientation des carottes (tests d'empruntes réussis à 96 et 105 m). Ce clivage correspond à des plans chloriteux (<5mm) parfois striés. Aucune minéralisation ne semble associée à cet épisode de déformation. Localement, on observe une minéralisation en pyrite associée à la fabrique à 70-80°c.a. comme auparavant.											
		79.90 90.00		65045	80.65	81.55	0.90	0.01					
	Hm	ALTÉRATION + HÉMATITE (Spéc.+Ter.) Couleur gris rosâtre. Plan de faille (1cm) 160/85 à 86.5m 80.65-81.55 (65045): 5%Py/15cm 83.50-84.85 (65046): 1%Py vns, 3% Cb vns 84.85-85.35 (65047): Hm+, tr.-1%Py 85.80-87.00 (65049): Hm+, tr.Py		65965	81.55	83.50	1.95	-0.01					
		85.35 - 85.80		65046	83.50	84.85	1.35	0.02					
		30%vns Qz, 3-5%Py 30%VNS QZ à 80°, 3-5% PY 85.35-85.80 (65048): la pyrite est diss. et en vns à 70-80°c.a.		65047	84.85	85.35	0.50	0.01					
		90.00 99.45		65048	85.35	85.80	0.45	0.08					
	flit, Cl	INTERVALLE RECOUPÉ DE PLANS DE FAILLE CHLORITEUX Système de plans de faille espacés chloriteux, stériles, pouvant avoir causer des mouvements mineurs. Chloritisation des ferromagnésiens. Mesures à 88m: 185/90, 90.3m: 174/90, 93.75m: 174/75, 94.0m: 165/90, 98.3m:		65049	85.80	87.00	1.20	0.01					
		65050	90.00	91.50	1.50	-0.01							
		65051	95.75	97.45	1.70	0.07							

EXPLORATION AZIMUT
JOURNAL DE SONDAGE

NUMERO DU TROU FV01-257

DE (M)	A (M)	DESCRIPTION	Echant	DE (M)	A (M)	Long. (M)	Au gr/t	Ag gr/t	Cu ppm	Zn ppm	Mo ppm	Pb ppm	
		290/69, 98.45m: 307/65. Le système N-S sub-vertical est la fabrique dominante et corrèle avec un linéament topo. Mesure représentative de quelques plans à ClPy isolés à 97.4m: 205/52 90.0-91.50 (65050): 5% inj. Qz/Ep 95.75-97.45 (65051): tr.-2%Py diss/vns											
		99.45 106.00 HM, tr-1%Py ALTÉRATION \pm HÉMATITE (Spéc.), TR.-1% PYRITE Teinte gris moyen mauvâtre causée par le remplacement des ferromagnésiens par la spécularite. Pyrite disséminée ou en minces rubans (<1mm) à 70-80°c.a. Une mesure de ces rubans à 105.5m donne 090/49°. 99.45-100.60 (65052): 2-3%Py ass.à cis inj. QzCl à 70° et bordures d'un MAF dyk Cb de 40 cm, contacts à 70-90°c.a. 102.00-103.45 (65053): tr.-1%Py 103.45-104.85 (65054): tr.-2%Py 104.85-106.25 (65055): 1-1%Py diss/vns à 70°, 1% Cb vns	65052 65053 65054 65055	99.45 102.00 103.45 104.85	100.60 103.45 104.85 106.25	1.15 1.45 1.40 1.40	0.04 -0.01 0.01 0.08						
		106.00 123.40 Cl±Hm, (flt Cl) ALTÉRATION \pm CHLORITE \pm HÉMATITE (Spéc.), PLANS DE FAILLE CHLORITEUX A nouveau apparition du clivage de faille espacé chloriteux et chloritisation des ferromagnésiens. Mesures à 108.5m: 348/75, 121.5m: 174/85°, 122.1m: 192/85 avec stries sub-hor senestre. 106.25-107.75 (65056): 0.5-1%Py vns à 70° 114.85-115.85 (65057): tr.-1%Py 118.95-120.40 (65060): tr.Py ass.à plans Cl+	65056 65057	106.25 114.85	107.75 115.85	1.50 1.00	0.02 0.01						
		115.85 - 118.00 MAF dyk, cis, v.Qz DYKE MAFIQUE INJECTÉ D'UNE VEINE DE QUARTZ ET CISAILLÉ. Dyke gris vert moyen, finement grenu, follié (50°c.a.), fortement	65058 65059	116.30 116.65	116.65 117.00	0.35 0.35	0.01 0.31						

EXPLORATION AZIMUT
JOURNAL DE SONDAGE

NUMÉRO DU TROU FV01-257

DE (M)	A (M)	DESCRIPTION	Echant	DE (M)	A (M)	Long. (M)	Au gr/t	Ag gr/t	Cu ppm	Zn ppm	Mo ppm	Pb ppm
		calcitisé. Cont.sup.à 060/22°, inf.à 065/19°, parallèles à la foliation et aux contacts de la veine de Qz. De 116.30-116.65, on observe une veine de Qz blanc stérile massif. Le contact inférieur de la veine (030/26°) est une zone de cisaillement à chlorite carbonates et quartz minéralisé. 116.30-116.65 (65058): v.Qz 116.65-117.00 (65059): cis ClCbQz, 1-3%PySpCp										
123.40	131.45	flt/bx Cl ZONE DE FAILLE ± BRÉCHES CHLORITEUSES Faille importante marqué par des plages felsiques fracturées et bréchifiées cimentées par de la chlorite verte (Bx à QzCl). Fabrique dominante à 30°c.a., probablement parallèle aux plans chloriteux mesurés précédemment, soit un système N-S sub-vertical correspondant au linéament topo. Aucune minéralisation et une seule injection de quartz de 3 cm. 125.15-126.65 (65061): Bx QzCl 127.55-129.10 (65062): Bx QzCl, v.Qz 3cm, tr.Py	65060	118.95	120.40	1.45	-0.01					
		123.40 125.15 I1 por Fp DYKE FELSIQUE PORPHYRIQUE. Dyke bréchifié, rose saumon, composé de 15% de cristaux de Fp (<3mm) dans une matrice aphanitique quartzofeldspathique.										
			65061	125.15	126.65	1.50	-0.01					
			65062	127.55	129.10	1.55	0.03					
131.45	141.00	I1E mag, ±Cl TRONDJÉMITE MAGNÉTIQUE ±CHLORITISÉE Unité similaire aux descriptions correspondant à ce faciès. Peu fracturée et non minéralisée. 133.20-134.65 (65063): tr.Py	65063	133.20	134.65	1.45	-0.01					
141.00		FIN DU TROU										
		Nombre total d'échantillons : 49 Longueur totale échantillonée : 58.95										

EXPLORATION AZIMUT
JOURNAL DE SONDAGE

Nom de projet :FLAVRIAN
Numéro de trou :FV01-258

LOCALISATION: GRILLE :	LIGNE : 23+64S	REDIGE LE : / /	DIM. DU TROU : BQ	PROPRIETE : FLAVRIAN
STATION : 4+69E	ELEVATION: 0.00	DECRIIT PAR : FRANCOIS ROY	TUBAGE : LAISSE	NO DU PROJET: 156
COORDONNEES: GRILLE :	DEBUTE LE : / /			CLAIM : 3718462
LATITUDE : 5347626.00 N	TERMINÉ LE : 10/03/1901			LOT : 29
LONGITUDE: 326915.00 E	ENTREPRENEUR: BENOIT			RANG : 9
ELEVATION: 0.00	ENTREPPOSAGE :	ARPENTE : non	CANTON : BEAUCHASTEL	
AZIMUT : 45° " "		LEVE MULTISHOT: non	S.N.R.C.:	
PLONGEE : -49° " "		MESURE RQD : non		
PROFONDEUR TOTALE: 99.00 M		LEVE PULSE EM : non		

REMARQUES :

TEST DE DEVIATION:

EXPLORATION AZIMUT
JOURNAL DE SONDAGE

NUMERO DU TROU FV01-258

DE (M)	A (M)	DESCRIPTION	Echant	DE (M)	A (M)	Long. (M)	Au gr/t	Ag gr/t	Cu ppm	Zn ppm	Mo ppm	Pb ppm
0.00	11.00	MT MORT-TERRAIN	65904	10.40	11.40	1.00	0.04					
11.00	14.85	I1E mag, ClePhim, tr-5%Py TRONDJÉMITE MAGNÉTIQUE CHLORITISÉE, BÉPIDOTISÉE ET HÉMATISÉE (Spéc.), TR.-5%PYRITE De 11 à 11.40, morceaux NQ du casing, récupération partielle de trondjémite contenant de tr.-10% de pyrite (65904). Le trou démarre donc dans une zone fortement minéralisée. Par la suite, il s'agit du faciès grossier intergranulaire de la trondjémite (c.f. descriptions du trou 01-256) dont les ferromagnésiens ont été altérés en chlorite thématite spéc. La texture devient de plus en plus flou vers le bas, la chloritisation augmentant. Pyrite parfois abondante, en amas cubiques remplaçant presque complètement les ferromagnésiens avec la chlorite. 11.40-11.65 (65901): Cl++, >10%Py 11.65-12.35 (65902): Cl, 0.5-1%Py 12.35-12.65 (65903): blanchi, 5%Py 12.65-14.05 (65064): EpCl(Hm Spéc.) tr.Py	65901 65902 65903 65064	11.40 11.65 12.35 12.65	11.65 12.35 12.65 14.05	0.25 0.70 0.30 1.40	0.17 0.04 0.85 0.02					
14.85	27.75	MAF dyk cis/ I1E SÉQUENCE DE DYKES MAFIQUES INTERCALLÉS DE TRONDJÉMITE, CISAILLÉS. Séquence dominée par des dykes mafiques magétiques, gris foncé verdâtre, finement à moyennement grenus et généralement folliés. Plusieurs intercallations de trondjémite chloritisée similaire à la fin du premier intervalle. Aucune minéralisation.	65065 65066	21.35 22.65	22.30 23.05	0.95 0.40	-0.01 -0.01					
		19.50 23.05 fol/cis, vnsQzCb à 80° FOLLIÉ, CISAILLÉ AVEC VEINES DE QUARTZ CARBONATES à 80°c.a. Structure significative affectant tout l'intervalle, marquée par une foliation localement intense à 80°c.a. et des veinules de carbonates à quartz parallèles à la foliation, représentant jusqu'à 80% de la roche sur 15 cm. 21.35-22.30 (65065): cis, 15%vns CbQz 22.65-23.05 (65066): cis, 40%vns										

EXPLORATION AZIMUT
JOURNAL DE SONDAGE

NUMERO DU TROU FV01-258

DE (M)	A (M)	DESCRIPTION	Echant	DE (M)	A (M)	Long. (M)	Au gr/t	Ag gr/t	Cu ppm	Zn ppm	Mo ppm	Pb ppm	
		QzCb, tr.Cp											
		24.30 26.95 INT/FEL dyk, Cl(Hm) DYKE FELSIQUE η INTERMÉDIAIRE CHLORITISÉE (HÉMATITISÉE (Ter.)) Roche intrusive intergranulaire, magnétique, composée de 80% de plages quartzofeldspathiques gris rosé et de 20% d'aggrégats chloriteux interstitiels (1mm). Très dure, massive à légèrement folliée. Contact sup.diffus, inf. à 50°c.a. 25.55-26.95 (65067): tr.Py	65067	25.55	26.95	1.40	-0.01						
		26.95 27.75 MAF dyk, fol/cis 80° DYKE MAFIQUE FOLLIÉ η CISAILLÉ 26.95-27.75 (65068): 5-10%vns QzCb parallèles à la foliation à 80° c.a.	65068	26.95	27.75	0.80	-0.01						
27.75	39.85	I1 gf, HmMt, 2-5%Py INTRUSIF FELSIQUE FINEMENT GRENU, ALTÉRÉ EN HÉMATITE (Spéc. +Ter.) -MAGNÉTITE, 2-5%PYRITE Roche quartzofeldspathique à texture granulaire fine (<1mm), gris clair légèrement rosé, parcourue de fines veinules de pyrite -spécularite +magnétite. Possiblement l'équivalent de l'unité minéralisée de la tranchée FL-00-24. Minéralisation substantielle composée de 2-5% de pyrite en fines veinules et disséminée. Aucune déformation significative si ce n'est un cisaillement de 10 cm à QzMt(Hm)Py à 45°c.a. à 36.8m. La pyritisation est plus abondante juste avant ce cisaillement. 27.75-28.30 (65905): 10cm de MAF dyk cis Cb suivi de I1 avec 1-2%Py diss. 28.30-29.45 (65906): 3-5%Py diss/vns alléatoires 29.45-30.45 (65907): 2-4%Py, mouchetures de Mt sur dernier 15cm. 30.45-31.40 (65908): 1-3%Py diss/vns 31.40-32.45 (65909): tr.-1%Py 32.45-33.35 (65910): 1-3%Py diss/vns 33.35-34.50 (65911): 2-4%Py diss/vns avec SiMt. Bandes (<5cm) silex (trempe ou dykes?) Py++Mt++ 34.50-36.00 (65912): Mt+, 1%Py	65905 65906 65907 65908 65909 65910 65911 65912 65913 65914 65915 65916 65917	27.75 28.30 29.45 30.45 31.40 32.45 33.35 34.50 36.00 36.45 36.95 38.05 38.80	28.30 29.45 30.45 31.40 32.45 33.35 34.50 36.00 36.45 36.95 38.05 38.80 39.85	0.55 1.15 1.00 0.95 1.05 0.90 1.15 1.50 0.45 0.50 1.10 0.75 1.05	0.06 0.37 0.73 0.32 0.01 0.08 0.21 0.01 0.02 0.01 0.05 1.15 0.13						

EXPLORATION AZIMUT
JOURNAL DE SONDAGE

NUMERO DU TROU FV01-258

DE (M)	A (M)	DESCRIPTION	Echant	DE (M)	A (M)	Long. (M)	Au gr/t	Ag gr/t	Cu ppm	Zn ppm	Mo ppm	Pb ppm	
		36.00-36.45 (65913): v.PySpec (1mm) 0°c.a. 36.45-36.95 (65914): 3-6%Py diss/vns, shear de 10cm à MtPyQz 45°c.a. 36.95-38.05 (65915): Mt+,tr.Py 38.05-38.80 (65916): tr.Py sauf 10%/30 cm dont 2 vns massives (0.5 et 1 cm à 60°c.a.) 38.80-39.85 (65917): 5-8%Py diss/vns											
39.85	45.00	I1E, less.,Hm±Ep, 1-5%Py TRONDJÉMITE BLANCHIE, ALTÉRÉE EN HÉMATITE (Spéc.) ±ÉPIDOTE, 1-5% PYRITE. Continuation de la zone altérée minéralisée. La texture primaire est passablement flou. Les feldspaths ont été altérés en epidote et/ou séricite. Les ferromagnésiens sont disparus, probablement remplacés par la spéculaire et la pyrite. Minéralisation constituée de 1-5% de pyrite disséminée ou en rubans (mm) souvent à 70°c.a. ou alléatoires. 39.85-41.55 (65918): cis 5cm (Sr), 1-2%Py 41.55-43.15 (65919): tr.Py 43.15-43.75 (65920): 5-7%Py diss/vns 43.75-44.50 (65921): Si? 2-4%Py 44.50-45.00 (65922): 3-5%Py	65918 65919 65920 65921 65922	39.85 41.55 43.15 43.75 44.50	41.55 43.15 43.75 44.50 45.00	1.70 1.60 0.60 0.75 0.50	0.09 0.04 0.66 0.13 0.89						
45.00	51.60	MAF dyk mag /I1E SÉQUENCE DE DYKES MAFIQUES ET DE TRONDJÉMITE. Les dykes sont fortement magnétiques. Contacts à 40-45°c.a. 45.00 47.50 MAF dyk, Mt+, 3-15%Py DYKE MAFIQUE MAGNÉTITISÉ, 3-15% PYRITE Roche gris moyen mauvâtre (hématite) finement grenue, partiellement remplacée par de la magnétite, également en veinules. Pyrite disséminée et en rubans (<1cm) irréguliers. 45.00-46.10 (65923): 5-15%Py 46.10-47.50 (65924): 2-4%Py 47.50 48.45 MAF dyk/I1E/FEL dyk DYKE MAFIQUE, TRONDJÉMITE ET DYKE FELSIQUE 47.50-48.45 (65925): MAF dyk Mt++/55cm,	65923 65924 65925	45.00 46.10 47.50	46.10 47.50	1.10 1.40	1.23 0.10						

EXPLORATION AZIMUT
JOURNAL DE SONDAGE

NUMERO DU TROU FV01-258

DE (M)	A (M)	DESCRIPTION	Echant	DE (M)	A (M)	Long. (M)	Au gr/t	Ag gr/t	Cu ppm	Zn ppm	Mo ppm	Pb ppm
		suivi de TRON Mt/40 cm. Tr.Py 48.45-49.55 (65069): MAF dyk Cl, tr.Py 49.55-50.45 (65070): I1 Mt										
51.60	54.55	I1E, tcis, HmMtEp TRONDJÉMITE ALTÉRÉE EN HÉMATITE (Spéc.) MAGNÉTITE ET ÉPIDOTE, ±CIS? Ferromagnésiens totalement remplacés par mixture de magnétite et spécularite, également en veinules. De 53.20 à 53.70: cisaillement probable, zone rubannée injectée de quartz tectonisé, fabriqué à 70°C.a. mesurée: 104/78° 52.80-53.20 (65071): 5tvns Spéc.mas. 53.20-54.55 (65072): cis inj.Qz/50cm, suivi de TRON. Tr.Py	65069 65070 65071 65072	48.45 49.55 52.80 53.20	49.55 50.45 53.20 54.55	1.10 0.90 0.40 1.35	-0.01 0.01 -0.01 0.15					
54.55	61.20	LAMP DYKE MAFIQUE CALCITIQUE (LAMPROPHYRE) Dyke similaire aux lamprophyres décrits dans les trous 256 et 257. Non altéré ni déformé, semble tadif. Contacts non observés.										
61.20	78.25	I1E mag, Ep TRONDJÉMITE MAGNÉTIQUE ÉPIDOTISÉE. Faciès de trondjémite le plus frais observé jusqu'à maintenant. Roche intrusive à texture intergranulaire composée de 50-60% de quartz (amas de 1cm), 30% de feldspaths ±épidotisés et 10-15% d'aggrégats ferromagnésiens chloriteux poivrés de magnétite. 61.20 63.55 Hm, 1*Py ALTÉRATION ± HÉMATITE (Spéc.), 1*PYRITE Dernière apparition de ce faciès d'altération. 61.20-62.70 (65073): 1*Py diss 62.70-63.55 (65074): idem	65073 65074	61.20 62.70	62.70 63.55	1.50 0.85	0.01 0.01					
78.25	90.80	MAF dyk, ±Ep / I1E DYKES MAFIQUES ±ÉPIDOTISÉS, INTERCALLÉS DE TRONDJÉMITE. Dykes gabbroïques, distincts des lamprophyres et	65075	89.40	90.00	0.60	0.02					

EXPLORATION AZIMUT
JOURNAL DE SONDAGE

NUMERO DU TROU FV01-258

DE (M)	A (M)	DESCRIPTION	Echant	DE (M)	A (M)	Long. (M)	Au gr/t	Ag gr/t	Cu ppm	Zn ppm	Mo ppm	Pb ppm	
		altérés en epidote. Finement grenus (0.5-1 mm), gris vert moyen, non magnétiques. Contacts de 50-65°c.a. 89.40-90.00 (65075): cis/10cm QzEp(Hm), 3-5%Py cubique diss.											
90.80	99.00	I1E, EpCl TRONDJÉMITE ÉPIDOTISÉE ET CHLORITISÉE. La chlorite réapparaît à nouveau sous l'influence d'un système de fracture (dominantes à 30°) qui s'intensifie vers la fin. 96.90-98.40 (65076): Cl+	65076	96.90	98.40	1.50	-0.01						
		99.00 Fin du trou.											
99.00		FIN DU TROU Nombre total d'échantillons : 38 Longueur totale échantillonée : 36.10											

EXPLORATION AZIMUT
JOURNAL DE SONDAGE

Nom de projet : FLAVRIAN
Numéro de trou : FV01-259

LOCALISATION: GRILLE : LIGNE : 100+51N STATION : 98+76E ELEVATION: 0.00	REDIGE LE : / / DECRIIT PAR : FRANCOIS ROY	DIM. DU TROU : BQ TUBAGE : LAISSE	PROPRIETE : FLAVRIAN NO DU PROJET:156
COORDONNEES: GRILLE : LATITUDE : 5348086.00 N LONGITUDE: 325815.00 E ELEVATION: 0.00 AZIMUT : 0° ' " PLONGEE : -80° ' "	DEBUTE LE : / / TERMINÉ LE : 10/03/1901 ENTREPRENEUR: BENOIT ENTREPPOSAGE :	ARPENTE : non LEVE MULTISHOT: non MESURE RQD : non LEVE PULSE EM: non	CLAIM : 3716962 LOT : 25 RANG : 9 CANTON : BEAUCHASTEL S.N.R.C. :
PROFONDEUR TOTALE: 74.80 M			

REMARQUES :

TEST DE DEVIATION:

EXPLORATION AZIMUT
JOURNAL DE SONDAGE

NUMERO DU TROU FV01-259

DE (M)	A (M)	DESCRIPTION	Echant	DE (M)	A (M)	Long. (M)	Au gr/t	Ag gr/t	Cu ppm	Zn ppm	Mo ppm	Pb ppm	
0.00	10.20	MT											
10.20	20.10	I1E mag, mas, ±Cl/Ep TRONDJÉMITE MAGNÉTIQUE MASSIVE, VARIABLEMENT CHLORITISÉE OU ÉPIDOTISÉE. Référence au log du trou FV01-266 pour une description exhaustive. Les intervalles les plus chloritisés ont une texture plus floue et comprennent une faible minéralisation en pyrite disséminée (<1%). Faible hématitisation en approchant du dyke de lamprophyre qui suit (teinte mauvâtre). 15.00-16.40 (65129): 0.5%Py diss/vns 19.10-20.10 (65130): (Hm)tr.-0.5%Py	65129 65130	15.00 19.10	16.40 20.10	1.40 1.00	-0.01 -0.01						
20.10	25.80	LAMP DYKE MAFIQUE CALCITIQUE (LAMPROPHYRE) Roche intrusive massive gris vert moyen, finement grenue, composée de 10% de flocons (imm) de biotite dans une matrice mafique micro-grenue, calcitique. Non déformé ni altéré, contacts nets à 40°c.a.											
25.80	42.80	I1E ±Cl(Ep) TRONDJÉMITE VARIABLEMENT CHLORITISÉE, FAIBLEMENT ÉPIDOTISÉE. Même unité que l'intervalle précédent le lamprophyre. Pyritisation marginale localement. 25.80-26.95 (65131): tr.-0.5% Py 26.95-27.60 (65132): 27.60-28.60 (65133): fra, vns HmQzCbMtClPy (2-5%Py) 28.60-30.00 (65134): tr.Py 37.50-38.15 (65135): Cl, ±Bx/fra/25cm avec 3-5%Py 38.15-39.20 (65136): Cl, 1%Py. (±BxSi, 2-5%Py /dernier 15 cm.) 38.50 39.00 I1 gf DYKE FELSIQUE. Faciès intrusif microgrenu, gris moyen verdâtre, non magnétique. Semble avoir subit les mêmes épisodes d'altération et de fracturation que la trondjémite grossière.	65131 65132 65133 65134 65135 65136	25.80 26.95 27.60 28.60 37.50 38.15	26.95 27.60 28.60 30.00 38.15 39.20	1.15 0.65 1.00 1.40 0.65 1.05	-0.01 -0.01 -0.01 -0.01 0.08 0.01						

EXPLORATION AZIMUT
JOURNAL DE SONDAGE

NUMERO DU TROU FV01-259

DE (M)	A (M)	DESCRIPTION	Echant	DE (M)	A (M)	Long. (M)	Au gr/t	Ag gr/t	Cu ppm	Zn ppm	Mo ppm	Pb ppm
42.80	74.80	V1B bx mag, HmEp RHYOLITE BRÉCHIQUE MAGNÉTIQUE, HÉMATITISÉE ET ÉPIDOTISÉE PAR LE MÉTAMORPHISME DE CONTACT. Unité spectaculaire rose vif (hématite) à taches et rubans vert pistache (épidote) ou noir. Rubannement contortionné primaire réhaussé par la cuisson métamorphique, il s'agit certainement de flow-banding associé à une coulée de rhyolite bréchique. La fraturation est très faible et on observe que de très rares traces de pyrite. Contact supérieur très net et franc à 75°c.a. 45.40-47.85 (65137): 1%Py diss./rub. à 25° 47.85-49.45 (65138): tr.-1%Py, finit par cis 2cm à MtClHmPy++ à 40° 60.35-60.75 (65139): 10%vnsEpCbQzHm, tr.Py 67.40-68.50 (65140): fra, tr.Py ass.vns Ep±Qz.	65137 65138	45.40 47.85	47.85 49.45	2.45 1.60	-0.01 -0.01					
		54.85 56.05 V1 tuf lam (80°) TUF LAMINAIRE, STRATI à 80°c.a. Intervalle comprenant 2 niveaux de tuf laminaire composé de bandes de diverses couleurs mm à cm, roses, grises ou vertes. Le rubannement interprété comme un litage est très régulier sur tout l'intervalle contrairement au flow banding des rhyolites adjacentes. L'angle presque perpendiculaire (80°) à l'axe de la carotte et l'inclinaison presque verticale du trou (80°) suggèrent que le litage est sub-horizontal.	65139	60.35	60.75	0.40	-0.01					
		65.20 67.40 I1E (V1B) TRONDJÉMITE AVEC UNE INTERCALLATION DE RHYOLITE. Apophyse ou dyke satellite du platon de Flavrian. Contacts brisés indéterminés.	65140	67.40	68.50	1.10	0.01					
74.80		FIN DU TROU Nombre total d'échantillons : 12 Longueur totale échantillonée : 13.85										

EXPLORATION AZIMUT
JOURNAL DE SONDAGE

Nom de projet :FLAVRIAN
Numéro de trou :FV01-260

LOCALISATION: GRILLE : PROPRIETE
LIGNE : 99+69N NO DU PRO
STATION : 100+89E REDIGE LE : / / DIM. DU TROU : BQ
ELEVATION: 0.00 DECRET PAR : FRANCOIS ROY TURAGE : AUCUN

COORDONNEES: GRILLE : DEBUTE LE : / / CLAIM : 3716961
 LATITUDE : 5347908.00 N TERMINE LE : 10/03/1901 LOT : 24
 LONGITUDE: 325659.00 E ENTREPRENEUR: BENOIT RANG : 9
 ELEVATION: 0.00 ENTREPOSAGE : ARPENTE : non CANTON : BEAUCHASTEL
 AZIMUT : 110° ' " LEVE MULTISHOT: non S.N.R.C. :
 PLONGEE : -80° ' " MESURE RQD : non
 PROFONDEUR TOTALE: 104.50 M LEVE PULSE EM : non

REMARQUES :

TEST DE DEVIATION:

EXPLORATION AZIMUT
JOURNAL DE SONDAGE

NUMERO DU TROU FV01-260

DE (M)	A (M)	DESCRIPTION	Echant	DE (M)	A (M)	Long. (M)	Au gr/t	Ag gr/t	Cu ppm	Zn ppm	Mo ppm	Pb ppm
0.00	7.25	V1B?V1D? mag ±bx RHYOLITE OU DACITE MAGNÉTIQUE ±BRÉCHIQUE. Lave aphanitique gris foncé ±mauvâtre, très dure, massive à bréchique (assez flou). Localement, altération faible à moyenne en hématite (teinte rosée), accompagnée de micro veinules de chlorite et parfois de pyrite ass. à vns d'épidote-calcite. 2.20-3.55 (65077): ±Hm, vnsEpQzCbPy (tr.Py)	65077	2.20	3.55	1.35	-0.01					
7.25	12.30	V2J mas mag, (Cc) ANDÉSITE MASSIVE, MAGNÉTIQUE, LÉGÈREMENT CALCITISÉE. Lave gris moyen, micro-grenue, nettement moins siliceuse que l'unité précédente. Présence d'amygdales de quartz au début de l'intervalle, suggérant sommet vers le haut. Contacts douteux. 9.50-10.75 (65078): (HmCb?) tr.Py	65078	9.50	10.75	1.25	-0.01					
12.30	39.70	V1B?V1D? mas/bx mag, ±HmSi?, (Py) RHYOLITE OU DACITE MASSIVE ± BRÉCHIQUE, MAGNÉTIQUE, OCCASIONNELLEMENT ALTÉRÉE EN HÉMATITE SILICE ET FAIBLEMENT PYRITISÉE. Unité similaire à celle du début du trou. Les textures sont généralement floues mais on observe du flow banding contortionné localement. Rx totale à 22.4m (65082) 13.95-14.75 (65941): occ(Hm), tr.-0.5%Py 14.75-16.20 (65942): tr.-0.5%Py 16.20-17.35 (65079): ±Si(Hm), tr.Py 18.10-18.60 (65080): HmSi, 0.5%Py ass.vns QzHmCb? 20.60-21.20 (65081): Idem 24.55-25.60 (65082): Si(Hm) 0.5%Py 25.60-26.40 (65943): (HmSi) tr.Py 26.40-28.00 (65083): tr.-0.5%Py ass.vns EpClCc 28.00-29.30 (65944): (HmSi) 29.30-30.20 (65084): Si(Hm), tr.Py 30.20-31.00 (65945): tr.Py 31.00-32.40 (65946): ±HmSi, tr.Py 34.80-36.20 (65085): tr.Py ass.vns QzClHm 36.20-37.40 (65947): cis/bx HmCl(Py)/50cm à 10°c.a. 37.40-38.80 (65948): ifra, (Hm), 0.5%Py ass.vns QzHmCb?Cl	65941 65942 65079 65080 65081 65082 65943 65083 65944 65084 65945 65946 65085 65947 65948	13.95 14.75 16.20 18.10 20.60 24.55 25.60 26.40 28.00 29.30 30.20 31.00 34.80 36.20 37.40	14.75 16.20 17.35 18.60 21.20 25.60 26.40 28.00 29.30 30.20 31.00 32.40 36.20 37.40 38.80	0.80 1.45 1.15 0.50 0.60 1.05 0.80 1.60 1.30 0.90 0.80 1.40 1.40 1.20 1.40	-0.01 -0.01 -0.01 -0.01 -0.01 -0.01 -0.01 -0.01 -0.01 -0.01 -0.01 -0.01 -0.01 -0.01 -0.01					
39.70	46.35	V1B bx, Cl BRÈCHE DE COULÉE RHYOLITIQUE CHLORITISÉE.	65086	45.30	46.35	1.05	-0.01					

EXPLORATION AZIMUT
JOURNAL DE SONDAGE

NUMERO DU TROU FV01-260

DE (M)	A (M)	DESCRIPTION	Echant	DE (M)	A (M)	Long. (M)	Au gr/t	Ag gr/t	Cu ppm	Zn ppm	Mo ppm	Pb ppm		
		Roche gris moyen verdâtre à texture bréchique floue, composée de fragments mm à cm de volcanite siliceuse rubannée dans une matrice verte chloriteuse. Il s'agit d'une brèche de coulée. 45.30-46.35 (65086): 1v.QzClHmCbPy de 3cm à 25° (shear vein)												
46.35	75.50	V2J?V1D? mas mag ANDÉSITE (OU DACITE?) MASSIVE, MAGNÉTIQUE. Lave gris moyen verdâtre microgrenue à aphanitique, très homogène. Dure à rayer mais nettement moins siliceuse que les unités précédentes et de teinte plus verdâtre également. Très peu facturée. Contact supérieur non distinguable, inférieur net mais irrégulier avec laminations qui épousent le contact. Rx totale à 49m (65801) 53.60-54.50 (65949): tr.Py ass.vns QzEpHm 57.30-57.70 (65087): shear ClHm 5%Py de 5cm à 20° 63.80-64.60 (65088): 20 cm d'andésite (Hm) 2-3%Py suivi de 50 cm de dyke FEL Hm+	65949 65087	53.60 57.30	54.50 57.70	0.90 0.40	-0.01 -0.01							
		59.00 - 59.30 II Hm DYKE FELSIQUE HÉMATITIQUE Roche felsique microgrenue rouge brique, massive, très dure. Contacts à 75°C.a.	65088	63.80	64.60	0.80	0.04							
		64.00 - 64.45 II Hm DYKE FELSIQUE HÉMATITIQUE. Dyke similaire au précédent. Minéralisation en pyrite dans les 15 cm précédent le dyke.												
		66.00 75.50 MtCcEp±HmCl, tr-3%Py ALTÉRATION ± MAGNÉTITE CALCITE ÉPIDOTE ±HÉMATITE CHLORITE, TR.-3%PYRITE Faciès de couleur gris moyen à beige kaki, très magnétique, injecté de veinules de chlorite-magnétite-pyrite ou de quartz-calcite-chlorite-hématite-pyrite.	65950 65089 65090 65091 65092 65093 65094 65951 65952	66.00 66.45 67.20 68.40 68.80 70.20 71.20 72.00 73.15 73.15	66.45 67.20 68.40 68.80 70.20 71.20 72.00 73.15 74.10	0.45 0.75 1.20 0.40 1.40 1.00 0.80 1.15 0.95	-0.01 -0.01 -0.01 -0.01 -0.01 -0.01 -0.01 -0.01 -0.01							

EXPLORATION AZIMUT
JOURNAL DE SONDAGE

NUMERO DU TROU FV01-260

DE (M)	A (M)	DESCRIPTION	Echant	DE (M)	A (M)	Long. (M)	Au gr/t	Ag gr/t	Cu ppm	Zn ppm	Mo ppm	Pb ppm	
		66.00-66.45 (65950): 0.5%Py 66.45-67.20 (65089): tr.-3%Py 67.20-68.40 (65090): 1-3%Py diss/(vns) 68.40-68.80 (65091): Bx MtHmCc, 3-5%Py. à 25-30°C.a. 68.80-70.20 (65092): tr.-1%Py 70.20-71.20 (65093): 1-3%Py ass.vns QzCcHmPy 71.20-72.00 (65094): tr.Py (3-5%/5cm) 72.00-73.15 (65951): tr.Py 73.15-74.10 (65952): tr.Py 74.10-74.80 (65095): 2%Py ass. vns QzCcHm(C1) 74.80-75.50 (65953): tr.Py	65095 65953 65096 65097 65098	74.10 74.80 75.50 77.20 78.00 79.90 81.35	74.80 75.50 77.20 78.00 81.35	0.70 0.70 1.70 0.80 1.45	-0.01 -0.01 -0.01 -0.01 -0.01						
75.50	98.30	V1B bx mag, Ep±Hm BRÈCHE RHYOLITIQUE MAGNÉTIQUE, ÉPIDOTISÉE, OCC. HÉMATITISÉE. Volcanite felsique aphanitique très dure composée de fragments laminaires centimétriques auto-supportés. Aspect chamoisé dans les teintes gris foncé, beige et crème, parfois mauvâtre lorsqu'hématitisé (surtout au début de l'intervalle). Il s'agit probablement d'une brèche de coulée. 75.50-77.20 (65096): tr.Py ass.vns HmQzCb 77.20-78.00 (65097): idem 79.90-81.35 (65098): tr.Py 84.70-85.55 (65954): 10-20%Py ds shear à ClEp de 5cm à 35°C.a. 90.10-91.10 (65099): tr.-1%Py ass.vns Ep 94.55-95.30 (65100): tr.Py ass.vns QzCcEp 96.85-98.30 (65101): tr.-0.5%Py ass.vns QzHmBpClCc 82.40 84.70 V2J mas amy ANDÉSITE MASSIVE AMYGDULAIRE Lave micro-grenue gris moyen verdâtre, débutant avec un matériel très chloriteux rempli d'amygdales de quartz.	65096 65097 65098 65954 65099 65100 65101	75.50 77.20 79.90 84.70 90.10 94.55 96.85	77.20 78.00 81.35 85.55 91.10 95.30 98.30	1.70 0.80 1.45 0.85 1.00 0.75 1.45	-0.01 -0.01 -0.01 -0.01 -0.01 -0.01 0.01						

EXPLORATION AZIMUT
JOURNAL DE SONDAGE

NUMERO DU TROU FV01-260

DE (M)	A (M)	DESCRIPTION	Echant	DE (M)	A (M)	Long. (M)	Au gr/t	Ag gr/t	Cu ppm	Zn ppm	Mo ppm	Pb ppm	
98.30	104.50	V1B mas mag RHYOLITE MASSIVE MAGNÉTIQUE Lave aphanitique très dure, occasionnellement rubannée, gris moyen à violacé (hématite), peu fracturée. 102.90-103.90 (65102): tr.Py ass.vns QzEpHm Si+? 104.5: fin du trou.	65102	102.90	103.90	1.00	-0.01						
104.50		FIN DU TROU Nombre total d'échantillons : 40 Longueur totale échantillonée : 40.60											

EXPLORATION AZIMUT
JOURNAL DE SONDAGE

Nom de projet : FLAVRIAN
Numéro de trou : FV01-261

LOCALISATION: GRILLE :	LIGNE : 98+63N	REDIGE LE : / /	DIM. DU TROU : BQ	PROPRIETE : FLAVRIAN
STATION : 100+89E	ELEVATION: 0.00	DECRIIT PAR : FRANCOIS ROY	TUBAGE : LAISSE	NO DU PROJET:156
COORDONNEES: GRILLE :		DEBUTE LE : / /	CLAIM : 3716961	
LATITUDE : 5347943.00 N		TERMINE LE : 10/03/1901	LOT : 24	
LONGITUDE: 325559.00 E		ENTREPRENEUR: BENOIT	RANG : 9	
ELEVATION: 0.00		ENTREPOSAGE :	CANTON : BEAUCHASTEL	
AZIMUT : 270° ' "			S.N.R.C. :	
PLONGEE : -81° ' "				
PROFONDEUR TOTALE: 81.00 M		ARPENTE : non		
		LEVE MULTISHOT: non		
		MESURE RQD : non		
		LEVE PULSE EM : non		

REMARQUES :

TEST DE DEVIATION:

EXPLORATION AZIMUT
JOURNAL DE SONDAGE

NUMERO DU TROU FV01-261

DE (M)	A (M)	DESCRIPTION	Echant	DE (M)	A (M)	Long. (M)	Au gr/t	Ag gr/t	Cu ppm	Zn ppm	Mo ppm	Pb ppm		
0.00	5.40	MT												
5.40	64.85	V2J mas, ±Si ANDÉSITE MASSIVE ±SILICIFIÉE Roche microgrenue (0.5-1mm) gris moyen verdâtre, localement rayable au clou, peu ou pas magnétique. Silice grisâtre envahissant toute l'unité sous forme de petites plages irrégulières donnant parfois l'aspect d'une brèche cisaillée ou sous forme de fin rubannement à 20-30°c.a. (bien développé de 15.55 à 29.0m). Je crois qu'il s'agit d'une silicification syn-volcanique. Le reste de l'intervalle est généralement massif mais on retrouve d'autres zones rubannées silicifiées. à 46m, une zone foliée et cisaillée d'environ 30 cm a pu être mesurée avec l'orientation de la carotte; 322/70°. Localement et de préférence dans les zones silicifiées, des petits amas de pyrrhotite-chalcopyrite sont disséminés en traces dans l'unité. 5.40-6.75 (65103): tr.-1%PyCpPo 6.75-8.30 (65104): SiMt(Hm), 1-2%PyCpPo 8.30-9.45 (65105): Idem 9.45-10.30 (65106): Idem 10.30-12.00 (65107): SiHmMt, tr.-0.5%Py.65% réc. 12.00-13.30 (65108): SiHmMt, vnsCl(Py), <1%Py 13.30-14.40 (65109): Idem 14.40-15.10 (65110): SiHmMt, tr.-1%Py(Cp) 15.10-15.55 (65111): Si+Hm, 40% inj.Qz à 60°, 3-4%Py(Cp) en gros amas. 15.55-16.35 (65112): LAMP cis/15cm suivi de AND Si(Hm), fra, fol à 25°. tr.-3%Py(Cp) 21.65-23.10 (65113): AND Si+, rub. à 30° 30.20-31.70 (65114): tr.PoCpPy diss. 36.75-38.35 (65115): 1%vns QzPy isolées 38.35-38.75 (65116): Si+, 40%inj.Qz à 60-90°, 2-4%Py diss. 45.95-47.35 (65117): tr.Py ass.vns QzCl 58.75-59.75 (65118): Si+, tr.CpPoPy 63.70-64.70 (65119): tr.Py	65103	5.40	6.75	1.35	0.06							
	6.75	16.35	65104	6.75	8.30	1.55	0.88							
		SiHmMt, 1-3%Py	65105		8.30	9.45	1.15	0.28						
		ALTÉRATION à SILICE HÉMATITE ET MAGNÉTITE, 1-3% PYRITE (CHALCOPYRITE)	65106		9.45	10.30	0.85	0.08						
			65107		10.30	12.00	1.70	0.06						

EXPLORATION AZIMUT
JOURNAL DE SONDAGE

NUMERO DU TROU FV01-261

DE (M)	A (M)	DESCRIPTION	Echant	DE (M)	A (M)	Long. (M)	Au gr/t	Ag gr/t	Cu ppm	Zn ppm	Mo ppm	Pb ppm	
		Zone d'altération gris mauve, magnétique, parcourue de veinules de chlorite -calcite-quartz +pyrite avec hallos blanchis. L'abondance de pyrite suit celle des injections de quartz. On note 3-4% de pyrite +chalcopyrite en amas grossiers dans une zone comprenant 40% d'injections de quartz à 60°C.a. entre 15.10 et 15.55.	65108 65109 65110 65111 MOY 65112	12.00 13.30 14.40 15.10 15.10 15.55	13.30 14.40 15.10 15.55 16.35 16.35	1.30 1.10 0.70 0.45 1.25 0.80	0.33 0.92 0.36 6.95 5.27 4.32		0	0	0	0	
		16.35 29.00 rub/bx, Si+	65113	21.65	23.10	1.45	-0.01						
		SILICIFICATION PÉNÉTRATIVE, TEXTURE RUBANNÉE, PARFOIS BRÉCHIQUE. Voir description ci-haut.	65114 65115	30.20 36.75	31.70 38.35	1.50 1.60	0.01 0.25						
		38.35 - 38.75 Si, 40% inj Qz (60-90°), 2-4% Py SILICIFIÉ, 40% D'INJECTIONS DE QUARTZ (60-90°C.A.), 2-4% DE PYRITE DISSÉMINÉE. Petite zone bien minéralisée qui devrait porter. L'absence de cisaillement suggère une zone de tension dans l'andésite.	65116	38.35	38.75	0.40	6.04						
		58.25 60.60 V1? V2J Si?, rub/bx VOLCANITE FELSIQUE? ANDÉSITE SILICIFIÉE?, RUBANNÉE // BRÉCHIQUE. Zone de flow banding développée soit dans l'andésite, soit dans une lame felsique. Il y a définitivement silicification, on observe des plages de silice qui semblent envahir la roche.	65117 65118	45.95 58.75	47.35 59.75	1.40 1.00	0.01 -0.01						
64.85	68.70	I3 dyk fg DYKE DE DIABASE Roche intrusive finement grenue (0.5-1mm), gris moyen brunâtre, massive, à texture cristalline. Postérieur aux altérations à silice. Toutefois, recoupé de failles fragiles et injecté de veines	65119 65120	63.70 68.10	64.70 68.70	1.00 0.60	0.01 0.07						

EXPLORATION AZIMUT
JOURNAL DE SONDAGE

NUMERO DU TROU FV01-261

DE (M)	A (M)	DESCRIPTION	Echant	DE (M)	A (M)	Long. (M)	Au gr/t	Ag gr/t	Cu ppm	Zn ppm	Mo ppm	Pb ppm
		de matériel blanc rosé (albite?) ±quartz contenant des grains de pyrite. Cont.sup.net à 30°. 68.10-68.70 (65120): 20%vns AbQzHm±Py à 45°										
68.70	80.40	V1B? bx, Cl, tr-3%PyPo BRÈCHE RHYOLITIQUE? CHLORITISÉE, TRACES ± 3% DE PYRITE ±PYRRHOTITE. Intervalle hétérogène gris vert moyen, tantôt uni et sans texture, tantôt à fragments rhyolitique gris blanc envahis par la matrice chloriteuse verte à noire. Possible chloritisation volcanogène avec 1-3% de pyrite ±pyrrhotite disséminées. Analyse totale à 78 m (65804) 68.70-69.30 (65121): ClSi,5-7%Py diss/rub 69.30-70.55 (65122): 2-3%Py 73.15-74.15 (65123): Cl+,tr.-1%Py 74.15-75.60 (65124): Cl+,tr.-1%Py 75.60-75.75: Dyke felsique hématitique 75.75-77.15 (65125): Cl+,tr.Py 78.15-78.95 (65126): Cl+,tr.-1%PyPo 78.95-79.65 (65127): dyke felsique hématitique, tr.Py. Cont.sup.à 85° 79.65-80.40 (65128): Cl+ tr.-3%PyPo	65121 65122 65123 65124 65125 65126	68.70 69.30 73.15 74.15 75.75 78.15	69.30 70.55 74.15 75.60 77.15 78.95	0.60 1.25 1.00 1.45 1.40 0.80	0.04 0.04 -0.01 -0.01 -0.01 0.01					
		78.95 - 79.65 I1 Hm DYKE FELSIQUE HÉMATITIQUE	65127	78.95	79.65	0.70	0.01					
			65128 65129 65130 65131 65132 65133	79.65 80.40 81.15 81.90 82.65 83.40	80.40 81.15 81.90 82.65 83.40 84.15	0.75 0.75 0.75 0.75 0.75 0.75	-0.01					
81.00		FIN DU TROU										
		Nombre total d'échantillons : 31 Longueur totale échantillonée : 31.60										

EXPLORATION AZIMUT
JOURNAL DE SONDAGE

Nom de projet :FLAVRIAN
Numéro de trou :FV01-262

LOCALISATION: GRILLE :	REDIGE LE : / /	PROPRIETE : FLAVRIAN
LIGNE : 101+13N	DECRIPT PAR : FRANCOIS ROY	NO DU PROJET: 156
STATION : 101+36E		
ELEVATION: 0.00		
		DIM. DU TROU : BQ
		TUBAGE : LAISSE
COORDONNEES: GRILLE :	DEBUTE LE : / /	CLAIM : 3716961
LATITUDE : 5347816.00 N	TERMINÉ LE : 10/03/1901	LOT : 24
LONGITUDE: 325781.00 E	ENTREPRENEUR: BENOIT	RANG : 9
ELEVATION: 0.00	ENTREPPOSAGE :	CANTON : BEAUCHASTEL
AZIMUT : 296° " "		S.N.R.C. :
PLONGEE : -60° " "		
PROFONDEUR TOTALE: 200.00 M	ARPENTE : non	
	LEVE MULTISHOT: non	
	MESURE RQD : non	
	LEVE PULSE EM : non	

REMARQUES :

TEST DE DEVIATION:

EXPLORATION AZIMUT
JOURNAL DE SONDAGE

NUMERO DU TROU FV01-262

DE (M)	A (M)	DESCRIPTION	Echant	DE (M)	A (M)	Long. (M)	Au gr/t	Ag gr/t	Cu ppm	Zn ppm	Mo ppm	Pb ppm	
0.00	2.30	MT											
2.30	10.00	V1B bx mag RHYOLITE BRÉCHIQUE Lave felsique bréchique, magnétique, gris moyen verdâtre, fracturée à bréchique. La roche n'est pas totalement fragmentée, les portions massives alternant avec les brèches qui sont cimentées par un matériel vert chloriteux et siliceux. Aucune minéralisation ou altération notable. 6.00-7.15 (65155): 1 amas de Py (1cm) isolé, ass. à Cl.	65155	6.00	7.15	1.15	-0.01						
10.00	28.50	V1D? V1B? mas mag DACITE? OU RHYOLITE? MASSIVE, MAGNÉTIQUE. Lave massive aphanitique siliceuse, gris foncé, très dure et faiblement fracturée. Le doute sur la composition provient de la teinte relativement foncé pour une rhyolite. Aucune trace de minéralisation. Analyse totale à 24.5 m (65805).											
		11.20 15.95 Il dyk por Fp, mag DYKE PORPHYRIQUE ॥ FELDSPATHS, MAGNÉTIQUE. Première occurrence de ce faciès intrusif. Roche massive, gris moyen, tachetée de 20% de petits amas feldspathiques (1-3mm) dans une pâte quartzofeldspathique très dure. La texture porphyrique est floue et on note les mêmes faciès d'altération que dans les roches environnantes, il s'agit donc d'une phase précoce. Contacts irréguliers avec chill margins.											
28.50	37.15	LAMP DYKE MAFIQUE CALCITIQUE (LAMPROPHYRE). Lamprophyre similaire à ceux décrits précédemment. Contacts à 35-40° cisaillés. 35.30-35.65 (65156): v.QzClCb à 15°c.a.	65156	35.30	35.65	0.35	-0.01						
37.15	50.60	V1/V2, cis ALTERNANCE DE LAVES MASSIVES FELSIQUES ॥ INTERMÉDIAIRES, ZONES DE CISAILLEMENTS.											

EXPLORATION AZIMUT
JOURNAL DE SONDAGE

NUMERO DU TROU FV01-262

DE (M)	A (M)	DESCRIPTION	Echant	DE (M)	A (M)	Long. (M)	Au gr/t	Ag gr/t	Cu ppm	Zn ppm	Mo ppm	Pb ppm
		37.15 39.45 V1D? V2J Si? mag amy DACITE? ANDÉSITE SILICIFIÉE? MAGNÉTIQUE, AMYGDULAIRE. Lave aphyrique gris foncé très dure, contenant localement 5% d'amas sub-sphériques d'épidote (amygdules?) 37.15-38.30 (65157): 10%vns QzCbCl, tr.Py	65157	37.15	38.30	1.15	0.01					
		39.45 40.65 I3 dyk Cc DYKE MAFIQUE CALCITISÉ. Dyke microgrenu gris verdâtre à texture cristalline très floue. Matrice calcitisée. Contacts à 75°.										
		40.65 43.85 V1 mas mag, fra, tr-1%Py LAVE FELSIQUE MAGNÉTIQUE, MASSIVE, FRACTURÉE, TR.-1% PYRITE. Lave aphanitique gris foncé, très siliceuse et très magnétique. Facturation (souvent à 70°) envahie de veinules de quartz chlorite carbonates, accompagnées de traces à 1% pyrite. Très beau contact de laves à 43.5 m à 75°c.a., il s'agit d'une andésite sous-jacente aux laves felsiques. 40.65-41.65 (65158): 0.5-1%Py 41.65-42.35 (65159): tr.Py, fra(Hm)vnsCl 42.60-43.85 (65161): ±Si,vnsCcQz,tr.Py	65158	40.65	41.65	1.00	0.26					
		42.35 - 42.60 cis ClCb CISAILLEMENT n CHLORITE CARBONATES Intervalle fortement cisaillé, alternance de brèches et de schistes à chlorite envahies par un carbonate rosé (dolomie hématitisée?). Fabrique constante à 80°c.a. Traces de pyrite. 42.35-42.60 (65160)	65160	42.35	42.60	0.25	0.07					
			65161	42.60	43.85	1.25	-0.01					

EXPLORATION AZIMUT
JOURNAL DE SONDAGE

NUMERO DU TROU PV01-262

DE (M)	A (M)	DESCRIPTION	Echant	DE (M)	A (M)	Long. (M)	Au gr/t	Ag gr/t	Cu ppm	Zn ppm	Mo ppm	Pb ppm
		43.85 44.90 I3 dyk, fcis, Cc DYKE MAFIQUE CISAILLÉ, CALCITISÉ. Dyke similaire à celui de l'intervalle 39.45-40.65.										
		43.85 - 44.40 cis+ 70-80° CISAILLEMENT FORT 70-80° Alternance de dyke très folié (presque un schiste à chlorite) et de brèches à carbonates-chlorite. Fabrique à 70-80° c.a. 43.85-44.40 (65162):	65162	43.85	44.40	0.55	0.01					
		44.90 47.85 v1 bx mag LAVE FELSIQUE BRÉCHIQUE. Lave gris foncé à brunâtre, hétérogène, très magnétique et siliceuse. Débute avec un matériel noirâtre riche en magnétite et amygdules de calcite à épidoite qui semble cimenter un sommet de coulée bréchique qui suit. 46.50-47.85 (65163): RHY bx, Si(ClHm)	65163	46.50	47.85	1.35	-0.01					
		47.85 50.60 V2J mas ANDÉSITE MASSIVE Lave microgrenue gris vert foncé, non magnétique, très homogène. Dureté moins élevée que les unités précédentes. Contact supérieur net mais irrégulier, inférieur cisaillé à 80°c.a.										
50.60	59.35	V1B mas, fra RHOLITE MASSIVE NON MAGNÉTIQUE, FRACTURÉE. Lave gris clair à moyen, très siliceuse, contenant des intercalations mineures de brèches. Aucune minéralisation.										
		56.90 - 57.45 bx cou, (Hm) BRÈCHE DE COULÉE LÉGÈREMENT HÉMATITISÉE. Brèche à fragments rose saumon,	65164	56.90	57.45	0.55	-0.01					

EXPLORATION AZIMUT
JOURNAL DE SONDAGE

NUMERO DU TROU FV01-262

DE (M)	A (M)	DESCRIPTION	Echant	DE (M)	A (M)	Long. (M)	Au gr/t	Ag gr/t	Cu ppm	Zn ppm	Mo ppm	Pb ppm
		sub-arrondis à anguleux, envahie par un ciment de chlorite contenant des amas de pyrite (1% sur l'intervalle). Présence d'un cisaillement de 5 cm à 60°c.a. 56.90-57.45 (65164)										
59.35	77.35	V2J mas ANDÉSITE MASSIVE Lave microgrenue gris moyen verdâtre, très homogène, non magnétique. Aucun chill margin et la granulométrie demeure constante, attestant la nature effusive de l'andésite. Fracturation élevée, envahie de veinules de calcite epidote +quartz, bien que la roche demeure très consolidée (RQD élevé). Aucune trace de minéralisation. 73.85 - 74.75 11 Hm DYKES FELSIQUES HÉMATITIQUES. Série de dykes quartzo-feldspathiques finement grenus, beige à rouge brique, massifs et non minéralisés. Contacts variant de 60-70°c.a.										
77.35	82.10	V1D? V1B? mas mag DACITE? RHYOLITE? MASSIVE, MAGNÉTIQUE. Lave aphanitique très siliceuse, gris foncé. Contient jusqu'à 5% de petites taches sub-arrondies blanches qui pourraient être des amygdales de quartz. Cisaillé sur le dernier 15 cm à 75°c.a. 81.15-82.10 (65165): inclu cis 15 cm avec rares vns Qz, CbCl,tr.Py.	65165	81.15	82.10	0.95	0.01					
82.10	144.00	V1B bx RHYOLITE BRÉCHIQUE, NON MAGNÉTIQUE. Lave bréchique très siliceuse, gris clair à moyen, localement grossièrement rubannée à laminaire et localement à plages verdâtres +épidotisées. 82.10 - 83.20 Hmt+, 1-3%Py FORTEMENT HÉMATITISÉ, 1-3% PYRITE	65955	82.10	82.70	0.60	-0.01					
			65956	82.70	83.20	0.50	-0.01					

EXPLORATION AZIMUT
JOURNAL DE SONDAGE

NUMERO DU TROU FV01-262

DE (M)	A (M)	DESCRIPTION	Echant	DE (M)	A (M)	Long. (M)	Au gr/t	Ag gr/t	Cu ppm	Zn ppm	Mo ppm	Pb ppm
		intervalle fortement hématitisé, rouge brique, contenant de 1-3% de pyrite concentrée le long de veinules de quartz carbonates chlorite à 70-80°c.a. Mesures de veinules donnent: 82.05m: cis ClCb 034/83° 82.75m: v.PyQz 290/25, 300/28 82.90m: v.Qz 290/36°; 83.1m: v.Qz 300/30° après orientation de la carotte. 82.10-82.70 (65955): HmSi, 2-3%Py 82.70-83.20 (65956): Hm+Si, 10%vns QzClCb, 1-3%Py dont une v. mas.de 0.5 cm. 83.20-84.00 (65166): Aucune minéralisation.	65166	83.20	84.00	0.80	-0.01					
		91.85 - 93.65 (Hm), 5%vns QzCcEpHmPy (0.5%Py) LÉGÈREMENT HÉMATITISÉ, 5% DE VEINULES DE QzCcEpHmPy. 0.5%Py. Les veinules minéralisées ont des orientations très alléatoires dans cet intervalle. 91.85-92.75 (65167): 92.75-93.65 (65168)	65167	91.85	92.75	0.90	-0.01					
		65168	92.75	93.65	0.90	-0.01						
		98.10 111.95 5-15%vns QzCcEpPy 5-15% DE VEINULES DE CALCITE-QUARTZ- ÉPIDOTE-PYRITE. Réseau de veinules (<2mm) minéralisées, souvent à 60-80°c.a. Globalement, le pourcentage de pyrite ne dépasse pas 0.5%, bien que certains placages soit très pyritisés. 98.10-99.55 (65169): tr.Py 99.55-100.45 (65170): 15%vns, <1%Py 100.45-101.90 (65171): tr.-0.5%Py 104.10-105.40 (65172): 5-10%vns, tr.Py 105.40-106.00 (65173): idem 106.00-107.20 (65174): tr.Py 107.20-108.55 (65175): 5-10%vns, tr.Py 108.55-110.05 (65176): idem 110.05-111.00 (65177): cis à 10-20° EpCl.	65169	98.10	99.55	1.45	-0.01					
		65170	99.55	100.45	0.90	0.01						
		65171	100.45	101.90	1.45	0.01						
		65172	104.10	105.40	1.30	-0.01						
		65173	105.40	106.00	0.60	-0.01						
		65174	106.00	107.20	1.20	-0.01						
		65175	107.20	108.55	1.35	0.01						
		65176	108.55	110.05	1.50	0.01						
		65177	110.05	111.00	0.95	0.01						
		65178	111.00	111.95	0.95	-0.01						

EXPLORATION AZIMUT
JOURNAL DE SONDAGE

NUMERO DU TROU FV01-262

DE (M)	A (M)	DESCRIPTION	Echant	DE (M)	A (M)	Long. (M)	Au gr/t	Ag gr/t	Cu ppm	Zn ppm	Mo ppm	Pb ppm
		tr.Py 111.00-111.95 (65178): 5-10%vns,fcis, tr.Py										
		111.95 117.50 cis/fra+, HmSiEp±Mt, tr-0.5%Py	65957	111.95	113.15	1.20	-0.01					
		CISAILLÉ // FRACTURÉ FORTEMENT, ALTÉRATION MOYENNE // HÉMATITE SILICE ÉPIDOTE ±MAGNÉTITE, TR.-0.5% PYRITE. Zone d'altération assez forte, centrée sur un cisialement à 10-30°c.a. Couleur rose saumon à grise parcourue de courants orangés. La pyrite est fine et associée à des veinules de chlorite quartz calcite. 111.95-113.15 (65957): fra+, SiEp(Hm), vns EpCc, tr.y	65958	113.15	114.40	1.25	-0.01					
		113.15-114.40 (65958): idem	65959	114.40	114.95	0.55	-0.01					
		114.40-114.95 (65959): fcis,bx à 10-30°, 10%vns QzMt, HmSi, 0.5%Py	65960	114.95	115.90	0.95	0.01					
		114.95-115.90 (65960): HmSi±Mt, 0.5%Py cis 10cm à 30°	65961	115.90	116.65	0.75	0.01					
		115.90-116.65 (65961): 75%tréc. cis+ à 5° c.a., SrHmCb, tr.Py	65962	116.65	117.50	0.85	0.04					
200.00		117.50-118.10 (65179): Ep, 5%vns QzCc, 0.5%Py	65179	117.50	118.10	0.60	-0.01					
		FIN DU TROU										
		Nombre total d'échantillons : 33 Longueur totale échantillonée : 30.75										

EXPLORATION AZIMUT
JOURNAL DE SONDAGE

Nom de projet : FLAVRIAN
Numéro de trou : FV01-263

LOCALISATION: GRILLE :	LIGNE : 100+ 8N	REDIGE LE : / /	DIM. DU TROU : BQ	PROPRIETE : FLAVRIAN
STATION : 99+26E	ELEVATION: 0.00	DECRIPT PAR : FRANCOIS ROY	TUBAGE : AUCUN	NO DU PROJET: 156
COORDONNEES: GRILLE :		DEBUTE LE : / /	CLAIM : 3716961	
LATITUDE : 5348053.00 N		TERMINE LE : 10/03/1901	LOT : 24	
LONGITUDE: 325759.00 E		ENTREPRENEUR: BENOIT	RANG : 9	
ELEVATION: 0.00		ENTREPOSAGE :	ARPENTE : non	CANTON : BEAUCHAST
AZIMUT : 290° ' "			LEVE MULTISHOT: non	S.N.R.C. :
PLONGEE : -80° ' "			MESURE RQD : non	
PROFONDEUR TOTALE: 59.00 M			LEVE PULSE EM : non	

REMARQUES :

TEST DE DEVIATION:

EXPLORATION AZIMUT
JOURNAL DE SONDAGE

NUMERO DU TROU FV01-263

DE (M)	A (M)	DESCRIPTION	Echant	DE (M)	A (M)	Long. (M)	Au gr/t	Ag gr/t	Cu ppm	Zn ppm	Mo ppm	Pb ppm	
0.00	9.90	V1B bx mag RHYOLITE MAGNÉTIQUE BRÉCHIQUE. Lave bréchique gris moyen, très siliceux (non rayable), composée de fragments mm à cm sub-anguleux à sub-arroondis cimentés par une matrice verte chloriteuse. Les fragments sont parfois rubannés témoignant de processus d'écoulement visqueux (flow-banding). La seule évidence d'altération apparentée à ce qui est observé à l'indice Buffam se retrouve dans le premier 35 cm qui est fortement hématitisé et imprégné de veinules de magnétite et de quartz-carbonates-pyrite. Il pourrait s'agir de la semelle de la zone hématitisée sub-horizontale observée sur le décapage juste à l'est. 0.00-0.35 (65141): Hm+, 5%vns Mt, v.1cm QzCb±Py à 45°C.a. 1.50-3.00 (65142): éch.de routine, aucune minéralisation ou altération notable 5.90-7.20 (65143): idem	65141 65142 65143	0.00 1.50 5.90	0.35 3.00 7.20	0.35 1.50 1.30	-0.01 -0.01 -0.01						
9.90	46.85	V1B mas mag, fra bx RHYOLITE MASSIVE MAGNÉTIQUE, FACTURÉE ET BRÉCHIFIÉE. Lave massive gris moyen à gris rougeâtre selon l'intensité de l'hématitisation, très siliceuse. Quelques passées contiennent jusqu'à 10% de petites taches arrondies noir verdâtre suggérant des amygdales de chlorite. Un réseau de fissuration très intense, évoluant parfois vers des faciès de brèches, est également rempli de chlorite. Il s'agit probablement de fracturation primaire. 9.90-11.30 (65144): tr.Py ass.vns Ep 11.30-12.75 (65145): idem 25.90-26.35 (65146): 60%inj. Qz(HmMt), tr.Py	65144 65145 65146	9.90 11.30 25.90	11.30 12.75 26.35	1.40 1.45 0.45	-0.01 -0.01 -0.01						
	27.00 46.85		65147 65148 65149 65150 65151 65152 65153	27.00 28.55 30.00 31.55 32.90 34.10 45.00	28.55 30.00 31.55 32.90 34.10 41.65 46.10	1.55 1.45 1.55 1.35 1.20 1.25 1.10	-0.01 -0.01 0.01 -0.01 -0.01 -0.01 0.01						
		±Hm ALTÉRATION FAIBLE ¶ MOYENNE ¶ HÉMATITE La roche prend une teinte gris mauvâtre à rougeâtre sur tout l'intervalle. Elle est parcourue d'une myriade de petites fractures blanchâtres et possède un RQD très élevé. Des concentrations mineures de pyrite sont localement											

EXPLORATION AZIMUT
JOURNAL DE SONDAGE

NUMERO DU TROU FV01-263

DE (M)	A (M)	DESCRIPTION	Echant	DE (M)	A (M)	Long. (M)	Au gr/t	Ag gr/t	Cu ppm	Zn ppm	Mo ppm	Pb ppm	
		présentes dans des plans de fissuration avec chlorite et calcite. 27.00-28.55 (65147): tr.Py 28.55-30.00 (65148): tr.Py, 75% réc. 30.00-31.55 (65149): tr.Py, 75% réc. 31.55-32.90 (65150): tr.Py 32.90-34.10 (65151): tr.Py 40.40-41.65 (65152): tr.Py 45.00-46.10 (65153): tr.Py											
46.85	52.90	LAMP DYKE MAFIQUE CALCITIQUE (LAMPROPHYRE) Dyke similaire aux lamprophyres décrits précédemment. Contacts nets à 85°c.a., appuyant l'interprétation en sections d'un dyke sub-horizontal.											
52.90	59.00	V1B mas, ±fra, (Hm) RHYOLITE MASSIVE, ±FRACTURÉE ET LÉGÈREMENT HÉMATITISÉE. Même unité que ce qui précède le dyke. La couleur gris mauve atteste encore d'une légère hématitisation. 53.90-54.70 (65154): ±fra, Hm, tr.Py ass. vns Mt. e.o.h.	65154	53.90	54.70	0.80	-0.01						
59.00		FIN DU TROU Nombre total d'échantillons : 14 Longueur totale échantillonée : 16.70											

EXPLORATION AZIMUT
JOURNAL DE SONDAGE

Nom de projet : FLAVRIAN
Numéro de trou : FV01-264

LOCALISATION: GRILLE :	REDIGE LE : / /	DIM. DU TROU : BQ	PROPRIETE : FLAVRIAN
LIGNE : 28+ OS	DECRIIT PAR : FRANCOIS ROY	TUBAGE : LAISSE	NO DU PROJET: 156
STATION : 4+84E			
ELEVATION: 0.00			
COORDONNEES: GRILLE :		DEBUTE LE : / /	CLAIM : 3718471
LATITUDE : 5347328.00 N		TERMINÉ LE : 10/03/1901	LOT : 30
LONGITUDE: 327232.00 E		ENTREPRENEUR: BENOIT	RANG : 9
ELEVATION: 0.00		ENTREPOSAGE :	CANTON : BEAUCHASTEL
AZIMUT : 44° ' "		ARPENTE : non	S.N.R.C. :
PLONGEE : -45° ' "		LEVE MULTISHOT: non	
PROFONDEUR TOTALE: 134.00 M		MESURE RQD : non	
		LEVE PULSE EM : non	

REMARQUES :

TEST DE DEVIATION:

EXPLORATION AZIMUT
JOURNAL DE SONDAGE

NUMERO DU TROU FV01-264

DE (M)	A (M)	DESCRIPTION	Echant	DE (M)	A (M)	Long. (M)	Au gr/t	Ag gr/t	Cu ppm	Zn ppm	Mo ppm	Pb ppm		
0.00	1.40	MT												
1.40	97.10	I1E mag TRONDJÉMITE MAGNÉTIQUE Unité caractéristique du platon de Flavrian dans ce secteur, similaire à ce qui a été décrit dans les sondages précédents. Faciès grossier à texture cristalline intergranulaire, composé de 40-45% d'amas de quartz globuleux (<1cm), de 30-35% de feldspaths de 2-5mm souvent rosés (Hm) ou vert clair (Ep) et de 10-15% d'aggrégats ferromagnésiens interstitiels généralement chloritisés. Taux de fracturation et de déformation nul à élevé dans et entre certaines zones de cisaillement bien définies décrites ci-bas.												
6.60	13.85	I1 dyk sphér. DYKE FELSIQUE à SPHÉRULITES. Faciès intrusif felsique inusité, non magnétique, très dur, composé à 85% d'amas (1-5mm) blanchâtres sub-sphériques coalescents (sphérolites) et de 15% d'aggrégats ferromagnésiens interstitiels chloritisés. Les sphérolites et la texture cristalline floue suggère une phase syn-volcanique. Les contacts sont flous à 30-35°C.a. 13.05-14.30 (65180): ±fra	65180	13.05	14.30	1.25	-0.01							
13.85	33.00	14.30-15.45 (65181): cis/15cm à 55°, 5°vns QzClCc, tr.Py vns 20.10-21.50 (65182): 1v.5cm QzCl à 50°, 1 amas de Py de 1cm. 22.45-23.15 (65183): v.Qz bx+ à 30°. Le quartz est de couleur gris verdâtre (interstitices ClEp) et est très tectonisé (rubannement et recristallisation en petits cristaux). 31.65-33.00 (65184): ±fra	65181 65182 65183 65184	14.30 20.10 22.45 31.65	15.45 21.50 23.15 33.00	1.15 1.40 0.70 1.35	-0.01 -0.01 -0.01 -0.01							

EXPLORATION AZIMUT
JOURNAL DE SONDAGE

NUMERO DU TROU FV01-264

DE (M)	A (M)	DESCRIPTION	Echant	DE (M)	A (M)	Long. (M)	Au gr/t	Ag gr/t	Cu ppm	Zn ppm	Mo ppm	Pb ppm		
		33.00 46.15 Si, cis, vns Qz, 2-4%Py STRUCTURE IMPORTANTE COMPOSÉES DE ZONES DE CISAILLEMENT CASSANTES INJECTÉES DE QUARTZ. 2-4% PYRITE DISSÉMINÉE OU EN VEINULES DANS LES VEINES ET LA TRONDJÉMITE SILICIFIÉE. Expression géologique du linéament NO-SE ciblé. Tous les angles de veines et de fabriques tectoniques sont presque perpendiculaires à la carotte, indiquant un pendage à 45° vers le SO, similaire aux zones minéralisées des trous 257 et 258. Les veines sont centimétriques à décimétriques (<40cm), blanc laiteux +translucide et généralement massives. On note également des essaims de veinules de quartz +chlorite alléatoires dans la trondjémite fracturée et silicifiée. La pyrite est soit disséminée dans les veines et la roche silicifiée, soit en minces rubans, particulièrement concentrée en bordure des veines de quartz ou associée à des fissures chloriteuses. Certaines portions bien minéralisées sont très oxydées et partiellement lessivées et la récupération laisse à désirer. 33.00-35.00 (65185): fra +cis, Cl, vns Cc (QzCl) 35.00-35.85 (65186): +cis, Cl, 10%vns Qz, 2-4%Py diss/vns 35.85-36.70 (65187): fra, Cl, tr.Py 36.70-37.90 (65188): Si, 10%vns Qz, 2-4%Py diss. 37.90-38.70 (65189): idem +lessivé 38.70-39.35 (65190): idem, lessivé 39.35-40.25 (65191): fra, vns ClPy?, lessivé 40.25-41.10 (65192): idem 41.10-41.70 (65193): Si++, 2-5%Py diss/vns 41.70-42.70 (65194): +cis, 10-20% vns Qz/Cl. Lessivé. 42.70-43.40 (65195): v.Qz fra/bx à 80°, 2-5%Py diss/vns +lessivé.	65185	33.00	35.00	2.00	-0.01							
			65186	35.00	35.85	0.85	-0.01							
			65187	35.85	36.70	0.85	-0.01							
			65188	36.70	37.90	1.20	0.08							
			65189	37.90	38.10	0.20	0.12							
			65190	38.70	39.35	0.65	0.06							
			65191	39.35	40.25	0.90	0.01							
			65192	40.25	41.10	0.85	0.02							
			65193	41.10	41.70	0.60	0.16							
			65194	41.70	42.70	1.00	0.04							
			65195	42.70	43.40	0.70	0.32							
			65196	43.40	44.50	1.10	0.47							
			65197	44.50	45.20	0.70	0.33							
			65198	45.20	46.15	0.95	0.64							

EXPLORATION AZIMUT
JOURNAL DE SONDAGE

NUMERO DU TROU FV01-264

DE (M)	A (M)	DESCRIPTION	Echant	DE (M)	A (M)	Long. (M)	Au gr/t	Ag gr/t	Cu ppm	Zn ppm	Mo ppm	Pb ppm
		43.40-44.50 (65196): 10% récupération. v.Qz fra/bx, Py+, lessivé										
		44.50-45.20 (65197): Si+, 10%vns Qz/Cl, 2-5%Py diss										
		45.20-46.15 (65198): idem, 2-6%Py diss. 1 gros ruban Py massive tordu de 1*4cm.										
		46.15 79.55 occ. cis, vns Qz, ±Py	65199	46.15	47.45	1.30	0.03					
		OCCASIONNELLEMENT CISAILLÉ ET INJECTÉ DE VEINES DE QUARTZ, ±PYRITISÉ.	65200	47.45	48.60	1.15	0.10					
		Le même type de structures parfois injectées de veines minéralisées se répètent dans cet intervalle. Les cisailllements sont généralement exprimés par des plans de faille à chlorite ±carbonates discrets et répétitifs, parfois injectés de veinules de quartz tectonisés. Les cisailllements sont toutefois plus isolées et ne constituent pas une zone minéralisée globale.	65201	48.60	49.45	0.85	0.03					
		46.15-47.45 (65199): Nil	65202	49.45	51.00	1.55	0.01					
		47.45-48.60 (65200): ±cis, 5%vns Qz, 1-2%Py 48.60-49.45 (65201): idem	65203	51.00	52.20	1.20	-0.01					
		49.45-51.00 (65202): 2-3%vns Qz (Py)	65204	55.95	56.65	0.70	0.04					
		51.00-52.20 (65203): 1 v.Qz 10 cm à 80°, tr.Py	65205	56.65	58.50	1.85	-0.01					
		55.95-56.65 (65204): Cl, 1v.QzCbCl(Py) à 45° (10cm)	65206	58.50	59.55	1.05	0.24					
		56.65-58.50 (65205): ±Cl	65207	59.55	61.20	1.65	0.01					
		58.50-59.55 (65206): 40%vns Qz à 80°, SrSi+, 2-4%Py diss/rub en bord des veines.	65208	61.20	62.70	1.50	-0.01					
		59.55-61.20 (65207): Nil	65209	62.70	63.90	1.20	-0.01					
		61.20-62.70 (65208): Nil	65210	63.90	64.60	0.70	-0.01					
		62.70-63.90 (65209): ±fra, (Cl)	65211	64.60	65.00	0.40	0.07					
		63.90-64.60 (65210): (cis), 1v.QzCbPy 0.5cm à 80°	65212	65.00	65.45	0.45	0.01					
		64.60-65.00 (65211): cis Si+, 40%vns Qz/Cl, 1-2%Py diss/vns à 80°	65213	65.45	66.70	1.25	-0.01					
		65.00-65.45 (65212): ±Cl/Si, tr.Py	65214	66.70	67.90	1.20	-0.01					
		65.45-66.70 (65213): ±fra, (Si/Cl)	65215	67.90	68.80	0.90	-0.01					
		66.70-67.90 (65214): cis+ QzCbCl à 80°/20cm/ TRON ±cis	65216	68.80	69.40	0.60	-0.01					
		67.90-68.80 (65215): Nil	65217	69.40	70.15	0.75	-0.01					
			65218	70.15	71.30	1.15	-0.01					
			65219	71.30	72.30	1.00	-0.01					
			65220	72.30	73.45	1.15	-0.01					
			65221	73.45	74.00	0.55	-0.01					
			65222	74.00	74.95	0.95	-0.01					
			65223	74.95	75.75	0.80	-0.01					
			65224	75.75	77.10	1.35	-0.01					
			65225	77.10	77.85	0.75	-0.01					
			65226	77.85	78.50	0.65	0.02					
			65227	78.50	79.55	1.05	-0.01					

EXPLORATION AZIMUT
JOURNAL DE SONDAGE

NUMERO DU TROU PV01-264

DE (M)	A (M)	DESCRIPTION	Echant	DE (M)	A (M)	Long. (M)	Au gr/t	Ag gr/t	Cu ppm	Zn ppm	Mo ppm	Pb ppm	
		68.80-69.40 (65216): cis+ SiCl(Cb) à 80°, 1-2%Py 69.40-70.15 (65217): fcis, Cl, tr.Py 70.15-71.30 (65218): idem 71.30-72.30 (65219): idem 72.30-73.45 (65220): frais 73.45-74.00 (65221): fcis, Cl, tr.Py 74.00-74.95 (65222): cis, 80%Qz, 10%vns Cl(Cb), 1-4%Py diss/rub 74.95-75.75 (65223): fcis, Cl, tr.Py 75.75-77.10 (65224): frais 77.10-77.85 (65225): frais 77.85-78.50 (65226): fcis, Cl/QCb, tr.Py 78.50-79.55 (65227): fcis QzCl, tr.-1%Py											
		79.55 82.35 I1 dyk sphér. DYKE FELSIQUE SPHÉRULITIQUE Dyke similaire à celui rencontré au début du trou. Contacts flous et irréguliers. 79.55-80.50 (65228): fra, Cl	65228	79.55	80.50	0.95	-0.01						
		82.35 97.10 88.80-89.50 (65229): v.QzClEp bx à 30°/45cm	65229	88.80	89.50	0.70	-0.01						
97.10	104.40	I3 dyk mas, (CcCb) DYKE MAFIQUE MASSIF Dyke à texture cristalline microgrenu, vert grisâtre, homogène, non magnétique. Légèrement altéré en calcite et carbonates de fer. Contacts cisaillés à 15 et 30° c.a.											
104.40	106.50	V1B? mas, Cl RHYOLITE MASSIVE CHLORITISÉE? Unité aphanitique très siliceuse, gris moyen verdâtre, non magnétique, localement très chloritisée (vert noir) et facilement rayable. Analyse totale à 106m (65807)											
106.50	115.60	I1 dyk sphér. Cl INTRUSIF FELSIQUE SPHÉRULITIQUE CHLORITISÉE. Même faciès sphérolitique que ceux décrits dans les intervalles précédents. Les sphérolites sont ici jusqu'à 0.5 cm et baignent parfois dans une	65230	111.10	111.60	0.50	-0.01						

EXPLORATION AZIMUT
JOURNAL DE SONDAGE

NUMERO DU TROU FV01-264

DE (M)	A (M)	DESCRIPTION	Echant	DE (M)	A (M)	Long. (M)	Au gr/t	Ag gr/t	Cu ppm	Zn ppm	Mo ppm	Pb ppm	
		matrice de chlorite noire. On note des intercallations de trondjémite finement grenue (<1mm) et même quelques sphérolites isolées à l'intérieur près de la bordure, indiquant que l'unité sphérolitique est antérieure à la trondjémite. Son association avec le matériel rhyolitique de l'intervalle précédent appuie cette hypothèse. 111.10-111.60 (65230): ±cis Cl+Cb à 70-80°. tr.Py											
115.60	134.00	I1E TRONDJÉMITE FRAICHE. Faciès typique du pluton, massif, homogène et frais. Voir description du premier intervalle. 132.15-132.45 (65231): ±cis QzCl(Cb) à 80°. Fin du trou.	65231	132.15	132.45	0.30	-0.01						
134.00		FIN DU TROU Nombre total d'échantillons : 52 Longueur totale échantillonée : 50.50											

EXPLORATION AZIMUT
JOURNAL DE SONDAGE

Nom de projet : FLAVRIAN
Numéro de trou : FV01-265

LOCALISATION: GRILLE :	LIGNE : 23+64S	REDIGE LE : / /	DIM. DU TROU : BQ	PROPRIETE : FLAVRIAN
STATION : 4+16E	ELEVATION: 0.00	DECRIPT PAR : FRANCOIS ROY	TUBAGE : LAISSE	NO DU PROJET: 156
COORDONNEES: GRILLE :	DEBUTE LE : / /			CLAIM : 3718462
LATITUDE : 5347588.00 N	TERMINÉ LE : 10/03/1901			LOT : 29
LONGITUDE: 326879.00 E	ENTREPRENEUR: BENOIT			RANG : 9
ELEVATION: 0.00	ENTREPPOSAGE :			CANTON : BEAUCHASTEL
AZIMUT : 45° :		ARPENTE : non		S.N.R.C. :
PLONGEE : -45° :		LEVE MULTISHOT: non		
PROFONDEUR TOTALE: 61.00 M		MESURE RQD : non		
		LEVE PULSE EM : non		

REMARQUES :

TEST DE DEVIATION:

EXPLORATION AZIMUT
JOURNAL DE SONDAGE

NUMERO DU TROU FV01-265

DE (M)	A (M)	DESCRIPTION	Echant	DE (M)	A (M)	Long. (M)	Au gr/t	Ag gr/t	Cu ppm	Zn ppm	Mo ppm	Pb ppm	
0.00	13.80	MT											
13.80	32.15	I1E, EpCl+Si, (vns QzPy) TRONDJÉMITE ÉPIDOTISÉE ET CHLORITISÉE, OCCASIONNELLEMENT SILICIFIÉE ET INJECTÉE DE VEINULES DE QUARTZ-PYRITE. Trondjémite grossière, telle que décrite précédemment. Les feldspaths sont généralement épidotisés tandis que les ferromagnésiens sont chloritisés. Intervalle plutôt massif mais occasionnellement fracturé et injecté de veinules de quartz-pyrite. 15.80-17.30 (65232) : Si+, 1-2%Py 17.30-18.30 (65233) : Nil 18.30-19.40 (65234) : Nil 19.40-20.30 (65235) : ±Si, vns QzPy (2%) 20.30-21.35 (65236) : Si++, 10%vnsQz, 2-10%Py grossière en vns avec ClCb, à 20°C.a. (selon deux familles de vns) 21.35-22.10 (65237) : Nil 22.10-22.55 (65238) : Si+, 2-4%Py 22.55-23.45 (65239) : tr.Py 23.45-24.00 (65240) : Si+, 2-4%Py 24.00-25.55 (65241) : tr.Py 31.70-32.15 (65242) : TRON bx+ QzCl	65232 65233 65234 65235 65236 65237 65238 65239 65240 65241 65242	15.80 17.30 18.30 19.40 20.30 21.35 22.10 22.55 23.45 24.00 31.70	17.30 18.30 19.40 20.30 21.35 22.10 22.55 23.45 24.00 25.55 32.15	1.50 1.00 1.10 0.90 1.05 0.75 0.45 0.90 0.55 1.55 0.45	0.01 -0.01 -0.01 0.02 0.34 -0.01 0.05 -0.01 0.02 -0.01 -0.01						
32.15	43.30	I3/I2 mas DYKES MAFIQUES A INTERMÉDIAIRES, MASSIFS.											
		32.15 - 35.75	65243		32.90	33.45	0.55	-0.01					
		I3 mag DYKE MAFIQUE MAGNÉTIQUE Roche cristalline vert moyen, finement à moyenement grenue (<1mm), composée de 60% de prismes chloritisés sertis dans une matrice feldspathique. Très peu fracturée, non altérée. Cont.sup.à 45°, follié.											
		35.75 - 40.60	65244 65245		36.95 40.20	38.40 41.10	1.45 0.90	-0.01 -0.01					
		I2 mag DYKE INTERMÉDIAIRE MAGNÉTIQUE Roche cristalline gris moyen, composée de 10-15% de longs (<0.6cm) prismes chloritisés dans une pâte feldspathique légèrement calcitisée.											

EXPLORATION AZIMUT
JOURNAL DE SONDAGE

NUMERO DU TROU FV01-265

DE (M)	A (M)	DESCRIPTION	Echant	DE (M)	A (M)	Long. (M)	Au gr/t	Ag gr/t	Cu ppm	Zn ppm	Mo ppm	Pb ppm	
		Très peu fracturée. 40.20-41.10 (65245): tr-5%Py (/25cm avec v.SiBpHm à 0°C.a.)											
		40.60 - 43.30 I3 mag+, vns QzCb, tr.Py	65246	41.10	42.60	1.50	-0.01						
		DYKE MAFIQUE TR+S MAGNÉTIQUE, INJECTÉ DE VEINES DE QUARTZ-CARBONATES TR.PYRITE.	65247	42.60	43.30	0.70	-0.01						
		Dyke similaire au premier. 41.10-42.60 (65246): tr.Py 42.60-43.30 (65247): 25%vns QzCbEp											
43.30	61.00	I1E, EpCl TRONDJÉMITE ÉPIDOTISÉE ET CHLORITISÉE. Faciès similaire au début du trou. 43.70-44.75 (65249): Nil 44.75-45.20 (65250): Si+, 1%Py 45.20-46.10 (65251): Nil 46.10-46.75 (65252): 5%vns QzCb à 90°C.a. 1%Py 46.75-48.00 (65253): ±fra, Si 48.00-49.20 (65254): ±cis, Si, 1-2%Py 49.20-50.50 (65255): cis v.QzCl(Py)/10cm 50.50-51.95 (65256): Nil 51.95-53.40 (65257): Nil sauf 1v.Py mas.1cm à 25°C.a.	65248	43.30	43.70	0.40	-0.01						
		53.40 57.70 bx, Cl, vns Cb / (I3)	65258	53.40	54.80	1.40	-0.01						
		ROCHE GÉNÉRALLEMENT BRÉCHIFIÉE ET CHLORITISÉE, INJECTÉE DE VEINULES DE CARBONATES DE FER ET DE DYKES MAFIQUES MINEURS. Zone de faille marquée par une brèche similaire à la faille rencontrée dans le trou 256. Toutefois, les zones folliées (<10cm) varient de 25-70°C.a., rendant toute corrélation structurale hasardeuse. La brèche est essentiellement composée de quartz (amas primaires de la trondjémite ± tectonisés) et de chlorite. 53.40-54.80 (65258): bx QzCl/MAF dyk cis, vns Cb	65259	54.80	56.25	1.45	-0.01						
		54.80-56.25 (65259): ±bx QzCl(Cb) 56.25-57.70 (65260): ±bx, Cl	65260	56.25	57.70	1.45	-0.01						

EXPLORATION AZIMUT
JOURNAL DE SONDAGE

NUMERO DU TROU FV01-265

DE (M)	A (M)	DESCRIPTION	Echant	DE (M)	A (M)	Long. (M)	Au gr/t	Ag gr/t	Cu ppm	Zn ppm	Mo ppm	Pb ppm	
61.00		<p>FIN DU TROU</p> <p>Nombre total d'échantillons : 29 Longueur totale échantillonée : 29.70</p>											

EXPLORATION AZIMUT
JOURNAL DE SONDAGE

Nom de projet : FLAVRIAN
Numéro de trou : FV01-266

LOCALISATION: GRILLE :	LIGNE : 9+70S	REDIGE LE : / /	DIM. DU TROU : BQ	PROPRIETE : FLAVRIAN
STATION : 4+12E	ELEVATION: 0.00	DECRIIT PAR : FRANCOIS ROY	TUBAGE : LAISSE	NO DU PROJET: 156
COORDONNEES: GRILLE :	LATITUDE : 5348582.00 N	DEBUTE LE : / /	TERMINE LE : 10/03/1901	CLAIM : 3716962
LONGITUDE: 325891.00 E	ELEVATION: 0.00	ENTREPRENEUR: BENOIT	ENTREPOSAGE :	LOT : 25
AZIMUT : 42° ' "	PLONGEE : -45° ' "	ARPENTE : non	LEVE MULTISHOT: non	RANG : 9
PROFONDEUR TOTALE: 162.00 M		MESURE RQD : non	LEVE PULSE EM : non	CANTON : BEAUCHASTEL
				S.N.R.C. :

REMARQUES :

TEST DE DEVIATION:

EXPLORATION AZIMUT
JOURNAL DE SONDAGE

NUMERO DU TROU FV01-266

DE (M)	A (M)	DESCRIPTION	Echant	DE (M)	A (M)	Long. (M)	Au gr/t	Ag gr/t	Cu ppm	Zn ppm	Mo ppm	Pb ppm	
0.00	2.30	MT											
2.30	26.75	V1 mag, fra+, \pm HmClEp VOLCANITE FELSIQUE MAGNÉTIQUE TRès FRACTURÉE ET VARIABLEMENT ALTÉRÉE EN HÉMATITE, CHLORITE ET ÉPIDOTE. Lave aphanitique dont la texture primaire est complètement oblitérée par l'altération. Il s'agit d'un patchwork de teintes roses ou gris à bland verdâtre selon la concentration d'hématite, de chlorite ou d'épidote. Les plages blanchâtres \pm hématitisées ou épidotisées sont constituées de laves, envahie par des ramifications et des patches coalescentes chloriteuses diffuses. Taux de fracturation élevé, RQD très faible, 5° de grinding est noté vers 15 m. La roche se débite généralement le long d'un clivage de faille espacé (>10cm) chloriteux et strié à 35-40°c.a. 5.10-6.25 (65261): fra, \pm Hm 9.00-10.50 (65262): fra, HmCl 16.60-17.95 (65263): \pm cis fra, Hm(Cl) 18.25-19.65 (65264): fra+, Hm(Cl), 5 \pm vns Qz, tr.Py 22.35-23.65 (65265): cis, Hm	65261 65262 65263 65264 65265	5.10 9.00 16.60 18.25 22.35	6.25 10.50 17.95 19.65 23.65	1.15 1.50 1.35 1.40 1.30	-0.01 -0.01 -0.01 -0.01 -0.01						
26.75	68.60	I1E \pm mag, \pm cis, fra, Cl \pm Hm, tr-Py TRONDJÉMITE \pm MAGNÉTIQUE, SOUVENT CISAILLÉE, FRACTURÉE, CHLORITISÉE ET VARIABLEMENT HÉMATITISÉE, TRACES DE PYRITE. Faciès grossier de la trondjémite de Flavrian dont la texture et la minéralogie primaire sont souvent détruites par la déformation et l'altération. Il s'agit définitivement d'une zone de faille fragile, correspondant sans doute au linéament NO-SE et marquant ici le contact avec les volcanites.											
	26.75	33.00 fra+, Hm, vns ClHm, tr-1 \pm Py ZONE DE FRACTURATION HÉMATITISÉE ENVAHIE DE VEINULES DE CHLORITE ET DE SPÉCULARITE. TRACES \pm 1% PYRITE. Teintes brun rougeâtres envahies de ramifications gris foncé de spéculite, créant un stockwerk. 27.20-28.60 (65266): cis, (Hm), vns Cl \pm Py	65266 65267 65268 65269	27.20 28.60 30.00 31.40	28.60 30.00 31.40 32.95	1.40 1.40 1.40 1.55	-0.01 -0.01 -0.01 -0.01						

EXPLORATION AZIMUT
JOURNAL DE SONDAGE

NUMERO DU TROU FV01-266

DE (M)	A (M)	DESCRIPTION	Echant	DE (M)	A (M)	Long. (M)	Au gr/t	Ag gr/t	Cu ppm	Zn ppm	Mo ppm	Pb ppm
		(tr.) 28.60-30.00 (65267): cis fra, (Hm), vns ClPy (tr.-1%) 30.00-31.40 (65268): fra, Hm, vns spec/Cl, tr.-1%Py 31.40-33.00 (65269): fra+, Hm, 10%vns spec, tr.-1%Py										
		33.00 42.85 I1E, cis, Cl TRONDJÉMITE CISAILLÉE CHLORITISÉE. La roche est ici affectée d'un rubannement tectonique gris verdâtre à 35-40° c.a., causé par l'allongement des feuilles à chlorite et séricite et des plages de quartz et tectonisé. Il ne peut s'agir de la structure recoupée par les trous 257, 258, 264 et 265 dont la fabrique était perpendiculaire à l'axe des carottes. Traces à 0.5% de fine pyrite disséminée. 33.00-34.50 (65270): tr.Py 34.50-36.00 (65271): tr.Py 36.00-37.80 (65272): tr.Py 37.80-39.30 (65273): tr.-1%Py 39.30-40.80 (65274): tr.Py 40.80-42.10 (65275): tr.Py	65270 65271 65272 65273 65274 65275	33.00 34.50 36.00 37.80 39.30 40.80	34.50 36.00 37.80 39.30 40.80 42.10	1.50 1.50 1.80 1.50 1.50 1.30	-0.01 -0.01 0.01 0.01 -0.01 -0.01					
		42.85 68.60 I1E, fra/cis, Cl, vns Hm, tr-Py TRONDJÉMITE FRACTURÉE, OCCASIONNELLEMENT CISAILLÉE, CHLORITISÉE, SOUVENT INJECTÉE DE VEINULES DE SPÉCULARITE. TRACES DE PYRITE. Ici la fracturation domine nettement sur le cisaillement. L'altération se traduit par un remplacement total des ferromagnésiens par la chlorite ou l'hématite spéculaires, cette dernière dominant vers la fin de l'intervalle. 45.10-46.35 (65276): fra, vns Cl, tr.-1%Py 46.35-47.40 (65277): fra+, vns Cl + Cb, tr.Py 49.10-50.50 (65278): cis/40cm (vns Spec.), tr.Py	65276 65277 65278 65279 65280 65281 65282 65283 65284	45.10 46.35 49.10 51.80 53.30 54.70 56.60 56.70 60.50 67.25	46.35 47.40 50.50 53.30 54.70 56.60 56.70 61.85 68.60	1.25 1.05 1.40 1.50 1.40 1.90 0.10 1.35 1.35	-0.01 -0.01 -0.01 -0.01 -0.01 -0.01 -0.01 -0.01 -0.01					

EXPLORATION AZIMUT
JOURNAL DE SONDAGE

NUMERO DU TROU FV01-266

DE (M)	A (M)	DESCRIPTION	Echant	DE (M)	A (M)	Long. (M)	Au gr/t	Ag gr/t	Cu ppm	Zn ppm	Mo ppm	Pb ppm	
		51.80-53.30 (65279): fra+/bx, Cl, vns Spec, tr.Py 53.30-54.70 (65280): fra+, Cl/(Hm) 54.70-55.60 (65281): 10%vns/patches Spéc., tr.Py 55.60-56.70 (65282): fra/cis, 5-10% vns Spéc, tr.Py 60.50-61.85 (65283): fcis, Cl 67.25-68.60 (65284): Nil											
68.60	76.50	I3 mag, cis+, Cc DYKES MAFIQUES MAGNÉTIQUES FORTEMENT CISAILLÉS, CALCITISÉS. Roche mafique gris vert moyen, généralement magnétique, affectés d'une intense foliation pénétrative définie par des plans chloriteux et des alignements de porphyroblastes de calcite sub-millimétriques, à 70-80°C.a. Aucune trace de minéralisation. RQD assez mauvais. 75.40-75.95 (65330): 15-20%inj.QzCb rose											
76.50	162.30	I1E mag, ±ClHm TRONDJÉMITE MAGNÉTIQUE, VARIABLEMENT CHLORITISÉE, LOCALEMENT HÉMATITISÉE.											
		76.50 81.10 (HmSi),tr-Py LÉGERE HÉMATITISATION ET SILICIFICATION, TRACES DE PYRITE. 79.75-81.10 (65331): (HmSi), tr.Py	65330	79.40	79.95	0.55	0.01						
			65331	79.95	81.10	1.15	-0.01						
		81.10 87.90 (HmCl), tr.PyCp LÉGÈRE HÉMATITISATION ET CHLORITISATION, TR.PY CP Minéralisation marginale en chalcopyrite +pyrite associée à des bandes vertes chloriteuses. 81.10-82.20 (65332): Cl, 1%PyCp 82.20-83.55 (65333): (Hm), tr.Py 83.55-84.40 (65334): idem, 5-8%CpPy/2cm dans ruban Cl+	65332	81.10	82.20	1.10	0.01						
			65333	82.20	83.55	1.35	-0.01						
			65334	83.55	84.40	0.85	0.02						
			65335	84.40	86.15	1.75	0.01						
		84.40-86.15 (65335): (Hm), 5Py/5cm Hm+											

EXPLORATION AZIMUT
JOURNAL DE SONDAGE

NUMERO DU TROU FV01-266

DE (M)	A (M)	DESCRIPTION	Echant	DE (M)	A (M)	Long. (M)	Au gr/t	Ag gr/t	Cu ppm	Zn ppm	Mo ppm	Pb ppm
		87.90 96.60 ± (HmCl)										
		ALTÉRATIONS FAIBLES ET VARIABLES ± CHLORITE±HÉMATITE L'hématisatation est confinée en bordure de fissures isolées ±plaquées de pyrite (traces).										
		96.60 102.10 (EpCl±Hm)	65336	99.00	99.20	0.20	0.03					
			65337	101.25	102.85	1.60	-0.01					
		ALTÉRATIONS FAIBLE ± ÉPIDOTE CHLORITE ±HÉMATITE. La chlorite altère les ferromagnésiens tandis que l'épidote altère la fraction plus grossière des feldspaths. Hématisatation confinée au dernier 40 cm juste avant le dyke qui suit. 99.00-99.70 (65336): 1 patche isolée de ClCpPy de 2cm 101.25-102.85 (65337): ±SiHm, tr.Py										
		102.10 105.20 I3 cis, Cc										
		DYKE MAFIQUE CISAILLÉ ET CALCITISÉ Similaire au dyke mafique cisaillé décrit plus haut mais la fabrique tectonique est à 45°c.a. Aucune trace de minéralisation.										
		105.20 118.15 Cl	65338	105.20	106.70	1.50	-0.01					
			65339	113.35	114.70	1.35	-0.01					
		ALTÉRATION MOYENNE ± CHLORITE Chloritisation avancée des ferromagnésiens et des feldspaths, donnant l'aspect tacheté vert foncé et blanc. 113.35-114.70 (65339): tr.Py 114.70-115.90 (65340): ±SrEp, 2vns isolées 0.5cm de Py mas ±Qz à 15 et 35°c.a.	65340	114.70	115.90	1.20	-0.01					
			65341	118.00	119.40	1.40	0.01					
		118.15 133.10 Sr:Cl/Ep, tr-Py	65342	121.15	122.55	1.40	-0.01					
		ALTÉRATION ± SÉRICITE ±CHLORITE/ÉPIDOTE, tr.PYRITE Teinte gris moyen verdâtre, texture ignée rendue floue par l'altération.	65343	123.60	124.50	0.90	0.01					

EXPLORATION AZIMUT
JOURNAL DE SONDAGE

NUMERO DU TROU FV01-266

DE (M)	A (M)	DESCRIPTION	Echant	DE (M)	A (M)	Long. (M)	Au gr/t	Ag gr/t	Cu ppm	Zn ppm	Mo ppm	Pb ppm	
		118.00-119.40 (65341): tr.Py 121.15-122.55 (65342): tr.Py 123.60-124.50 (65343): \pm cis \pm 45°, tr.Py rub.											
		124.50 - 125.60											
		I1 Hm											
		DYKES FELSIQUES HÉMATITIQUES											
		Dykes microgrenus, massifs, rouge											
		brique. Contacts à 60°c.a.											
		133.10 150.40											
		Cl±Ep											
		ALTÉRATION \pm CHLORITE \pm ÉPIDOTE.											
		Chloritisation des ferromagnésiens et des											
		feldspaths qui sont parfois épidotisés.											
		Aspect tacheté vert et blanc. Très massif											
		et aucune trace de minéralisation.											
		150.40 158.50											
		LAMP											
		DYKE MAFIQUE CALCITIQUE (LAMPROPHYRE).											
		Roche cristalline grenue (1mm), gris											
		foncé, contenant 10-15% de phénocristaux											
		de biotite dans une matrice											
		microcristalline calcitique. Très massif											
		et homogène, non déformé. Cont.sup.à 60°,											
		inf.à 30°.											
		158.50 162.40											
		(Cl±Ep)											
		ALTÉRATION FAIBLE \pm CHLORITE \pm ÉPIDOTE.											
		Même faciès que ce qui précède le dyke.											
		158.50-160.10 (65344): tr.Py											
162.00		FIN DU TROU											
		Nombre total d'échantillons : 39											
		Longueur totale échantillonée : 50.75											

EXPLORATION AZIMUT
JOURNAL DE SONDAGE

Nom de projet :FLAVRIAN
Numéro de trou :FV01-267

LOCALISATION: GRILLE :	REDIGE LE : / /	PROPRIETE : FLAVRIAN
LIGNE : 0+25S	DECRIIT PAR : FRANCOIS ROY	NO DU PROJET: 156
STATION : 101+14E		
ELEVATION: 0.00		
COORDONNEES: GRILLE :	DEBUTE LE : / /	CLAIM : 3718922
LATITUDE : 5348530.00 N	TERMINÉ LE : 10/03/1901	LOT : 31
LONGITUDE: 327423.00 E	ENTREPRENEUR: BENOIT	RANG : 10
ELEVATION: 0.00	ENTREPOSAGE :	CANTON : BEAUCHAST
AZIMUT : 59° ' "		S.N.R.C. :
PLONGEE : -50° ' "		
PROFONDEUR TOTALE: 66.00 M	ARPENTE : non	
	LEVE MULTISHOT: non	
	MESURE RQD : non	
	LEVE PULSE EM : non	

REMARQUES :

TEST DE DEVIATION:

EXPLORATION AZIMUT
JOURNAL DE SONDAGE

NUMERO DU TROU FV01-267

DE (M)	A (M)	DESCRIPTION	Echant	DE (M)	A (M)	Long. (M)	Au gr/t	Ag gr/t	Cu ppm	Zn ppm	Mo ppm	Pb ppm	
0.00	3.00	MT											
3.00	11.75	I2E mag, (Hm) MONZONITE A QUARTZ MAGNÉTIQUE, LÉGÈREMENT HÉMATITISÉE. Faciès intrusif rosé tacheté de noir, composé de 5-10% de cristaux de magnétite (0.5mm), de 5-10% de quartz, de 10-15% de plages feldspathiques floues (2-3mm) dans une pâte quartzofeldspathique très fine (<0.5mm). Hématitisation faible à moyenne donnant une teinte rosée uniforme. 5.55-6.20 (65285): (Hm), 5%vns QzPy 6.20-7.70 (65286): tr.Py 7.70-9.10 (65287): 70%tréc., ±Si, 5-10%vns QzPy dont une de 5cm à 50° c.a.	65285 65286 65287	5.55 6.20 7.70	6.20 7.70 9.10	0.65 1.50 1.40	0.09 0.01 0.15						
	9.10 11.75 (Cl±Sr)	ALTÉRATION FAIBLE ± CHLORITE±SÉRICITE. Teinte gris beige verdâtre, disparition de l'hématite. 9.10-10.10 (65288): Cl±Sr, tr.Py 10.10-11.75 (65289): idem	65288 65289	9.10 10.10	10.10 11.75	1.00 1.65	-0.01 0.01						
11.75	41.15	I1E, ±SrSiHm, vns Qz±CbPyCp TRONDJÉMITE VARIABLEMENT SÉRICITISÉE, HÉMATITISÉE ET SILICIFIÉE INJECTÉE DE VEINES DE QUARTZ ±CARBONATES, PYRITE ET CHALCOPYRITE. Faciès intrusif grossier, riche en quartz, similaire aux trondjémite décrites précédemment, quoique la matrice feldspathique soit plus fine que dans le secteur RG ou Buffam. Contient de 40-50% de plages de quartz dans une pâte quartzofeldspathique ainsi que 5-10% de ferro-magnésiens altérés.											
	11.75 18.00 Cl±Sr, 5%vns QzCb, tr-PyCp	ALTÉRATION A CHLORITE ±SÉRICITE, 5% DE MICRO-VEINULES DE QUARTZ-CARBONATES, TR.PyCp Faciès gris beige ±verdâtre, incluant quelques passées rosées légèrement hématitisées.	65290 65291 65292 65293 65294	11.75 12.55 13.65 14.65 16.05	12.55 13.65 14.65 16.05 18.00	0.80 1.10 1.00 1.40 1.95	-0.01 0.32 0.14 0.01 -0.01						
	11.75-12.55 (65290): tr.Py 12.55-13.65 (65291): ±Sr/Cl/Hm, 5-10%vns												

EXPLORATION AZIMUT
JOURNAL DE SONDAGE

NUMERO DU TROU FV01-267

DE (M)	A (M)	DESCRIPTION	Echant	DE (M)	A (M)	Long. (M)	Au gr/t	Ag gr/t	Cu ppm	Zn ppm	Mo ppm	Pb ppm	
		Qz(Cb) CpGn?Mo? à 55°c.a. 13.65-14.65 (65292): ±Si(Sr), 5-10%vns Qz, tr.Py 14.65-16.05 (65293): ±Si/Sr/Cl, tr-1±Py diss 16.05-18.00 (65294): ±Sr/Cl											
		18.00 21.65	65295	18.00	19.35	1.35	0.01						
Sr		ALTÉRATION à SÉRICITE Faciès gris beige caractérisé par 30% de séricite interstitielle et en minces rubans ou remplaçant les ferromagnésiens.	65296	19.35	20.50	1.15	0.04						
		18.00-19.35 (65295): Sr, tr.Py 19.35-20.50 (65296): SrSi, 10%vns Qz(Cb), tr.Py 20.50-21.65 (65297): Nil	65297	20.50	21.65	1.15	-0.01						
		21.65 27.00	65298	21.65	22.75	1.10	-0.01						
HmSr		ALTÉRATION A HÉMATITE SÉRICITE Teinte rosée assez uniforme. La séricite remplace ici une population de felspathes (plages floues de 1-3mm).	65299	22.75	24.40	1.65	-0.01						
		21.65-22.75 (65298): Nil 22.75-24.40 (65299): tr.Py 24.40-26.00 (65300): 2v.QzPy (1cm et 3cm) à 65°c.a. 26.00-27.00 (65968): 5-10% de vns Qz(Cb), 1%Py	65300	24.40	26.00	1.60	0.05						
			65968	26.00	27.00	1.00	0.24						
		27.00 41.15	65969	27.00	27.30	0.30	0.99						
50tvns Qz±PyCpMo?		MOY	27.00	37.15	10.15	0.79		0	0	0	0	0	
		ZONE MINÉRALISÉE CONTENANT ENVIRON 50% DE VEINES DE QUARTZ ±PYRITE, CHALCOPYRITE ET MOLYBDÉNITE?	65970	27.30	27.85	0.55	1.48						
		Zone ciblée par ce programme. Les veines de quartz sont injectées dans la trondjémite hématitisée séricitisée ±silicifiée selon des c.a. variant de 55 à 80°. Elles sont généralement blanches, ±saccharoidales avec des bandes gris bleutées (fine dissémination de MoS2?) et ont des largeurs variant de 1cm à plus de 1m. De la pyrite et occasionnellement de la chalcopyrite se présentent en amas,	65971	27.85	28.20	0.35	1.43						
			65972	28.20	28.80	0.60	0.14						
			65973	28.80	29.15	0.35	0.22						
			65974	29.15	29.80	0.65	0.45						
			65975	29.80	30.40	0.60	0.30						
			65976	30.40	30.65	0.25	2.69						
			65977	30.65	31.10	0.45	0.55						
			65978	31.10	32.10	1.00	1.13						
			65979	32.10	33.60	1.50	0.16						
			65980	33.60	34.80	1.20	0.05						
			65981	34.80	35.95	1.15	0.23						
			65982	35.95	36.55	0.60	4.38						

EXPLORATION AZIMUT
JOURNAL DE SONDAGE

NUMERO DU TROU FV01-267

DE (M)	A (M)	DESCRIPTION	Echant	DE (M)	A (M)	Long. (M)	Au gr/t	Ag gr/t	Cu ppm	Zn ppm	Mo ppm	Pb ppm
		stringers et disséminations souvent dans les veines mais également dans la roche encaissante. On note un intervalle de 20 cm kaki contenant 25% de pyrite qui pourrait être un dyke mafique, complètement inclu dans une veine de quartz. 27.00-27.30 (65969): Si, 5%vns Spéc., tr.Py 27.30-27.85 (65970): 80% Qz. 2 réseaux à 65-70°C.a., 1-2%Py stgrs 27.85-28.20 (65971): 15%vns Qz, 2-3%Py stgrs 28.20-28.80 (65972): tr.-1%Py 28.80-29.15 (65973): 5%vns Qz, 1-3%Py diss 29.15-29.80 (65974): 85% Qz gris et blanc, 2-3% Py amas/stgrs 29.80-30.40 (65975): ±Si, 10%vns Qz, 2-4%Py(Cp) amas+stgrs 30.40-30.65 (65976): v.Qz gris à 80°C.a., 2-3%CpMo? 30.65-31.10 (65977): 30%vns Qz gris à 55°C.a., 2-3%Py 31.10-32.10 (65978): 15-20%vns Qz gris, ±Si, 2-5% Py diss/stgrs 32.10-33.60 (65979): 1-2%Py 33.60-34.80 (65980): 1-2%Py 34.80-35.95 (65981): 5%vns Qz gris, tr-1%Py 35.95-36.55 (65982): 60% Qz contenant tr-3%PyCp. Inclu 20 cm de MAF dyk? Sr, 25%Py 36.55-37.15 (65983): v.Qz gris sacharoidal, 1% Py stgrs. 37.15-41.15 (65984): 25% réc., grenaille de Qz Py+ et encaissant HmSi±Py	65983 65984	36.55 37.15	37.15 41.15	0.60 4.00	0.96 0.13					
41.15	56.45	I2E mag, Hm MONZONITE A QUARTZ MAGNÉTIQUE, GÉNÉRALLEMENT HÉMATITISÉE. Intervalle similaire à celui du début du trou. Pratiquement dépourvu de veines ou de minéralisation. 41.15-42.00 (65301): Nil 45.00-46.40 (65302): tr.Py	65301 65302	41.15 45.00	42.00 46.40	0.85 1.40	-0.01 -0.01					

EXPLORATION AZIMUT
JOURNAL DE SONDAGE

NUMERO DU TROU FV01-267

DE (M)	A (M)	DESCRIPTION	Echant	DE (M)	A (M)	Long. (M)	Au gr/t	Ag gr/t	Cu ppm	Zn ppm	Mo ppm	Pb ppm	
		47.20 51.00 C1 INTERVALLE CHLORITIQUE Teinte gris verdâtre causée à une légère chloritisation des feldspaths et ferromagnésiens. Disparition de l'hématite.											
56.45	66.00	I2E mag TRONDJÉMITE MAGNÉTIQUE Faciès de trondjémite similaire à celui de l'intervalle 11.75 - 41.15 sans l'altération. Roche massive dépourvue de veines ou de minéralisation.											
		56.45 57.85 C1Si ?? ALTÉRATION ?? CHLORITE SILICE? Faciès très siliceux à texture indéfinie très floue, gris vitreux verdâtre à patches vert foncé chloriteuses. Semble être la trondjémite altérée. 56.45-57.85 (65303):	65303	56.45	57.85	1.40	-0.01						
66.00		FIN DU TROU Nombre total d'échantillons : 38 Longueur totale échantillonée : 42.05	65304 65305	57.85 59.25	59.25 60.65	1.40 1.40							

EXPLORATION AZIMUT
JOURNAL DE SONDAGE

Nom de projet : FLAVRIAN
Numéro de trou : FV01-268

LOCALISATION: GRILLE :	REDIGE LE : / /	PROPRIETE : FLAVRIAN
LIGNE : 0+41S	DECRIT PAR : FRANCOIS ROY	NO DU PROJET: 156
STATION : 99+53E		
ELEVATION: 0.00		
COORDONNEES: GRILLE :	DEBUTE LE : / /	CLAIM : 3718931
LATITUDE : 5348606.00 N	TERMINÉ LE : 10/03/1901	LOT : 30
LONGITUDE: 327238.00 E	ENTREPRENEUR: BENOIT	RANG : 10
ELEVATION: 8.00	ENTREPPOSAGE :	CANTON : BEAUCHAST
AZIMUT : 60° " "	ARPENTE : non	S.N.R.C. :
PLONGEE : -65° " "	LEVE MULTISHOT: non	
PROFONDEUR TOTALE: 140.50 M	MESURE RQD : non	
	LEVE PULSE EM : non	

REMARQUES :

TEST DE DEVIATION:

EXPLORATION AZIMUT
JOURNAL DE SONDAGE

NUMERO DU TROU FV01-268

DE (M)	A (M)	DESCRIPTION	Echant	DE (M)	A (M)	Long. (M)	Au gr/t	Ag gr/t	Cu ppm	Zn ppm	Mo ppm	Pb ppm	
0.00	3.00	MT											
3.00	49.30	I1E mas TRONDJÉMITE TYPIQUE, MASSIVE Roche à texture cristalline intergranulaire grossière, composée de 40-60% de plages de quartz de 1-4mm, 30-40% de feldspath interstitiel au quartz ou en cristaux prismatiques (5mm) et de 10-15% d'aggrégats ferromagnésiens vert foncé ou noir, incluant des poussières de magnétite.											
		3.00 21.30 (mag), (Hm) FAIBLE HÉMATITISATION, LÉGÈREMENT MAGNÉTIQUE. La roche prend une teinte rosée dû à une légère hématitisation des feldspaths. 14.10-15.70 (65304): 5-10% vns Qz à 70-80°C.a., Py(Cp) en amas diss en bord de vns (1%?).	65304	14.10	15.70	1.60	0.02						
		21.30 49.30 C1 ALTÉRATION MOYENNE à CHLORITE Teinte gris moyen verdâtre causée par une chloritisation des ferromagnésiens et des feldspaths (fraction grossière seulement). Disparition du magnétisme. Aucune trace de minéralisation ni de veines.											
49.30	65.25	I1 dyk sphér. / I1E SÉQUENCE DE DYKES FELSIQUES SPHÉRULITIQUES ET DE TRONDJÉMITE Intervalle dominé par l'unité sphérolitique telle que décrite dans le sondage FV01-264. Il s'agit d'une roche gris moyen très dure à texture sphérolitique (aggrégat de sphérolites quartzofeldspathiques de 3-5mm, coalescentes) souvent floue dont la matrice est vert foncé chloritique. Les contacts, lorsqu'observés, sont à 30-40°C.a. et la trondjémite est plus finement grenue à ces contacts, signifiant qu'elle soit tardive. Cette constatation est en accord avec celle du trou 264. Aucune trace de minéralisation ni de veines.											

EXPLORATION AZIMUT
JOURNAL DE SONDAGE

NUMERO DU TROU FV01-268

DE (M)	A (M)	DESCRIPTION	Echant	DE (M)	A (M)	Long. (M)	Au gr/t	Ag gr/t	Cu ppm	Zn ppm	Mo ppm	Pb ppm	
		59.00 63.05 I3 por Px, Cl DYKE MAFIQUE // PYROXENES, CHLORITISE. Roche à texture cristalline fine à moyenne (des bords vers le centre) composée de 80-90% de cristaux sub-idiomorphes de pyroxène chloritisés (1-3mm, trappus et sections carrées) dans une matrice microcristalline feldspathique. Couleur gris vert foncé, massif et non magnétique. contact inférieur à 55°c.a.											
65.25	82.70	I1E mag, (Hm) TRONDJÉMITE MAGNÉTIQUE, LÉGÈREMENT HÉMATITISÉE Faciès similaire au premier intervalle du trou. 79.00-80.45 (65305): Dyke sphér., 5%vns Qz à 90°, tr.Py 82.40-82.70 (65986): 15%vns Qz, 3-8%Py dont bord.de MAF dyk Py++	65305 65306 65307 65986	79.00 80.45 81.80 82.40	80.45 81.80 82.40 82.70	1.45 1.35 0.60 0.30	-0.01 -0.01 -0.01 0.30						
82.70	120.50	I1E / I3, alt, vns Qz, Py+ SÉQUENCE DE TRONDJÉMITE ET DE DYKES MAFIQUES ALTÉRÉS, INJECTÉS DE QUARTZ ET MINÉRALISÉS. Alternance de dykes mafiques et de trondjémite dans une proportion 20/80. Les dykes sont variablement folliés et altérés en chlorite (vert foncé) ou spécularite +magnétite +silice (gris noir), parfois séricite. La trondjémite est micro-fissurée et la texture cristalline est partiellement masquée par l'altération à séricite +hématite, prenant des teintes gris beige à gris rosé, parfois verdâtre, selon le contenu en séricite, hématite ou chlorite. Des zones de brèche et de cisaillement (<10cm) sont souvent localisés aux contacts des dykes selon un c.a. de 80-90°, alors que le reste de l'intervalle n'est que micro-fissuré. Les injections de quartz sont généralement d'un blanc laiteux, contenant des amas isolés de pyrite. Des mesures orientées des veines donnent: 90.64m (v.1cm): 110/25°; 95.55m: (cont. inf. v.50cm) 090/25°; 95.70m: (v.Qz 5mm) 100/32°; 95.92m: (v.QzPy 1mm) 110/42°; 95.95m: (idem) 118/40°; 95.98m: (cont.sup.v.Q 10cm) 092/34°; 96.08m: (cont.inf. même veine) 108/33°; 96.35m: (v.Qz 5cm) 106/34°; 97.35m: cont.sup.											

EXPLORATION AZIMUT
JOURNAL DE SONDAGE

NUMERO DU TROU FV01-268

DE (M)	A (M)	DESCRIPTION	Echant	DE (M)	A (M)	Long. (M)	Au gr/t	Ag gr/t	Cu ppm	Zn ppm	Mo ppm	Pb ppm	
		dyke maf. sub-parallèle aux veines. Le pendage apparent de ces veines sur la section orientée à 060° donne 26° vers le OSO. Les veines et possiblement la zone ciblée sont donc orientées 100-110/25-40° et on ne sait pas selon une orientation normale à ce plan qui serait plutôt N020°. Toutefois, tout ceci n'est basé que sur une seule empreinte de trou.											
		82.70 89.30	65987	82.70	84.10	1.40	0.02						
		I3, Hm/Cl/Sr/Si/Mt/Fu, vns Qz, 1-15%Py	65988	84.10	84.35	0.25	0.04						
		DYKES MAFIQUES INJECTÉS DE VEINES DE QUARTZ, ALTÉRATIONS à HÉMATITE/ CHLORITE/ SÉRICITE/ SILICE/ MAGNÉTITE/ FUCSHITE.	65989	84.35	85.05	0.70	0.53						
		1-15% PYRITE.	65990	85.05	85.80	0.75	0.01						
		82.70-84.10 (65987): MAF dyk, Mt++, 1-3%Py diss	65991	85.80	86.85	1.05	0.72						
			65992	86.85	87.30	0.45	0.36						
			65993	87.30	87.85	0.55	0.18						
			65994	87.85	89.30	1.45	1.75						
		84.10-84.35 (65988): cis à 80-90°, CbFu, 20%Py/5cm/ 10 cm v. QzCbFu tr.Py											
		84.35-85.05 (65989): v.Qz(Cb)/TRON inj.Qz, FuCb, 1%Py. 70%réc.											
		85.05-85.80 (65990): v.Qz(Cb) blanc mas.											
		85.80-86.85 (65991): bx Qz avec frag MAF Sr+Py++, 10-15%Py overall diss/vns											
		86.85-87.30 (65992): 10%vns Qz, Py++ en bordure											
		87.30-87.85 (65993): Cl, 1-2%Py											
		87.85-89.30 (65994): fol, Cl+Si, 10%vns Qz, Py++ en bord., 5-8%overall											
		89.30 95.20	65995	89.30	90.00	0.70	0.01						
		I1E, Sr, 5-10%vns Qz, 1-3%Py	65308	90.00	91.10	1.10	0.01						
		TRONDJÉMITE SÉRICITISÉE, 5-10% VEINULES DE QUARTZ, 1-3%PYRITE.	65309	91.10	92.70	1.60	-0.01						
		Micro-fissuration intense accompagnée d'injections de veinules de quartz à pyrite parallèles. Couleur gris clair et texture floue dû à la séricitisation.	65310	92.70	94.15	1.45	0.01						
		89.30-90.00 (65995): Si, inj.Qz, tr.Py. 60% réc.?	65311	94.15	95.20	1.05	0.03						
		90.00-91.10 (65308): fra, Sr, 10-15%vns Qz, 1-3%Py vns											
		91.10-92.70 (65309): (ClSr), tr.Py											
		92.70-94.15 (65310): Sr, 10%vns Qz(Cb), 1-2%Py											
		94.15-95.20 (65311): idem											

EXPLORATION AZIMUT
JOURNAL DE SONDAGE

NUMERO DU TROU FV01-268

DE (M)	A (M)	DESCRIPTION	Echant	DE (M)	A (M)	Long. (M)	Au gr/t	Ag gr/t	Cu ppm	Zn ppm	Mo ppm	Pb ppm	
		95.20 108.35 I1E, fra, ±alt / (I3), tr-Py TRONDJÉMITE MICROFISSURÉE ±ALTÉRÉE, DYKES MAFIQUES MINEURS. TRACES DE PYRITE. Diminution de l'altération et des injections de veines. La micro- fissuration est surtout envahie par la chlorite. On note quelques brèches avec hématitisation. 95.55-96.30 (65313): 40%vns Qz, 0.5%Py 96.30-97.30 (65314): tr.-0.5%Py 97.30-98.15 (65315): MAF dyk, tr.Py 98.15-99.00 (65316): tr.Py 99.00-100.35 (65317): tr.Py 100.35-101.40 (65318): MAF dyk ±bx, Sr, tr.-3%Py 101.40-102.25 (65319): ±bx, vns CbQz, 1%Py vns 102.25-103.20 (65320): fra+ bx, 1%Py, 80% réc. 103.20-103.90 (65321): bx, 50%MAF dyk Sr+Py+ /50% TRON HmSi 103.90-105.35 (65322): fra+, tr.Py 105.35-105.85 (65323): fra+, 1%Py 105.85-106.25 (65324): TRON SiHm /MAF dyk SrCb. Bx à 80°C.a... 1%Py 106.25-107.35 (65325): ±Hm, tr.Py 107.35-108.35 (65326): ±Hm											
		95.20 - 95.55 v.Qz VEINE DE QUARTZ BLANC STÉRILE 95.20-95.55 (65312)	65312	95.20	95.55	0.35	0.01						
			65313	95.55	96.30	0.75	0.02						
				65314	96.30	97.30	1.00	0.01					
				65315	97.30	98.15	0.85	-0.01					
				65316	98.15	99.00	0.85	-0.01					
				65317	99.00	100.35	1.35	0.01					
				65318	100.35	101.40	1.05	0.03					
				65319	101.40	102.25	0.85	0.05					
				65320	102.25	103.20	0.95	0.04					
				65321	103.20	103.90	0.70	0.10					
				65322	103.90	105.35	1.45	0.03					
				65323	105.35	105.85	0.50	0.02					
				65324	105.85	106.25	0.40	0.46					
				65325	106.25	107.35	1.10	0.02					
				65326	107.35	108.35	1.00	-0.01					

EXPLORATION AZIMUT
JOURNAL DE SONDAGE

NUMERO DU TROU FV01-268

DE (M)	A (M)	DESCRIPTION	Echant	DE (M)	A (M)	Long. (M)	Au gr/t	Ag gr/t	Cu ppm	Zn ppm	Mo ppm	Pb ppm
		111.80 114.10 I3, Cl DYKE MAFIQUE CHLORITEUX. Microgrenu, massif, gris vert moyen. Cont. inf. à 30°, follié.										
		114.10 120.50 I1E, Cl TRONDJÉMITE CHLORITISÉE, NON MAGNÉTIQUE. Teinte gris vert moyen causée par la chloritisation des feldspaths et des ferromagnésiens. Aucune minéralisation. Seam de sable à 116.7 m.										
120.50	140.50	I1E mag TRONDJÉMITE MAGNÉTIQUE. Faciès typique de trondjémite relativement fraîche. 121.25-122.70 (65327): (Si), 5%vns Qz 122.70-124.15 (65328): (Si), tr. Py 124.15-125.20 (65329): 1%HmSi, 5%vns Qz, tr. Py	65327 65328 65329	121.25 122.70 124.15	122.70 124.15 125.20	1.45 1.45 1.05	0.02 0.01 0.03					
140.50		FIN DU TROU Nombre total d'échantillons : 36 Longueur totale échantillonée : 34.90										

EXPLORATION AZIMUT
JOURNAL DE SONDAGE

Nom de projet : FLAVRIAN
Numéro de trou : FV01-269

LOCALISATION: GRILLE :	PROPRIETE : FLAVRIAN
LIGNE : 2+95S	NO DU PROJET: 156
STATION : 99+37E	
ELEVATION: 0.00	
REDIGE LE : / /	DIM. DU TROU : BQ
DECΡIT PAR : FRANCOIS ROY	TUBAGE : LAISSE
COORDONNEES: GRILLE :	CLAIM : 3718931
LATITUDE : 5348440.00 N	LOT : 30
LONGITUDE: 327100.00 E	RANG : 10
ELEVATION: 8.00	CANTON : BEAUCHASTEL
AZIMUT : 63° ' "	S.N.R.C. :
PLONGEE : -64° ' "	
PROFONDEUR TOTALE: 202.00 M	
DEBUTE LE : / /	ARPENTE : non
TERMINE LE : 10/03/1901	LEVE MULTISHOT: non
ENTREPRENEUR: BENOIT	MESURE RQD : non
ENTREPOSAGE :	LEVE PULSE EM : non

REMARQUES :

TEST DE DEVIATION:

EXPLORATION AZIMUT
JOURNAL DE SONDAGE

NUMERO DU TROU FV01-269

DE (M)	A (M)	DESCRIPTION	Echant	DE (M)	A (M)	Long. (M)	Au gr/t	Ag gr/t	Cu ppm	Zn ppm	Mo ppm	Pb ppm	
0.00	1.80	MT											
1.80	20.80	I1E mag, Cl/(Hm) TRONDJÉMITE CHLORITISÉE OU LÉGÈREMENT HÉMATITISÉE ET MAGNÉTIQUE Faciès typique grossier de la trondjémite, massif. Aucune trace de minéralisation.											
		1.80 10.50 mag, (Hm) LÉGÈREMENT HÉMATITISÉ ET MAGNÉTIQUE Teinte gris rosé.											
		10.50 15.50 Cl CHLORITISÉE Teinte gris moyen verdâtre, perte du magnétisme dû à la chloritisation.											
		15.50 20.80 mag, (Hm) LÉGÈREMENT HÉMATITISÉ ET MAGNÉTIQUE Teinte rosée.											
20.80	25.20	I1 dyk sphér., Cl INTRUSIF FELSIQUE SPHÉRULITIQUE CHLORITISÉ. Unité similaire à celles décrites dans le trou 268 de 49.30 - 65.25. Contact sup. net à 40°c.a.											
25.20	27.50	I1E, ±Cl TRONDJÉMITE VARIABLEMENT CHLORITISÉE											
27.50	31.60	I3 dyk, (fol), ClCc DYKE MAFIQUE LÉGÈREMENT FOLIÉ, CHLORITEUX ET CALCITISÉ. Dyke gris vert foncé non magnétique, finement grenu, contenant 5% de porphyroblastes de chlorite (remplacent amphiboles?) de 2-4mm dans la portion centrale. Foliation bien développée près des bordures à 60-70°c.a. Calcitisation pénétrative. Cont. inf. à 70°c.a.											
31.60	186.10	I1E mas, ±Cl/Hm TRONDJÉMITE MASSIVE, VARIABLEMENT CHLORITISÉE OU HÉMATITISÉE											

EXPLORATION AZIMUT
JOURNAL DE SONDAGE

NUMERO DU TROU FV01-269

DE (M)	A (M)	DESCRIPTION	Echant	DE (M)	A (M)	Long. (M)	Au gr/t	Ag gr/t	Cu ppm	Zn ppm	Mo ppm	Pb ppm	
		31.60 41.10 C1 CHLORITISATION Teinte gris vert moyen due à la chloritisation des feldspaths et des ferromagnésiens. Perte du magnétisme. Massif, aucune minéralisation.											
		41.10 42.80 I1 dyk sphér., C1 INTRUSIF FELSIQUE SPHÉRULITIQUE CHLORITISÉ											
		42.80 61.90 (Hm), +mag LÉGÈRE HÉMATITISATION, OCCASIONNELLEMENT MAGNÉTIQUE Faciès gris +rosé, massif.											
		61.90 66.00 I1 dyk sphér., +C1 INTRUSIF FELSIQUE SPHÉRULITIQUE +CHLORITISÉ Les sphérolites sont parfois si densément compactées qu'il n'y a presque pas de matrice chloriteuse.											
		66.00 92.70 (C1/Hm) ALTÉRATIONS FAIBLES ET VARIABLES EN CHLORITE OU HÉMATITE Teinte gris clair variant de rosâtre à verdâtre, incluant quelques patches d'épidote isolées. Occasionnellement magnétique. Massif et aucune trace de minéralisation.											
		92.70 93.70 I1 dyk sphér., (Hm) INTRUSIF FELSIQUE SPHÉRULITIQUE, LÉGÈREMENT HÉMATITISÉ.											
		93.70 116.10 mag, Hm INTENSIFICATION DE L'HÉMATITISATION, MAGNÉTIQUE.											

EXPLORATION AZIMUT
JOURNAL DE SONDAGE

NUMERO DU TROU FV01-269

DE (M)	A (M)	DESCRIPTION	Echant	DE (M)	A (M)	Long. (M)	Au gr/t	Ag gr/t	Cu ppm	Zn ppm	Mo ppm	Pb ppm	
		Teinte rosée persistante, devenant de plus en plus vive vers le bas, due à l'hématisitisation interstitielle de la matrice feldspathique. Magnétisme persistant également. Aucune trace de minéralisation, massif.											
		116.10 118.10 I1 dyk sphér., HmSi, tr-4% Py INTRUSIF FELSIQUE SPHÉRULITIQUE HÉMATITISÉ ET ±SILICIFIÉ, TR.-4%PYRITE 116.10-117.40 (65345) : Hm±Si, 2-4%Py/15cm	65345	116.10	117.40	1.30	-0.01						
		118.10 126.50 Hm, 5-15%vns Qz, Tr-Py ALTÉRATION ± HÉMATITE, 5-15% VEINULES DE QUARTZ, TR.PYRITE. Teinte rosée persistante due à une hématisitisation faible à moyenne, accompagnée de veinules de quartz à angles forts et de traces de pyrite. 120.55-121.65 (65346) : Hm, 5-10%vns Qz, 0.5%Py 121.65-122.65 (65347) : Hm±Si, 15%vns Qz, 0.5%Py 124.00-125.15 (65350) : Hm, 1v.spéc. 2cm, tr.Py 125.15-126.50 (65351) : ±Hm	65346	120.55	121.65	1.10	0.01						
		122.65 - 123.00 I3, Si(SrHm), 3-5%Py DYKE MAFIQUE SILICIFIÉ, FAIBLEMENT SÉRICITISÉ ET HÉMATITISÉ, 3-5%PYRITE EN GROS CUBES. Dyke microgrenu gris foncé à chamois, affecté d'un rubannement à 65-75°c.a., parallèle aux contacts. La pyrite en gros cubes disséminés est surtout concentrée près de la bordure inférieure. 122.65-123.00 (65348)	65348	122.65	123.00	0.35	0.08						
		123.00 - 124.00 I1E, SiHm / I3, 3-7%Py TRONDJÉMITE ALTÉRÉE EN SILICE-HÉMATITE/ DYKE MAFIQUE DE 5 cm,	65349	123.00	124.00	1.00	0.06						

EXPLORATION AZIMUT
JOURNAL DE SONDAGE

NUMERO DU TROU FV01-269

DE (M)	A (M)	DESCRIPTION	Echant	DE (M)	A (M)	Long. (M)	Au gr/t	Ag gr/t	Cu ppm	Zn ppm	Mo ppm	Pb ppm	
		3-7% PYRITE. La minéralisation est surtout concentrée aux contacts des deux dykes mafiques, accompagnée de veinules de spécularite massives à 50-70°C.a. 123.00-124.00 (65349)											
				65350	124.00	125.15	1.15	-0.01					
				65351	125.15	126.50	1.35	-0.01					
		126.50 130.70 (Hm) LÉGÈRE HÉMATITISATION											
		130.70 144.70 (Cl) FAIBLE CHLORITISATION. Altération sélective des ferromagnésiens en chlorite.											
		144.70 148.40 I3 mas, Cc DYKES MAFIQUES CALCITISÉS, MASSIFS. Roche massive gris vert moyen, microgrenue à grenue (1-2mm). Le faciès plus grossier montre un agrégat de cristaux mafiques trappus, possiblement des pseudomorphes de pyroxène chloritisés. Contacts à 75-80°C.a.											
		148.40 176.75 (Cl) LÉGÈRE CHLORITISATION Teinte gris moyen verdâtre tachetée due à la chloritisation sélective des ferromagnésiens. Massif, aucune trace de minéralisation.											
		175.85-176.75 (65353): stérile											
		167.50 - 169.00 I3, cis, Cc DYKE MAFIQUE CISAILLÉ \approx 60°, CALCITISÉ. Dyke apparenté aux précédents, plus finement grenu et cisaillé dans le dernier tiers.											

EXPLORATION AZIMUT
JOURNAL DE SONDAGE

NUMERO DU TROU FV01-269

DE (M)	A (M)	DESCRIPTION	Echant	DE (M)	A (M)	Long. (M)	Au gr/t	Ag gr/t	Cu ppm	Zn ppm	Mo ppm	Pb ppm
			65352	171.00	172.35	1.35	-0.02					
			65353	175.85	176.75	0.90	-0.01					
		176.75 179.80 I3, cis, MtCc, ±Py	65354	176.75	177.00	0.25	0.09					
		DYKE MAFIQUE CISAILLÉ, MAGNÉTITISÉ ET CALCITISÉ, ±PYRITISÉ.	65355	177.00	178.25	1.25	0.01					
		Dyke gris foncé (remplacement par magnétite fine) très folié à 45°, bordé par une brèche injectée de quartz et un cisaillage très fort à hématite-silice -séricite-fucshite-pyrite à 45°c.a. 176.75-177.00 (65354): bx QzCl, 3-5% Py(Cp) rub, fabrique à 80°c.a. 177.00-178.25 (65355): 10% vns QzCb roses, 1-2%Py diss 178.25-179.25 (65356): tr.-1%Py 179.25-179.80 (65357): cis++ SiHmSrFu à 40°, 5-8%Py en rubans massifs	65356	178.25	179.25	1.00	0.01					
		179.80 180.80 M15 SiHm, 10-15%Py	65357	179.25	179.80	0.55	0.16					
		ROCHE MÉTASOMATIQUE // SILICE HÉMATITE PYRITE (10-15%) Roche rose saumon très siliceuse, sans texture primaire, bréchifiée à très fracturé et envahie par la pyrite et de la chlorite noire. Style Buffam. La pyrite est surtout en gros amas (<3cm). 179.80-180.80 (65358)	65358	179.80	180.80	1.00	0.38					
		180.80 181.85 I3 ±mag, Cc, 1%Py	65359	180.80	181.85	1.05	0.1					
		DYKE MAFIQUE ±MAGNÉTIQUE, CALCITISÉ, 1%PYRITE 180.80-181.85 (65359)										
		181.85 184.90 I1 dyk sphér., bx, HmCl, tr-3%Py(Cp)	65360	181.85	183.00	1.15	0.03					
		DYKE FELSIQUE SPHÉRULITIQUE, BRÉCHIFIÉ, HÉMATITISÉ ET CHLORITISÉ, TR-1% PYRITE (CHALCOPYRITE) la felsite bréchifiée est de teinte blanc rosé et le ciment est gris foncé chloriteux. Un contact franc entre matériel bréchifié et sain donne 120/40°	65361	183.00	184.05	1.05	0.08					
			65362	184.05	184.90	0.85	0.05					

EXPLORATION AZIMUT
JOURNAL DE SONDAGE

NUMERO DU TROU FV01-269

DE (M)	A (M)	DESCRIPTION	Echant	DE (M)	A (M)	Long. (M)	Au gr/t	Ag gr/t	Cu ppm	Zn ppm	Mo ppm	Pb ppm	
		après orientation de la carotte. 181.85-183.00 (65360) : tr.Py(Cp) 183.00-184.05 (65361) : tr.Py 184.05-184.90 (65362) : tr Py											
		184.90 186.10 I1E (HmSr), tr-Py TRONDJÉMITE LÉGÈREMENT HÉMATITISÉE ET SÉRICITISÉE, TR.PYRITE 184.90-186.10 (65363) :	65363	184.90	186.15	1.25	0.04						
186.10	192.70	I3, CcCl, 5-10%vns QzCc DYKE MAFIQUE CALCITISÉ CHLORITISÉ, 5-10%VNS QzCc Dyke gris vert moyen, microgrenu, massif et homogène. Contient 5% de phénocristaux 1-3mm d'amphiboles chloritisées dans une matrice verte calcitisée. cont. sup. faillé à 10°, inf. à 40°c.a.											
192.70	202.00	I1E mas mag TRONDJÉMITE FRAÎCHE MASSIVE, MAGNÉTIQUE. Faciès le plus frais de la trondjémite observé dans ce trou. Les ferromagnésiens sont principalement composés de magnétite et les feldspaths ne sont que légèrement epidotisés. 192.70-194.10 (65364) : ±Si, vnsMt(Py)/30 cm suivant le dyke.	65364	192.70	194.10	1.40	0.02						
202.00		FIN DU TROU Nombre total d'échantillons : 20 Longueur totale échantillonée : 20.30											

LÉGENDE DES CODES GÉOLOGIQUES

LITHOLOGIES	TEXTURES, STRUCTURES	MINERAUX
VOL : Volcanites	mag : magnétique	Ab: albite
FEL(I1,V1) : Felsique	mas : massif	Ac: actinote
RHY (V1B): Rhyolite,	cou : coussiné	Al: Alumino-silicate
RHD (V1C): Rhyodacite	int.cou. : inter-coussins	Am: amphibole
QFp : Quartz-felds porphyry	amy : amygdulaire	Bo: biotite
APL: aplite	bx : bréchique, brèche	Cc: calcite
TRON(I1E): Trondjémite	tuf : tuffacé	Cb: carbonates (CaMgFe)
GRA : Granitoid	frag : fragmentaire	Cl: chlorite
DAC : Dacite	nod : nodules	Ep: epidote
MNZ Qz (I2E): Monzonite à quartz	lap : lapilli	Fp: feldspath
INT(I2,V2) : Intermédiaire	spi : spinifex	Fu: fuchsite
AND (V2J): Andésite	por : porphyrique	Gp: graphite
DIO (I2J): Diorite	dyk : dyke	Gr: grenat
MAF (I3, V3):Mafique	aph: aphyrique	Hm: hématite
BAS : Basalte	fg : finement grenu	Lx: leucoxène
Mg BAS : Basalte magnésien	mg : moyennement grenu	Mt: magnétite
Fe BAS : Basalte ferrifère	cg : grossièrement grenu	Mu: muscovite
GAB : Gabbro	lam : laminé	Qz : quartz
DIA : Diabase	lité : lité	Se: serpentine
U.M. : Ultramafique	rub: rubanné	Si : silice
KOM : Komatiite	zeb: zébrée	Sil: sillimanite
PER : Périclitite	FLT : faille	Sr : séricite
LAMP : Lamprophyre	cis : cisaillé	Spéc.: spécularite
SED : Sédiments	sch : schisteux	Ta : talc
ARK : Arkose	fol : folié	Su : sulfures
GRE : Greywacke	fra : fracturé	Py : pyrite
SST : Siltstone	alt : altéré	Po : pyrrhotite
MST : Mudstone	diss : disseminé	Cp : chalcopyrite
GP : Graphite	vns : veinules	Sp : sphalérite
CHE : Chert	v. : veine	As : arsénopyrite
POR: Porphyre	stgrs: stringers	V.G. : or visible
c.n.r : carotte non réc.	tr. : traces	
	occ. : occasionnellement	
	±: plus ou moins	
	/: alternance	

Exemple de codification :

Basalte coussiné magnétique, folié, calcitisé et hématitisé, 5% veines de quartz calcite, traces à 3% pyrite diss.

V3B cou mag, fol, CcHm, 5%vns QzCc, tr.-3%Py diss.

Alternance de dykes mafiques ±calcitisés et de trondjémite chloritisée ou epidotisée

I3 dyk, ±Cc / I1E Cl/Ep

CLIENT : EXPLORATION AZIMUT INC.
RAPPORT: C00-63656.0 (COMPLET)

DATE RECU: 10-OCT-00

PROJET: FLAVRIAN
DATE DE L'IMPRESSION: 7-NOV-00

PAGE 1 DE 1

NUMÉRO DE L'ÉCHANTILLON	ÉLÉMENT UNITÉS	Au30 PPB	Au rej G/T	Cu PPM	CuO/L PCT	Pb PPM	Zn PPM	Mo PPM	Ag PPM
FL-00-01	<5			1086		7	89	6	1.4
FL-00-2A	11			9		13	17	3	1.3
FL-00-2B	410			167		10	21	4	1.4
FL-00-2C	116			28		8	39	27	0.3
FL-00-2D	49			13		25	46	4	0.5
FL-00-4A	1304	0.89	1.60	7		12	15	132	1.0
FL-00-4B	1361	1.61	1.42	9		13	12	21	1.2
FL-00-4C	2912	2.88	3.43	8		7	23	107	1.1
FL-00-7A	6			8		18	217	7	<0.1
FL-00-7B	<5			54		198	17	4	1.9
FL-00-7C	29			1188		3327	44	175	44.7
FL-00-9A	11			35		24	51	107	0.6
FL-00-13A	<5			188		8	36	4	0.2
FL-00-16A	181			>20000	2.3	10	102	3	6.0
FL-00-16B	135			8945		10	147	4	4.0
FL-00-17A	33			37		4	81	8	0.2
FL-00-17B	<5			15		3	46	6	0.2
FL-00-18A	15346	13.54	18.62	33		10	15	5	2.5
FL-00-18B	138			9		5	22	2	0.2
FL-00-19	<5			29		4	11	3	<0.1
FL-00-20A	10329	9.84	10.18	592		28	65	5	9.2
BUFFAM 1	5446	4.14	5.07	13		4	7	8	1.0
EPPLET EST	306			13		9	10	10	0.4
EPPLET OUEST	25			39		3	21	7	<0.1

CLIENT : EXPLORATION AZIMUT INC.
RAPPORT: C00-63903.0 (COMPLET)

DATE REÇU: 31-OCT-00

PROJET: FLAVRIAN

DATE DE L'IMPRESSION: 7-NOV-00

PAGE 1 DE 1

NUMÉRO DE L'ÉCHANTILLON	ÉLÉMENT UNITÉS	Au30 PPB	Ag PPM	Pb PPM	Zn PPM	Mo PPM	Cu PPM
7012		<5	<0.2	2	13	2	6
7014		5	<0.2	4	46	1	31
7016		<5	<0.2	2	28	2	11
7018		18	<0.2	3	65	2	7
7019		<5	<0.2	3	49	<1	5
7021		<5	<0.2	<2	33	2	7
7022		<5	<0.2	<2	31	2	15
7027		19	<0.2	9	104	121	4
7028		<5	<0.2	3	31	2	4
7029		21	<0.2	7	59	3	16
7032		<5	<0.2	3	42	2	15
7033		<5	<0.2	<2	63	5	112
7038		5	<0.2	<2	15	1	4
7040		14	<0.2	6	12	1	344
7042		154	0.4	8	16	3	62
7044		27	<0.2	2	27	1	11
7047		<5	2.3	5	3	2	12
7048		<5	<0.2	3	8	1	6

CLIENT : EXPLORATION AZIMUT INC.
RAPPORT: C00-63905.0 (COMPLET)
DATE REÇU: 31-OCT-00**PROJET: FLAVRIAN****DATE DE L'IMPRESSION: 7-NOV-00****PAGE 1 DE 1**

NUMÉRO DE L'ÉCHANTILLON	ÉLÉMENT UNITÉS	Au30 PPB	AuPulp G/T	Ag PPM	Pb PPM	Zn PPM	Mo PPM	Cu PPM
FL-00-17C	91			<0.2	6	81	7	4
FL-00-18C	229			0.5	12	15	1	11
FL-00-20B	262			0.2	4	107	<1	417
FL-00-20C	153			<0.2	6	8	2	13
FL-00-20D	2441	2.53		1.3	9	18	2	29
FL-00-22A	20			<0.2	<2	12	<1	2
FL-00-23A	11			<0.2	4	14	13	141
FL-00-24C	<5			<0.2	<2	14	2	28
FL-00-25A	<5			<0.2	<2	5	1	11
FL-00-26A	10			<0.2	6	398	11	342
FL-00-26B	44			<0.2	3	16	1	7
FL-00-26C	5767	6.00		6.5	23	82	3	1278
FL-00-30A	25			<0.2	<2	10	2	63
FL-00-32A	7			<0.2	5	14	7	10
FL-00-32B	6			<0.2	<2	5	5	43
FL-00-32C	605			0.3	2	27	<1	6

**CLIENT : EXPLORATION AZIMUT INC.
RAPPORT: C00-63944.0 (COMPLET)****DATE RECU: 03-NOV-00****PROJET: FLAVRIAN****DATE DE L'IMPRESSION: 10-NOV-00****PAGE 1 DE 1**

NUMÉRO DE L'ÉCHANTILLON	ÉLÉMENT	Au30	Aupulp
	UNITÉS	PPB	G/T

7052		21	
7053		249	
7054		21	
7055		15	
7056		8	
7057		15	
7058		5	
7059		24	
7060		218	
7061		10936	10.87

7062		933	
7063		31	
7064		8	
7065		87	
7066		279	

7067		28	
7068		14	
7069		5	
7070		40	
7071		<5	

7072		<5	
7073		<5	
7074		147	
7075		<5	
7076		<5	

CLIENT : EXPLORATION AZIMUT INC.
RAPPORT: C00-63857.0 (COMPLET)

DATE RECU: 26-OCT-00

PROJET: FLAVRIAN

DATE DE L'IMPRESSION: 6-NOV-00

PAGE 1 DE 1

NUMÉRO DE L'ÉCHANTILLON	ÉLÉMENT UNITÉS	Au30 PPB	Au pulp G/T	Au rej G/T	Ag PPM	Pb PPM	Zn PPM	Mo PPM	Cu PPM
6851		7			1.1	2	56	<1	695
6854		5			<0.2	4	42	2	7
6856		<5			<0.2	3	11	1	10
6857		<5			<0.2	<2	86	2	36
6858		<5			<0.2	4	14	2	32
6901		27			<0.2	4	9	<1	9
6902		<5			<0.2	5	18	1	36
6904		259			<0.2	4	35	2	16
6905		11			<0.2	4	49	4	5
6906		39			<0.2	4	75	1	3
6951		<5			<0.2	3	31	<1	7
6952		<5			<0.2	6	60	2	4
6953		<5			<0.2	3	66	1	6
6954		<5			<0.2	3	63	4	3
6955		14			<0.2	3	43	1	11
6956		<5			<0.2	7	447	1	26
6961		<5			<0.2	<2	63	<1	50
6963		<5			<0.2	6	57	1	13
6964		<5			<0.2	5	41	<1	16
6965		<5			<0.2	4	85	3	45
6966		<5			<0.2	4	70	3	16
6967		<5			<0.2	5	76	1	65
6968		<5			<0.2	7	63	2	8
6969		2706	2.56	2.11	7.4	7	14	102	4
6970		61			<0.2	7	26	2	7
6971		6			<0.2	4	67	<1	258
7001		<5			<0.2	4	26	<1	17
7003		6			<0.2	4	27	2	87
7004		<5			<0.2	3	14	2	9
7005		<5			<0.2	7	29	3	8

CLIENT : EXPLORATION AZIMUT INC.
RAPPORT: C00-63656.1 (COMPLET)

DATE REÇU: 03-NOV-00

PROJET: FLAVRIAN

DATE DE L'IMPRESSION: 7-NOV-00

PAGE 1 DE 1

NUMÉRO DE L'ÉCHANTILLON	ÉLÉMENT	AuPulp
	UNITÉS	G/T

FL-00-4A		1.60
FL-00-4B		1.42
FL-00-4C		3.43
FL-00-18A		18.62
FL-00-20A		10.18

BUFFAM 1		5.07
----------	--	------

CLIENT : EXPLORATION AZIMUT INC.
 RAPPORT: C00-63904.0 (COMPLET)

DATE RECU: 31-OCT-00

PROJET: FLAVRIAN

DATE DE L'IMPRESSION: 13-NOV-00

PAGE 1 DE 2

NUMÉRO DE L'ÉCHANTILLON	ÉLÉMENT UNITÉS	Au30 PPB	Ag PPM	Pb PPM	Zn PPM	Mo PPM	Cu PPM	Cu PCT
6859		<5	<0.2	12	103	4	56	
6860		<5	<0.2	11	144	1	31	
6861		<5	<0.2	4	47	2	6	
6862		<5	<0.2	3	46	2	47	
6863		15	<0.2	3	18	1	163	
6864		<5	<0.2	4	64	2	39	
6865		<5	<0.2	7	101	2	45	
6866		<5	0.9	24	64	3	195	
6867		292	34.3	10	876	21	>10000	1.66
6868		24	1.4	5	3609	2	632	
6869		12	<0.2	<2	52	1	363	
6870		5	<0.2	2	52	2	489	
6871		<5	<0.2	3	72	1	7	
6872		<5	<0.2	4	25	15	548	
6873		<5	<0.2	4	14	1	44	
6874		<5	<0.2	2	49	9	30	
6875		133	<0.2	4	41	3	10	
6876		<5	<0.2	6	42	1	20	
6877		<5	<0.2	<2	34	1	20	
6907		<5	<0.2	2	17	2	6	
6908		<5	<0.2	4	112	11	90	
6910		<5	<0.2	3	38	2	8	
6972		27	0.3	3	2	2	5	
6973		<5	<0.2	3	46	3	22	
6974		<5	<0.2	7	23	2	20	
6975		<5	11.8	1024	10	2	14	
6976		<5	1.4	196	64	1	32	
6977		<5	<0.2	8	94	<1	3	
6978		8	<0.2	10	83	<1	43	
6979		18	<0.2	19	82	2	22	
6980		<5	<0.2	5	83	1	47	
6981		<5	<0.2	3	6	1	4	
6982		<5	<0.2	<2	78	2	24	
6983		<5	<0.2	5	79	3	17	
6984		<5	<0.2	4	41	1	97	
6985		<5	<0.2	<2	45	9	85	
6986		378	0.2	6	9	8	6	
6987		486	0.3	4	9	4	6	
6988		43	0.4	4	39	1	952	
6989		<5	<0.2	<2	34	1	15	

CLIENT : EXPLORATION AZIMUT INC.
RAPPORT: C00-63904.0 (COMPLET)

DATE REÇU: 31-OCT-00

PROJET: FLAVRIAN

DATE DE L'IMPRESSION: 13-NOV-00

PAGE 2 DE 2

NUMÉRO DE L'ÉCHANTILLON	ÉLÉMENT UNITÉS	AL30 PPB	Ag PPM	Pb PPM	Zn PPM	Mo PPM	Cu PPM	Cu PCT
6990		<5	<0.2	<2	25	2	8	
6991		<5	<0.2	<2	22	4	102	
6992		35	<0.2	<2	36	3	260	
6993		23	<0.2	3	40	3	38	
6996		<5	<0.2	49	138	12	12	
6997		<5	<0.2	3	66	1	11	

CLIENT : EXPLORATION AZIMUT INC.
RAPPORT: C00-63899.0 (COMPLET)

DATE REÇU: 31-OCT-00

PROJET: FLAVRIAN

DATE DE L'IMPRESSION: 14-NOV-00

PAGE 1 DE 1

NUMÉRO DE L'ÉCHANTILLON	ÉLÉMENT UNITÉS	Au30 PPB	Ag PPM	Pb PPM	Zn PPM	Mo PPM	Cu PPM	Cu PCT
6909		99	1.7	6	64	4	2717	
6911		<5	<0.2	4	36	1	11	
6912		<5	<0.2	<2	26	2	7	
6913		<5	<0.2	28	60	58	103	
6914		<5	0.2	4	78	16	75	
6994		<5	<0.2	<2	73	4	432	
6995		<5	<0.2	<2	58	2	70	
6998		<5	<0.2	6	17	4	42	
6999		<5	<0.2	10	34	1	30	
7000		<5	<0.2	3	17	2	381	
7013		<5	<0.2	<2	29	1	5	
7015		<5	<0.2	23	39	3	8	
7017		567	10.6	19	149	5	>10000	3.72
7020		<5	<0.2	<2	32	4	53	
7023		220	1.4	13	14	5	718	
7024		<5	<0.2	3	27	4	37	
7025		<5	<0.2	7	41	7	546	
7026		<5	<0.2	7	31	35	21	
7030		16	<0.2	<2	36	<1	6	
7031		36	<0.2	2	30	2	106	
7034		<5	<0.2	3	81	<1	190	
7035		52	<0.2	3	65	<1	7	
7036		250	<0.2	<2	62	<1	73	
7037		8	<0.2	3	69	<1	13	
7039		36	<0.2	<2	31	<1	21	
7041		854	<0.2	<2	74	2	3	
7043		<5	<0.2	<2	56	2	62	
7045		<5	<0.2	<2	91	1	8	
7046		<5	<0.2	<2	124	<1	7	
7049		11	<0.2	4	86	49	48	
7050		<5	<0.2	3	63	6	26	

CLIENT : EXPLORATION AZIMUT INC.
RAPPORT: C00-64010.0 (COMPLET)

DATE REÇU: 10-NOV-00

PROJET: FLAVRIAN

DATE DE L'IMPRESSION: 17-NOV-00

PAGE 1 DE 1

NUMÉRO DE L'ÉCHANTILLON	ÉLÉMENT UNITÉS	Au30 PPB	AuPulp G/T
7077		178	
7078		18	
7079		6	
7080		5	
7081		125	
7082		7	
7083		6	
7084		14	
7085		806	
7086		2302	2.25
7087		1133	1.33
7088		1787	2.09
7089		4191	4.04
7090		3111	3.39
7091		3629	3.57
7092		2579	2.61
7093		2845	3.15
7094		95	
7095		476	
7096		9	
7097		625	
7098		2475	2.60
7099		794	
7100		3228	3.69
7101		44	
7102		1442	1.42
7103		6149	6.17
7104		876	
7105		468	
7106		41	
7107		267	
7108		8	
7109		1054	0.81
7110		66	
7111		28	
7112		8	
7113		807	
7114		788	
7115		625	

**CLIENT : EXPLORATION AZIMUT INC.
RAPPORT: COO-64017.0 (COMPLET)****DATE RECU: 10-NOV-00****PROJET: FLAVRIAN****DATE DE L'IMPRESSION: 17-NOV-00****PAGE 1 DE 1****NUMÉRO DE
L'ÉCHANTILLON ÉLÉMENT AU30
UNITÉS PPB**

7116	144
7117	141
7118	34
7119	33
7120	<5

7121	90
7122	46
7123	25
7124	58
7125	554

7126	120
7127	595
7128	46
7129	99
7130	31

7131	17
7132	17

**CLIENT : EXPLORATION AZIMUT INC.
RAPPORT: C00-64054.0 (COMPLET)****DATE REÇU: 14-NOV-00****PROJET: FLAVRIAN****DATE DE L'IMPRESSION: 20-NOV-00****PAGE 1 DE 1**

NUMÉRO DE L'ÉCHANTILLON	ÉLÉMENT UNITÉS	Au30 PPB	AuPulp G/T
EP-01		386	
EP-02		121	
EP-03		111	
EP-04		308	
EP-05		1257	1.16
FL-00-04D		1073	1.16
FL-00-04E		3008	3.67
FL-00-04F		10	
FL-00-04G		354	
FL-00-04H		1986	2.23
FL-00-04I		1002	1.03
FL-00-04J		16	
FL-00-04K		798	
FL-00-04L		174	

**CLIENT : EXPLORATION AZIMUT INC.
RAPPORT: C00-64096.0 (COMPLET)****DATE REÇU: 20-NOV-00****PROJET: FLAVRIAN****DATE DE L'IMPRESSION: 29-NOV-00****PAGE 1 DE 1**

NUMÉRO DE L'ÉCHANTILLON	ÉLÉMENT UNITÉS	Au30 PPB	Ag PPM	Pb PPM	Zn PPM	Mo PPM	Cu PPM
FL-00-02E		92	0.2	7	37	2	4
FL-00-02F		534	0.7	14	12	3	29
FL-00-02G		75	0.4	10	52	3	6
FL-00-02H		57	0.3	10	6	2	6
FL-00-02I		55	0.2	6	12	2	7
FL-00-02J		57	<0.2	11	11	2	5
FL-00-02K		5	<0.2	<2	6	2	10
FL-00-04M		87	0.3	17	31	5	61
FL-00-04N		302	0.4	4	14	44	158
FL-00-36A		9	<0.2	<2	18	3	7

CLIENT : EXPLORATION AZIMUT INC.
RAPPORT: C00-64009.0 (COMPLET)

DATE REÇU: 10-NOV-00

PROJET: FLAVRIAN

DATE DE L'IMPRESSION: 22-NOV-00

PAGE 1 DE 1

NUMÉRO DE L'ÉCHANTILLON	ÉLÉMENT UNITÉS	Au30 PPB	AuPulp G/T	Ag PPM	Pb PPM	Zn PPM	Mo PPM	Cu PPM
FL-00-34A		<5		<0.2	6	61	2	9
FL-00-34B		38		<0.2	5	36	1	7
FL-00-35A		1953	1.86	1.1	7	59	<1	55
FL-00-35B		891		2.0	14	9	2	26
MS-00-01		<5		<0.2	<2	91	<1	130
MS-00-02		<5		<0.2	4	48	<1	71
MS-00-03		<5		<0.2	4	74	<1	272

CLIENT : EXPLORATION AZIMUT INC.
RAPPORT: C00-64098.0 (COMPLET)

DATE RECU: 20-NOV-00

PROJET: FLAVRIAN

DATE DE L'IMPRESSION: 27-NOV-00

PAGE 1 DE 1

NUMÉRO DE L'ÉCHANTILLON	ÉLÉMENT UNITÉS	Au30 PPB	AuPulp G/T
7138		39	
7139		542	
7140		756	
7141		1665	1.41
7142		1514	0.90
7143		829	
7144		234	
7145		160	
7146		49	
7147		699	
7148		252	
7149		15	
65501		1842	1.83
65502		416	
65503		869	
65504		898	
65505		626	
65506		847	
65507		2386	2.41
65508		1834	1.62
65509		223	
65510		186	
65511		719	
65512		165	
65513		173	
65514		6	
65515		6	
65516		8	
65519		241	
65520		186	

**CLIENT : EXPLORATION AZIMUT INC.
RAPPORT: C00-64116.0 (COMPLET)****DATE REÇU: 22-NOV-00****PROJET: FLAVRIAN****DATE DE L'IMPRESSION: 29-NOV-00****PAGE 1 DE 1**

NUMÉRO DE L'ÉCHANTILLON	ÉLÉMENT UNITÉS	Au30 PPB	AuPulp G/T	Ag PPM	Pb PPM	Zn PPM	Mo PPM	Cu PPM
EP-06		108		0.3	11	29	13	17
EP-07		2470	2.02	1.6	20	69	7	30
EP-08		2590	2.46	0.9	8	41	3	16
EP-09		673		0.2	6	38	3	11
EP-10		2120	2.03	1.4	17	46	6	20

**CLIENT : EXPLORATION AZIMUT INC.
RAPPORT: COO-64010.1 (COMPLET)****DATE REÇU: 23-NOV-00****PROJET: FLAVRIAN****DATE DE L'IMPRESSION: 27-NOV-00****PAGE 1 DE 1****NUMÉRO DE
L'ÉCHANTILLON****ÉLÉMENT AU rej****UNITÉS****G/T**

7085 0.81
7086 2.25
7087 1.06
7088 1.95
7089 4.28

7090 3.06
7091 4.09
7092 2.47
7093 3.18
7097 0.34

7098 2.67
7099 0.93
7100 3.49
7102 1.91
7103 7.19

7104 0.67

**CLIENT : EXPLORATION AZIMUT INC.
RAPPORT: C00-64144.0 (COMPLET)****DATE RECU: 24-NOV-00****PROJET: FLAVRIAN****DATE DE L'IMPRESSION: 1-DEC-00****PAGE 1 DE 1**

NUMÉRO DE L'ÉCHANTILLON	ÉLÉMENT	Au30 PPB	Au G/T
MC-1		4425	4.07
MC-2		11954	12.06
MC-3		1570	1.64
MC-4		873	
MC-5		1265	1.23
MC-6		1277	1.19



CHIMITEC
BONDAR CLEGG



Certificat D'Analyse Assay Lab Report

CLIENT : EXPLORATION AZIMUT INC.
RAPPORT: C01-60329.0 (COMPLET)

DATE REÇU: 13-FEB-01

PROJET: FLAVRIAN

DATE DE L'IMPRESSION: 14-FEV-01

PAGE 1 DE 1

NUMÉRO DE L'ÉCHANTILLON	ÉLÉMENT	UNITÉS
	Au30	PPB

65901	171
65902	40
65903	850

Chimitec - Bondar Clegg
1322-B rue Harricana, Val d'Or, Québec, J9P 3X6
Tél: (819) 825-0178, Fax: (819) 825-0256

[Signature]

CLIENT : EXPLORATION AZIMUT INC.
RAPPORT: C01-60354.0 (COMPLET)PROJET: FLAVRIAN
DATE RECU: 15-FEB-01

DATE DE L'IMPRESSION: 16-FEV-01

PAGE 1 DE 1

NUMÉRO DE L'ÉCHANTILLON	ÉLÉMENT	Au30	Au pulp
	UNITÉS	PPB	G/T
65904		39	
65905		55	
65906		365	
65907		729	
65908		318	
65909		10	
65910		75	
65911		206	
65912		9	
65913		23	
65914		12	
65915		47	
65916		1157	1.15
65917		134	
65918		85	
65919		38	
65920		659	
65921		128	
65922		891	
65923		1023	1.15
65924		102	
65925		12	

**CLIENT : EXPLORATION AZIMUT INC.
RAPPORT: C01-60330.0 (COMPLET)****DATE RECU: 13-FEB-01****PROJET: FLAVRIAN****DATE DE L'IMPRESSION: 16-FEV-01****PAGE 1 DE 1**

NUMÉRO DE L'ÉCHANTILLON	ÉLÉMENT	Au30	Aupulp
	UNITÉS	PPB	G/T
65001		25	
65002		94	
65003		46	
65004		757	
65005		4462	4.63
65006		27	
65007		8	
65008		<5	
65009		12	
65010		1202	1.16
65011		9	
65012		17	
65013		57	
65014		5269	5.39
65015		60	
65016		12	
65017		8	
65018		15	

CLIENT : EXPLORATION AZIMUT INC.
RAPPORT: C01-60395.0 (COMPLET)
DATE REÇU: 20-FEB-01**PROJET: FLAVRIAN****DATE DE L'IMPRESSION: 23-FEV-01****PAGE 1 DE 1**

NUMÉRO DE L'ÉCHANTILLON	ÉLÉMENT UNITÉS	AU ₃₀ PPB
65077		<5
65078		<5
65079		<5
65080		<5
65081		<5
65082		<5
65083		<5
65084		<5
65085		<5
65086		<5
65087		<5
65088		36
65089		<5
65090		<5
65091		<5
65092		<5
65093		<5
65094		<5
65095		<5
65096		<5
65097		<5
65098		<5
65099		<5
65100		<5
65101		13
65926		7
65927		<5
65928		6
65929		<5
65930		14
65931		6
65932		14
65933		<5
65934		8
65935		<5
65936		7
65937		5
65938		<5
65939		6
65940		621

CLIENT : EXPLORATION AZIMUT INC.
RAPPORT: C01-60373.0 (COMPLET)

DATE RECU: 19-FEB-01

PROJET: FLAVRIAN

DATE DE L'IMPRESSION: 26-FEV-01

PAGE 1 DE 1

NUMÉRO DE L'ÉCHANTILLON	ÉLÉMENT UNITÉS	Au30 PPB	Aupulp G/T	Aupulp G/T	NUMÉRO DE L'ÉCHANTILLON	ÉLÉMENT UNITÉS	Au30 PPB	Aupulp G/T	Aupulp G/T
65019	<5				65059		309		
65020	<5				65060		<5		
65021	<5				65061		<5		
65022	<5				65062		27		
65023	<5				65063		<5		
65024	15				65064		19		
65025	<5				65065		<5		
65026	19				65066		<5		
65027	<5				65067		<5		
65028	<5				65068		<5		
65029	780				65069		<5		
65030	8				65070		5		
65031	66				65071		<5		
65032	5				65072		152		
65033	8				65073		6		
65034	9				65074		6		
65035	<5				65075		15		
65036	39				65076		<5		
65037	166								
65038	12								
65039	5								
65040	16								
65041	7								
65042	50								
65043	29816	20.60	18.27						
65044	22								
65045	9								
65046	23								
65047	8								
65048	83								
65049	6								
65050	<5								
65051	74								
65052	44								
65053	<5								
65054	5								
65055	84								
65056	22								
65057	7								
65058	7								

CLIENT : EXPLORATION AZIMUT INC.
RAPPORT: C01-60426.0 (COMPLET)PROJET: FLAVRIAN
DATE REÇU: 26-FEB-01

DATE DE L'IMPRESSION: 26-FEV-01

PAGE 1 DE 1

NUMÉRO DE L'ÉCHANTILLON	ÉLÉMENT	AU30
	UNITÉS	PPB

65186		<5
65187		<5
65188		83
65189		120
65190		59

65191		5
65192		15
65193		160
65194		37
65195		321

65196		472
65197		325
65198		635
65206		236
65211		69

65216		<5
-------	--	----

CLIENT : EXPLORATION AZIMUT INC.
RAPPORT: C00-63655.0 (COMPLET)PROJET: FLAVRIAN
DATE RECU : 10-OCT-00 DATE DE L'IMPRESSION: 27-OCT-00 PAGE 1 DE 1

NUMÉRO DE L'ÉCHANTILLON	ÉLÉMENT UNITÉS	CU	Pb	Zn	Ag	SiO2	TiO2	Al2O3	Fe2O3	MnO	MgO	CaO	Na2O	K2O	P2O5	LOI	Total	Cr2O3	Zr
		PPB	PPM	PPM	PPM	PCT	PCT	PCT	PCT	PCT	PCT	PCT	PCT	PCT	PCT	PCT	PCT	PCT	PPM
FL-00-04D		6	60	5	59	0.1	69.57	0.53	13.10	5.02	.05	1.30	1.52	6.09	0.99	0.12	1.58	99.89	0.02 274
FL-00-05A		<5	3293	4	34	0.8	71.85	0.50	11.76	6.20	.09	0.93	1.12	4.95	0.17	0.12	1.34	99.07	0.03 250
FL-00-06A		<5	14	4	67	<.1	68.94	0.51	12.00	9.20	.08	1.98	0.16	0.94	2.42	0.12	2.71	99.07	0.01 259
FL-00-10A		<5	5	5	28	<.1	76.37	0.19	11.73	2.88	.04	0.82	0.39	4.77	1.30	0.04	0.94	99.49	0.02 285
FL-00-11A		<5	57	6	54	0.2	70.41	0.52	12.46	4.89	.06	2.61	0.44	4.89	0.51	0.12	1.84	98.78	0.01 264
FL-00-12A		<5	139	3	50	0.1	71.16	0.53	12.19	4.26	.08	0.62	2.72	5.83	0.39	0.12	1.33	99.25	0.03 273
FL-00-14A		<5	9	6	77	<.1	76.01	0.18	10.44	3.55	.11	0.90	0.42	4.45	1.30	0.04	1.02	98.44	0.02 274
FL-00-15A		<5	4	3	17	<.1	80.35	0.18	10.58	2.34	.02	0.75	0.25	5.10	0.53	0.05	0.57	100.75	0.03 273
FL-00-16C		<5	12	6	76	<.1	68.48	0.24	11.57	9.95	.08	3.26	0.03	0.02	2.17	0.04	3.28	99.13	0.01 329
PROSP A		<5	6	4	54	<.1	71.25	0.54	12.53	5.99	.07	1.00	0.81	5.24	0.93	0.12	1.10	99.61	0.02 279

CLIENT : EXPLORATION AZIMUT INC.
RAPPORT: COO-64097.0 (COMPLET)PROJET: FLAVRIAN
PAGE 1 DE 1

DATE RECU : 20-NOV-00 DATE DE L'IMPRESSION: 29-NOV-00

NUMÉRO DE L'ÉCHANTILLON	ÉLÉMENT	AU30	SiO2		TiO2		Al2O3		Fe2O3		MnO		MgO		CaO		Na2O		K2O		P2O5		LOI		Total		Cr2O3		Zr		Cu		Zn		Ag	
			PPB	PCT	PCT	PCT	PCT	PCT	PCT	PCT	PCT	PCT	PCT	PCT	PCT	PCT	PCT	PCT	PCT	PCT	PCT	PCT	PCT	PPM	PPM	PPM	PPM	PPM	PPM	PPM	PPM	PPM				
65528		<5	70.02	0.56	12.94	7.23	12	2.13	.43	3.31	1:20	0.12	2.19	100.26	<0.01	264	11	50	<1																	
65529		<5	66.39	0.60	13.32	8.91	13	3.36	.34	2.15	1:57	0.13	3.12	100.03	<0.01	285	8	57	<1																	
65530		<5	74.46	0.55	12.75	3.47	06	1.27	.38	6.56	0.21	0.12	1.08	100.96	0.02	284	13	30	<1																	
65531		<5	71.07	0.52	11.86	6.35	16	2.54	.42	4.88	0.22	0.11	1.96	100.11	0.01	249	24	113	<1																	
65532		<5	76.15	0.23	10.92	5.84	07	2.20	.07	0.15	2.26	0.04	2.47	100.43	<0.01	286	7	37	0.1																	
65533		<5	75.27	0.15	11.35	4.07	07	2.49	.03	1.11	2.56	0.03	2.42	99.59	0.01	310	8	46	<1																	
65534		<5	72.01	0.20	9.48	9.91	17	3.16	.08	1.60	0.60	0.02	2.36	99.64	0.02	201	8	79	<1																	
65535		<5	73.34	0.23	11.81	4.94	06	1.83	.39	6.23	0.71	0.04	0.60	100.24	0.03	277	17	51	<1																	
65536		<5	77.83	0.14	11.45	2.11	04	0.60	.34	6.98	0.17	0.02	0.49	100.23	0.03	367	36	48	<1																	
65537		6	71.21	0.42	9.30	11.34	21	2.24	.46	2.67	0.28	0.11	1.73	100.00	0.02	217	118	86	0.1																	
65538		<5	69.84	0.54	12.69	7.20	13	2.06	.27	5.64	0.09	0.12	1.71	100.32	0.01	261	9	50	<1																	
65539		5	71.09	0.54	13.06	6.18	09	1.47	.40	6.11	0.18	0.12	1.25	100.53	0.02	267	10	46	0.1																	
65540		<5	76.75	0.19	11.59	3.80	05	1.39	.22	4.69	0.69	0.04	1.31	100.78	0.02	320	19	29	<1																	
65541		<5	71.98	0.59	13.26	3.82	06	2.23	.26	6.61	0.14	0.12	1.34	100.43	0.01	294	12	39	<1																	
65542		<5	50.57	0.34	16.44	15.17	15	6.72	.30	5.43	0.94	0.05	3.63	99.78	<0.01	399	32	89	<1																	
65543		<5	75.50	0.25	11.77	2.08	03	1.06	.26	6.95	0.50	0.02	0.48	98.96	0.02	346	17	30	<1																	
65544		<5	72.13	0.23	11.92	5.97	07	2.94	.09	0.53	2.65	0.04	2.77	99.36	<0.01	251	25	49	<1																	
FL-00-33A		19	75.25	0.20	11.34	4.47	05	1.12	.67	4.89	0.36	0.03	1.04	99.47	0.03	273	998	61	0.5																	

325941/5347564

BC**CHIMITEC
BONDAR CLEGG****Certificat D'Analyse
Assay Lab Report****CLIENT : EXPLORATION AZIMUT INC.
RAPPORT: C01-60330.1 (COMPLET)****DATE REÇU: 12-MAR-01****PROJET: FLAVRIAN****DATE DE L'IMPRESSION: 29-MAR-01****PAGE 1 DE 1****NUMÉRO DE
L'ÉCHANTILLON****ÉLÉMENT****Au Rej****UNITÉS****G/T**

65005	5.70
65010	1.30
65014	6.08

CLIENT : EXPLORATION AZIMUT INC.
RAPPORT: C01-60354.1 (COMPLET)

DATE RECD: 12-MAR-01

PROJET: FLAVRIAN

DATE DE L'IMPRESSION: 29-MAR-01

PAGE 1 DE 1

NUMÉRO DE L'ÉCHANTILLON ÉLÉMENT Au Rej
UNITÉS G/T

65916 1.14
65923 1.31

BC**CHIMITEC
BONDAR CLEGG****Certificat D'Analyse
Assay Lab Report****CLIENT : EXPLORATION AZIMUT INC.
RAPPORT: C01-60373.1 (COMPLET)****DATE REÇU: 12-MAR-01****PROJET: FLAVRIAN****DATE DE L'IMPRESSION: 29-MAR-01****PAGE 1 DE 1**

NUMÉRO DE L'ÉCHANTILLON	ÉLÉMENT	Au	Rej	AuDup
	UNITÉS	G/T		G/T

65043		13.84		15.15
-------	--	-------	--	-------

CLIENT : EXPLORATION AZIMUT INC.
RAPPORT: C01-60424.0 (COMPLET)

DATE RECU: 26-FEB-01

PROJET: FLAVRIAN

DATE DE L'IMPRESSION: 28-MAR-01

PAGE 1 DE 1

NUMÉRO DE L'ÉCHANTILLON	ÉLÉMENT UNITÉS	Au30 PPB	AuPulp G/T	NUMÉRO DE L'ÉCHANTILLON	ÉLÉMENT UNITÉS	Au30 PPB	AuPulp G/T
65102		<5		65942		<5	
65103		58		65943		<5	
65104		876		65944		<5	
65105		281		65945		<5	
65106		76		65946		<5	
65107		63		65947		<5	
65108		332		65948		<5	
65109		923		65949		<5	
65110		357		65950		<5	
65111		7209	6.66	65951		<5	
65112		4588	4.61	65952		6	
65113		<5		65953		<5	
65114		8		65954		<5	
65115		247		65955		<5	
65116		5845	5.22	65956		7	
65117		6		65957		<5	
65118		<5		65958		<5	
65119		13		65959		<5	
65120		68		65960		11	
65121		39		65961		7	
65122		44		65962		40	
65123		<5		65963		10	
65124		<5		65964		<5	
65125		<5		65965		<5	
65126		8					
65127		7					
65128		<5					
65129		<5					
65130		<5					
65131		<5					
65132		<5					
65133		<5					
65134		<5					
65135		77					
65136		11					
65137		<5					
65138		<5					
65139		<5					
65140		7					
65941		<5					

**CLIENT : EXPLORATION AZIMUT INC.
RAPPORT: C01-60424.1 (COMPLET)****DATE REÇU: 12-MAR-01****PROJET: FLAVRIAN****DATE DE L'IMPRESSION: 29-MAR-01****PAGE 1 DE 1****NUMÉRO DE
L'ÉCHANTILLON****ÉLÉMENT****Au Rej****UNITÉS****G/T**

65111	7.24
65112	4.03
65116	6.85

BC**CHIMITEC
BONDAR CLEGG****Certificat D'Analyse
Assay Lab Report****CLIENT : EXPLORATION AZIMUT INC.
RAPPORT: C01-60426.0 (COMPLET)****DATE RECU: 26-FEB-01****PROJET: FLAVRIAN****DATE DE L'IMPRESSION: 28-MAR-01****PAGE 1 DE 1****NUMÉRO DE
L'ÉCHANTILLON****ÉLÉMENT****UNITÉS****Au30****PPB**

65186 <5
65187 <5
65188 83
65189 120
65190 59

65191 5
65192 15
65193 160
65194 37
65195 321

65196 472
65197 325
65198 635
65206 236
65211 69

65216 <5

CLIENT : EXPLORATION AZIMUT INC.
 RAPPORT: C01-60465.0 (COMPLET)

DATE RECU: 01-MAR-01

PROJET: FLAVRIAN

DATE DE L'IMPRESSION: 28-MAR-01

PAGE 1 DE 1

NUMÉRO DE L'ÉCHANTILLON	ÉLÉMENT UNITÉS	Au30 PPB	NUMÉRO DE L'ÉCHANTILLON	ÉLÉMENT UNITÉS	Au30 PPB
65141	<5		65181	<5	
65142	<5		65182	<5	
65143	<5		65183	<5	
65144	<5		65184	<5	
65145	<5		65185	<5	
65146	<5		65199	27	
65147	<5		65200	97	
65148	<5		65201	26	
65149	12		65202	11	
65150	<5		65203	<5	
65151	<5		65204	44	
65152	<5		65205	<5	
65153	5				
65154	<5				
65155	<5				
65156	<5				
65157	14				
65158	258				
65159	11				
65160	74				
65161	<5				
65162	6				
65163	<5				
65164	<5				
65165	6				
65166	<5				
65167	<5				
65168	<5				
65169	<5				
65170	6				
65171	6				
65172	<5				
65173	<5				
65174	<5				
65175	11				
65176	9				
65177	10				
65178	<5				
65179	<5				
65180	<5				

**CLIENT : EXPLORATION AZIMUT INC.
RAPPORT: C01-60466.0 (COMPLET)****DATE REÇU: 01-MAR-01****PROJET: FLAVRIAN****DATE DE L'IMPRESSION: 28-MAR-01****PAGE 1 DE 1****NUMÉRO DE
L'ÉCHANTILLON ÉLÉMENT Au30
UNITÉS PPB**

65207	9
65208	<5
65209	<5
65210	<5
65212	10
65213	<5
65214	<5
65215	<5
65217	<5
65218	<5
65219	<5
65220	<5
65221	<5
65222	<5
65223	<5
65224	<5
65225	<5
65226	20
65227	<5
65228	<5
65229	<5
65230	<5
65231	<5

**CLIENT : EXPLORATION AZIMUT INC.
RAPPORT: C01-60475.0 (COMPLET)****DATE RECU: 05-MAR-01****PROJET: FLAVRIAN****DATE DE L'IMPRESSION: 28-MAR-01****PAGE 1 DE 1**

NUMÉRO DE L'ÉCHANTILLON	ÉLÉMENT	Au30	AuPulp
		PPB	G/T
65968		240	
65969		994	
65970		1545	1.42
65971		1426	1.36
65972		144	
65973		221	
65974		453	
65975		304	
65976		2086	2.69
65977		548	
65978		1427	1.26
65979		162	
65980		48	
65981		226	
65982		5641	4.13
65983		963	
65984		132	

CLIENT : EXPLORATION AZIMUT INC.
RAPPORT: C01-60475.1 (COMPLET)

DATE RECU: 12-MAR-01

PROJET: FLAVRIAN

DATE DE L'IMPRESSION: 29-MAR-01

PAGE 1 DE 1

NUMÉRO DE L'ÉCHANTILLON ÉLÉMENT Au Rej
 UNITÉS G/T

65970	1.53
65971	1.50
65976	EI
65978	0.99
65982	4.63

CLIENT : EXPLORATION AZIMUT INC.
RAPPORT: C01-60476.0 (COMPLET)

DATE REÇU: 05-MAR-01

PROJET: FLAVRIAN

DATE DE L'IMPRESSION: 28-MAR-01

PAGE 1 DE 1

NUMÉRO DE L'ÉCHANTILLON	ÉLÉMENT UNITÉS	Au30 PPB	NUMÉRO DE L'ÉCHANTILLON	ÉLÉMENT UNITÉS	Au30 PPB
65232		9	65272		11
65233		<5	65273		6
65234		<5	65274		<5
65235		24	65275		<5
65236		342	65276		<5
65237		<5	65277		<5
65238		52	65278		<5
65239		<5	65279		<5
65240		18	65280		<5
65241		<5	65281		<5
65242		<5	65282		<5
65243		<5	65283		<5
65244		<5	65284		<5
65245		<5			
65246		<5			
65247		<5			
65248		<5			
65249		<5			
65250		<5			
65251		<5			
65252		<5			
65253		<5			
65254		<5			
65255		<5			
65256		<5			
65257		<5			
65258		<5			
65259		<5			
65260		<5			
65261		<5			
65262		<5			
65263		<5			
65264		<5			
65265		<5			
65266		<5			
65267		<5			
65268		<5			
65269		6			
65270		<5			
65271		<5			

BC**CHIMITEC
BONDAR CLEGG****Certificat D'Analyse
Assay Lab Report**CLIENT : EXPLORATION AZIMUT INC.
RAPPORT: C01-60503.0 (COMPLET)

DATE RECU: 07-MAR-01

PROJET: FLAVRIAN

DATE DE L'IMPRESSION: 29-MAR-01

PAGE 1 DE 1

NUMÉRO DE L'ÉCHANTILLON	ÉLÉMENT	Au30	AuPulp
	UNITÉS	PPB	G/T

65986		300	
65987		20	
65988		41	
65989		530	
65990		7	
65991		719	
65992		358	
65993		178	
65994		1378	1.42
65995		13	

BC

**CHIMITEC
BONDAR CLEGG**



Certificat D'Analyse Assay Lab Report

CLIENT : EXPLORATION AZIMUT INC.
RAPPORT: C01-60503.1 (COMPLET)

PROJET: FLAVRIAN

PAGE 1 DE 1

NUMÉRO DE ÉLÉMENT Au Rej
L'ÉCHANTILLON UNITÉS G/T

65994 1.75

Chimitec - Bondar Clegg
1322-B rue Harricana, Val d'Or, Québec, J9P 3X6
Tél: (819) 825-0178, Fax: (819) 825-0256

Richard J. Mandel

CLIENT : EXPLORATION AZIMUT INC.
RAPPORT: C01-60505.0 (COMPLET)

DATE RECU: 07-MAR-01

PROJET: FLAVRIAN

DATE DE L'IMPRESSION: 29-MAR-01

PAGE 1 DE 1

NUMÉRO DE L'ÉCHANTILLON	ÉLÉMENT	Au30 UNITÉS
65285		88
65286		5
65287		150
65288		<5
65289		5
65290		<5
65291		318
65292		138
65293		9
65294		<5
65295		5
65296		37
65297		<5
65298		<5
65299		<5
65300		53
65301		<5
65302		<5
65303		<5
65985		70

CLIENT : EXPLORATION AZIMUT INC.
RAPPORT: C01-60553.0 (COMPLET)

DATE RECU: 12-MAR-01

PROJET: FLAVRIAN

DATE DE L'IMPRESSION: 29-MAR-01

PAGE 1 DE 1

NUMÉRO DE L'ÉCHANTILLON	ÉLÉMENT UNITÉS	Au30 PPB	NUMÉRO DE L'ÉCHANTILLON	ÉLÉMENT UNITÉS	Au30 PPB
65304		20	65344		<5
65305		<5	65345		<5
65306		<5	65346		6
65307		6	65347		7
65308		9	65348		77
65309		<5	65349		64
65310		10	65350		<5
65311		33	65351		<5
65312		7	65352		<5
65313		20	65353		<5
65314		8	65354		90
65315		<5	65355		5
65316		<5	65356		14
65317		11	65357		164
65318		28	65358		384
65319		50	65359		95
65320		43	65360		32
65321		96	65361		78
65322		29	65362		45
65323		20	65363		35
65324		463	65364		24
65325		17			
65326		<5			
65327		16			
65328		5			
65329		30			
65330		8			
65331		<5			
65332		11			
65333		<5			
65334		19			
65335		7			
65336		29			
65337		<5			
65338		<5			
65339		<5			
65340		<5			
65341		6			
65342		<5			
65343		8			

CLIENT : EXPLORATION AZIMUT INC.
 RAPPORT: C01-60504.0 (COMPLET)

 PROJET: FLAVRIAN
 PAGE 1 DE 1

DATE REÇU : 07-MAR-01

DATE DE L'IMPRESSION: 29-MAR-01

NUMÉRO DE L'ÉCHANTILLON	ÉLÉMENT	SiO ₂	Al ₂ O ₃	Al ₂ O ₃	Fe ₂ O ₃	MnO	MgO	CaO	Na ₂ O	K ₂ O	P ₂ O ₅	LOI	Total	Cr ₂ O ₃	Zr
		PCT	PCT	PCT	PCT	PCT	PCT	PCT	PCT	PCT	PCT	PCT	PCT	PCT	PCT
65801		69.43	0.46	12.63	6.51	.09	2.22	0.79	4.33	0.78	0.13	1.68	99.08	0.02	200
65802		76.15	0.31	10.41	4.77	.04	0.57	0.64	4.82	0.57	0.07	0.60	99.02	0.04	297
65803		75.83	0.31	9.98	5.72	.07	1.44	0.23	2.86	0.99	0.06	1.32	98.87	0.02	297
65804		67.83	0.86	10.46	7.10	.10	4.84	1.63	2.69	1.93	0.30	1.52	99.29	0.02	178
65805		74.73	0.22	11.65	5.79	.03	0.54	0.63	4.91	0.64	0.05	0.85	100.10	0.04	300
65806		63.30	0.96	13.87	8.64	.17	1.62	2.70	6.92	0.52	0.33	0.37	99.44	0.02	156
65807		62.08	0.21	11.99	4.52	.12	10.19	2.09	1.96	0.03	0.03	5.95	99.22	0.02	388